Ein und Ausgabe: Farbmetrisches Drucker-Reflektiv-System FRS12_95a für relativen CIELAB-Buntton $h^* = lab^*h^* = h_{ab}/360 = 0.451$ $u^*_\epsilon = g00b$

Daten für jede Farbe:
*lab*ch** und *lab*icu**
Benttontexte:
$u^*_\epsilon = g00b$ $u^*_d = f23c$
Kontrastreduzierungsfaktor:
$c_R = 0.9$
Dreiecks-Helligkeit t^*

Daten für Maximalfarbe (Ma):
$LAB^*LAB^*_{Ma}$: 55 −44 14
$LAB^*LCH^*_{Ma}$: 55 46 162
$lab^*rgb^*_{Ma}$: 0.0 1.0 0.0
$lab^*olv^*_{Ma}$: 0.0 1.0 0.23
Dreiecks-Helligkeit t^*

%Umfang $u^*_{vol} = 88$
%Regularität $g^*_{H,rel} = 31$ $g^*_{C,rel} = 39$

FRS12_95a; adaptierte CIELAB-Daten

	L^*	a^*	b^*	C^*_{ab}	h^*_{ab}	u^*_d
O_{Ma}	43.8	53.91	39.75	66.98	36	
Y_{Ma}	87.58	−4.65	98.29	98.4	93	
L_{Ma}	51.95	−56.34	43.53	71.2	142	
C_{Ma}	59.62	−26.2	−28.62	38.8	228	
V_{Ma}	25.01	45.2	−52.8	69.51	311	
M_{Ma}	45.88	70.67	−29.93	76.75	337	
N_{Ma}	20.0	0.0	0.0	0.0	0	
W_{Ma}	95.0	0.0	0.0	0.0	0	
R_{Ma}	39.92	58.74	27.99	65.07	25	
I_{Ma}	81.26	−2.89	71.56	71.62	92	
G_{Ma}	52.23	−42.42	13.6	44.55	162	
B_{Ma}	30.57	1.41	−46.47	46.49	272	

	L^*	a^*	b^*	C^*_{ab}	h^*_{ab}	u^*_d
r00	44.18	56.95	27.14	63.08	25	m81c
r25	47.38	49.13	44.53	66.31	42	o10y
r50	57.76	35.24	58.41	68.22	59	o40y
r75	69.81	19.13	74.52	76.94	76	o69y
y00	87.06	−3.94	97.58	97.66	92	o98y
y25	72.25	−26.89	74.73	79.42	110	y34l
y50	60.82	−43.48	57.15	71.81	127	y69l
y75	52.51	−54.15	38.27	66.31	145	l03c
g00b	55.08	−44.06	14.13	46.27	162	l23c
g25b	57.22	−35.64	−6.03	36.15	190	l55c
g50b	58.9	−29.03	−21.86	36.34	217	l87c
g75b	54.42	−15.48	−32.25	35.77	244	c20v
b00r	46.36	1.15	−37.88	37.9	272	c53v
b25r	33.76	27.14	−46.69	54.01	300	c87v
b50r	38.71	61.92	−37.78	72.54	329	v67m
b75r	45.08	64.27	−3.32	64.36	357	m33o

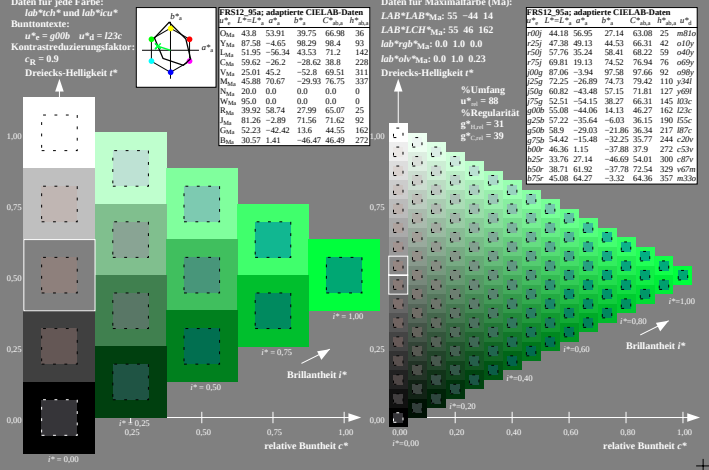

Ein und Ausgabe: Farbmetrisches Drucker-Reflektiv-System FRS12_95a für relativen CIELAB-Buntton $h^* = lab^*h^* = h_{ab}/360 = 0.527$ $u^*_\epsilon = g25b$

Daten für jede Farbe:
*lab*ch** und *lab*icu**
Benttontexte:
$u^*_\epsilon = g25b$ $u^*_d = f55c$
Kontrastreduzierungsfaktor:
$c_R = 0.9$
Dreiecks-Helligkeit t^*

Daten für Maximalfarbe (Ma):
$LAB^*LAB^*_{Ma}$: 57 −36 −6
$LAB^*LCH^*_{Ma}$: 57 36 189
$lab^*rgb^*_{Ma}$: 0.0 1.0 0.5
$lab^*olv^*_{Ma}$: 0.0 1.0 0.55
Dreiecks-Helligkeit t^*

%Umfang $u^*_{vol} = 88$
%Regularität $g^*_{H,rel} = 31$ $g^*_{C,rel} = 39$

FRS12_95a; adaptierte CIELAB-Daten

	L^*	a^*	b^*	C^*_{ab}	h^*_{ab}	u^*_d
O_{Ma}	43.8	53.91	39.75	66.98	36	
Y_{Ma}	87.58	−4.65	98.29	98.4	93	
L_{Ma}	51.95	−56.34	43.53	71.2	142	
C_{Ma}	59.62	−26.2	−28.62	38.8	228	
V_{Ma}	25.01	45.2	−52.8	69.51	311	
M_{Ma}	45.88	70.67	−29.93	76.75	337	
N_{Ma}	20.0	0.0	0.0	0.0	0	
W_{Ma}	95.0	0.0	0.0	0.0	0	
R_{Ma}	39.92	58.74	27.99	65.07	25	
I_{Ma}	81.26	−2.89	71.56	71.62	92	
G_{Ma}	52.23	−42.42	13.6	44.55	162	
B_{Ma}	30.57	1.41	−46.47	46.49	272	

	L^*	a^*	b^*	C^*_{ab}	h^*_{ab}	u^*_d
r00	44.18	56.95	27.14	63.08	25	m81c
r25	47.38	49.13	44.53	66.31	42	o10y
r50	57.76	35.24	58.41	68.22	59	o40y
r75	69.81	19.13	74.52	76.94	76	o69y
y00	87.06	−3.94	97.58	97.66	92	o98y
y25	72.25	−26.89	74.73	79.42	110	y34l
y50	60.82	−43.48	57.15	71.81	127	y69l
y75	52.51	−54.15	38.27	66.31	145	l03c
g00b	55.08	−44.06	14.13	46.27	162	l23c
g25b	57.22	−35.64	−6.03	36.15	190	l55c
g50b	58.9	−29.03	−21.86	36.34	217	l87c
g75b	54.42	−15.48	−32.25	35.77	244	c20v
b00r	46.36	1.15	−37.88	37.9	272	c53v
b25r	33.76	27.14	−46.69	54.01	300	c87v
b50r	38.71	61.92	−37.78	72.54	329	v67m
b75r	45.08	64.27	−3.32	64.36	357	m33o

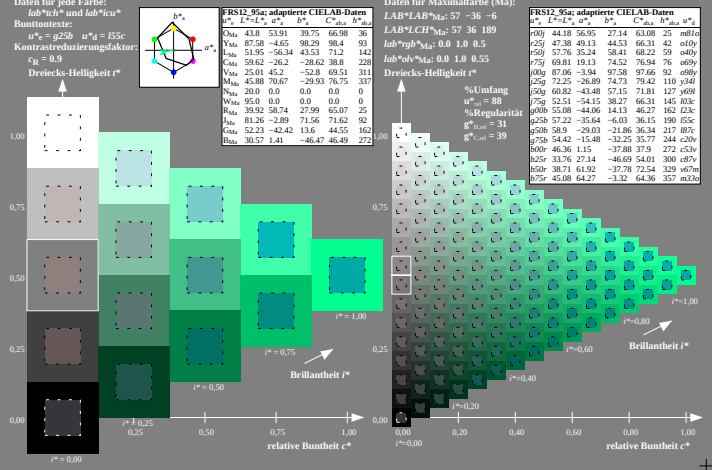

Ein und Ausgabe: Farbmetrisches Drucker-Reflektiv-System FRS12_95a für relativen CIELAB-Buntton $h^* = lab^*h^* = h_{ab}/360 = 0.603$ $u^*_\epsilon = g50b$

Daten für jede Farbe:
*lab*ch** und *lab*icu**
Benttontexte:
$u^*_\epsilon = g50b$ $u^*_d = l87c$
Kontrastreduzierungsfaktor:
$c_R = 0.9$
Dreiecks-Helligkeit t^*

Daten für Maximalfarbe (Ma):
$LAB^*LAB^*_{Ma}$: 59 −29 −22
$LAB^*LCH^*_{Ma}$: 59 36 216
$lab^*rgb^*_{Ma}$: 0.0 1.0 1.0
$lab^*olv^*_{Ma}$: 0.0 1.0 0.88
Dreiecks-Helligkeit t^*

%Umfang $u^*_{vol} = 88$
%Regularität $g^*_{H,rel} = 31$ $g^*_{C,rel} = 39$

FRS12_95a; adaptierte CIELAB-Daten

	L^*	a^*	b^*	C^*_{ab}	h^*_{ab}	u^*_d
O_{Ma}	43.8	53.91	39.75	66.98	36	
Y_{Ma}	87.58	−4.65	98.29	98.4	93	
L_{Ma}	51.95	−56.34	43.53	71.2	142	
C_{Ma}	59.62	−26.2	−28.62	38.8	228	
V_{Ma}	25.01	45.2	−52.8	69.51	311	
M_{Ma}	45.88	70.67	−29.93	76.75	337	
N_{Ma}	20.0	0.0	0.0	0.0	0	
W_{Ma}	95.0	0.0	0.0	0.0	0	
R_{Ma}	39.92	58.74	27.99	65.07	25	
I_{Ma}	81.26	−2.89	71.56	71.62	92	
G_{Ma}	52.23	−42.42	13.6	44.55	162	
B_{Ma}	30.57	1.41	−46.47	46.49	272	

	L^*	a^*	b^*	C^*_{ab}	h^*_{ab}	u^*_d
r00	44.18	56.95	27.14	63.08	25	m81c
r25	47.38	49.13	44.53	66.31	42	o10y
r50	57.76	35.24	58.41	68.22	59	o40y
r75	69.81	19.13	74.52	76.94	76	o69y
y00	87.06	−3.94	97.58	97.66	92	o98y
y25	72.25	−26.89	74.73	79.42	110	y34l
y50	60.82	−43.48	57.15	71.81	127	y69l
y75	52.51	−54.15	38.27	66.31	145	l03c
g00b	55.08	−44.06	14.13	46.27	162	l23c
g25b	57.22	−35.64	−6.03	36.15	190	l55c
g50b	58.9	−29.03	−21.86	36.34	217	l87c
g75b	54.42	−15.48	−32.25	35.77	244	c20v
b00r	46.36	1.15	−37.88	37.9	272	c53v
b25r	33.76	27.14	−46.69	54.01	300	c87v
b50r	38.71	61.92	−37.78	72.54	329	v67m
b75r	45.08	64.27	−3.32	64.36	357	m33o

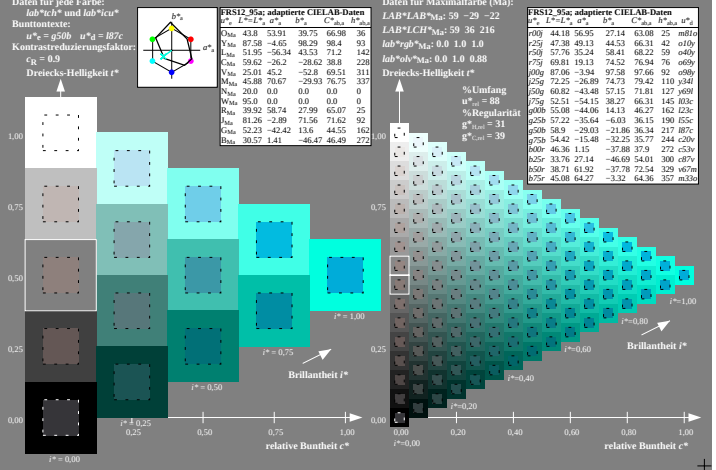

Ein und Ausgabe: Farbmetrisches Drucker-Reflektiv-System FRS12_95a für relativen CIELAB-Buntton $h^* = lab^*h^* = h_{ab}/360 = 0.679$ $u^*_\epsilon = g75b$

Daten für jede Farbe:
*lab*ch** und *lab*icu**
Benttontexte:
$u^*_\epsilon = g75b$ $u^*_d = c20v$
Kontrastreduzierungsfaktor:
$c_R = 0.9$
Dreiecks-Helligkeit t^*

Daten für Maximalfarbe (Ma):
$LAB^*LAB^*_{Ma}$: 54 −15 −32
$LAB^*LCH^*_{Ma}$: 54 36 244
$lab^*rgb^*_{Ma}$: 0.0 0.5 1.0
$lab^*olv^*_{Ma}$: 0.0 0.8 1.0
Dreiecks-Helligkeit t^*

%Umfang $u^*_{vol} = 88$
%Regularität $g^*_{H,rel} = 31$ $g^*_{C,rel} = 39$

FRS12_95a; adaptierte CIELAB-Daten

	L^*	a^*	b^*	C^*_{ab}	h^*_{ab}	u^*_d
O_{Ma}	43.8	53.91	39.75	66.98	36	
Y_{Ma}	87.58	−4.65	98.29	98.4	93	
L_{Ma}	51.95	−56.34	43.53	71.2	142	
C_{Ma}	59.62	−26.2	−28.62	38.8	228	
V_{Ma}	25.01	45.2	−52.8	69.51	311	
M_{Ma}	45.88	70.67	−29.93	76.75	337	
N_{Ma}	20.0	0.0	0.0	0.0	0	
W_{Ma}	95.0	0.0	0.0	0.0	0	
R_{Ma}	39.92	58.74	27.99	65.07	25	
I_{Ma}	81.26	−2.89	71.56	71.62	92	
G_{Ma}	52.23	−42.42	13.6	44.55	162	
B_{Ma}	30.57	1.41	−46.47	46.49	272	

	L^*	a^*	b^*	C^*_{ab}	h^*_{ab}	u^*_d
r00	44.18	56.95	27.14	63.08	25	m81c
r25	47.38	49.13	44.53	66.31	42	o10y
r50	57.76	35.24	58.41	68.22	59	o40y
r75	69.81	19.13	74.52	76.94	76	o69y
y00	87.06	−3.94	97.58	97.66	92	o98y
y25	72.25	−26.89	74.73	79.42	110	y34l
y50	60.82	−43.48	57.15	71.81	127	y69l
y75	52.51	−54.15	38.27	66.31	145	l03c
g00b	55.08	−44.06	14.13	46.27	162	l23c
g25b	57.22	−35.64	−6.03	36.15	190	l55c
g50b	58.9	−29.03	−21.86	36.34	217	l87c
g75b	54.42	−15.48	−32.25	35.77	244	c20v
b00r	46.36	1.15	−37.88	37.9	272	c53v
b25r	33.76	27.14	−46.69	54.01	300	c87v
b50r	38.71	61.92	−37.78	72.54	329	v67m
b75r	45.08	64.27	−3.32	64.36	357	m33o

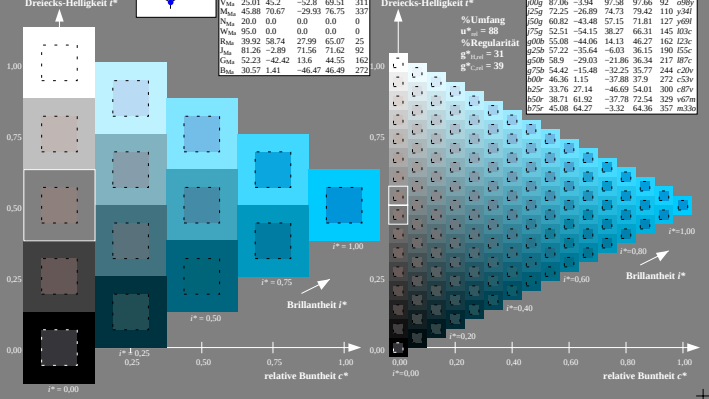

Ein und Ausgabe: Farbmetrisches Drucker-Reflektiv-System FRS12_95a für relativen CIELAB-Buntton $h^* = lab^*h^* = h_{ab}/360 = 0.755$ $u^*_\epsilon = b00r$

Daten für jede Farbe:
*lab*ch** und *lab*icu**
Benttontexte:
$u^*_\epsilon = b00r$ $u^*_d = c53v$
Kontrastreduzierungsfaktor:
$c_R = 0.9$
Dreiecks-Helligkeit t^*

Daten für Maximalfarbe (Ma):
$LAB^*LAB^*_{Ma}$: 46 1 −38
$LAB^*LCH^*_{Ma}$: 46 38 271
$lab^*rgb^*_{Ma}$: 0.0 0.0 1.0
$lab^*olv^*_{Ma}$: 0.0 0.47 1.0
Dreiecks-Helligkeit t^*

%Umfang $u^*_{vol} = 88$
%Regularität $g^*_{H,rel} = 31$ $g^*_{C,rel} = 39$

FRS12_95a; adaptierte CIELAB-Daten

	L^*	a^*	b^*	C^*_{ab}	h^*_{ab}	u^*_d
O_{Ma}	43.8	53.91	39.75	66.98	36	
Y_{Ma}	87.58	−4.65	98.29	98.4	93	
L_{Ma}	51.95	−56.34	43.53	71.2	142	
C_{Ma}	59.62	−26.2	−28.62	38.8	228	
V_{Ma}	25.01	45.2	−52.8	69.51	311	
M_{Ma}	45.88	70.67	−29.93	76.75	337	
N_{Ma}	20.0	0.0	0.0	0.0	0	
W_{Ma}	95.0	0.0	0.0	0.0	0	
R_{Ma}	39.92	58.74	27.99	65.07	25	
I_{Ma}	81.26	−2.89	71.56	71.62	92	
G_{Ma}	52.23	−42.42	13.6	44.55	162	
B_{Ma}	30.57	1.41	−46.47	46.49	272	

	L^*	a^*	b^*	C^*_{ab}	h^*_{ab}	u^*_d
r00	44.18	56.95	27.14	63.08	25	m81c
r25	47.38	49.13	44.53	66.31	42	o10y
r50	57.76	35.24	58.41	68.22	59	o40y
r75	69.81	19.13	74.52	76.94	76	o69y
y00	87.06	−3.94	97.58	97.66	92	o98y
y25	72.25	−26.89	74.73	79.42	110	y34l
y50	60.82	−43.48	57.15	71.81	127	y69l
y75	52.51	−54.15	38.27	66.31	145	l03c
g00b	55.08	−44.06	14.13	46.27	162	l23c
g25b	57.22	−35.64	−6.03	36.15	190	l55c
g50b	58.9	−29.03	−21.86	36.34	217	l87c
g75b	54.42	−15.48	−32.25	35.77	244	c20v
b00r	46.36	1.15	−37.88	37.9	272	c53v
b25r	33.76	27.14	−46.69	54.01	300	c87v
b50r	38.71	61.92	−37.78	72.54	329	v67m
b75r	45.08	64.27	−3.32	64.36	357	m33o

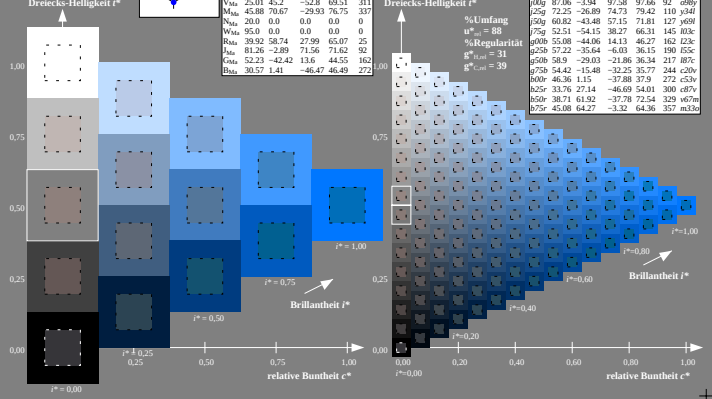

Ein und Ausgabe: Farbmetrisches Drucker-Reflektiv-System FRS12_95a für relativen CIELAB-Buntton $h^* = lab^*h^* = h_{ab}/360 = 0.834$ $u^*_\epsilon = b25r$

Daten für jede Farbe:
*lab*ch** und *lab*icu**
Benttontexte:
$u^*_\epsilon = b25r$ $u^*_d = c87v$
Kontrastreduzierungsfaktor:
$c_R = 0.9$
Dreiecks-Helligkeit t^*

Daten für Maximalfarbe (Ma):
$LAB^*LAB^*_{Ma}$: 34 27 −47
$LAB^*LCH^*_{Ma}$: 34 54 300
$lab^*rgb^*_{Ma}$: 0.5 0.0 1.0
$lab^*olv^*_{Ma}$: 0.0 0.13 1.0
Dreiecks-Helligkeit t^*

%Umfang $u^*_{vol} = 88$
%Regularität $g^*_{H,rel} = 31$ $g^*_{C,rel} = 39$

FRS12_95a; adaptierte CIELAB-Daten

	L^*	a^*	b^*	C^*_{ab}	h^*_{ab}	u^*_d
O_{Ma}	43.8	53.91	39.75	66.98	36	
Y_{Ma}	87.58	−4.65	98.29	98.4	93	
L_{Ma}	51.95	−56.34	43.53	71.2	142	
C_{Ma}	59.62	−26.2	−28.62	38.8	228	
V_{Ma}	25.01	45.2	−52.8	69.51	311	
M_{Ma}	45.88	70.67	−29.93	76.75	337	
N_{Ma}	20.0	0.0	0.0	0.0	0	
W_{Ma}	95.0	0.0	0.0	0.0	0	
R_{Ma}	39.92	58.74	27.99	65.07	25	
I_{Ma}	81.26	−2.89	71.56	71.62	92	
G_{Ma}	52.23	−42.42	13.6	44.55	162	
B_{Ma}	30.57	1.41	−46.47	46.49	272	

	L^*	a^*	b^*	C^*_{ab}	h^*_{ab}	u^*_d
r00	44.18	56.95	27.14	63.08	25	m81c
r25	47.38	49.13	44.53	66.31	42	o10y
r50	57.76	35.24	58.41	68.22	59	o40y
r75	69.81	19.13	74.52	76.94	76	o69y
y00	87.06	−3.94	97.58	97.66	92	o98y
y25	72.25	−26.89	74.73	79.42	110	y34l
y50	60.82	−43.48	57.15	71.81	127	y69l
y75	52.51	−54.15	38.27	66.31	145	l03c
g00b	55.08	−44.06	14.13	46.27	162	l23c
g25b	57.22	−35.64	−6.03	36.15	190	l55c
g50b	58.9	−29.03	−21.86	36.34	217	l87c
g75b	54.42	−15.48	−32.25	35.77	244	c20v
b00r	46.36	1.15	−37.88	37.9	272	c53v
b25r	33.76	27.14	−46.69	54.01	300	c87v
b50r	38.71	61.92	−37.78	72.54	329	v67m
b75r	45.08	64.27	−3.32	64.36	357	m33o

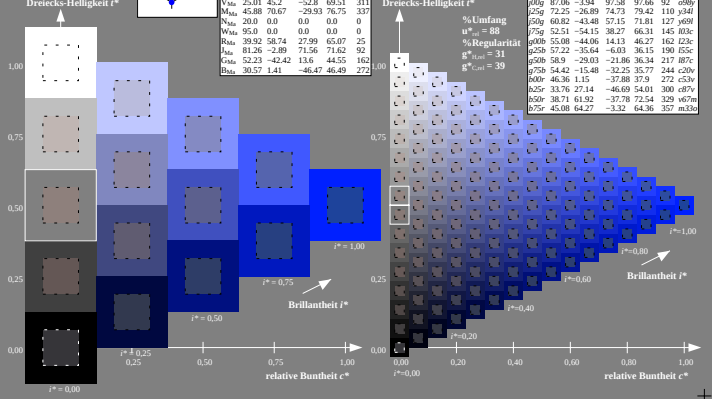

Ein und Ausgabe: Farbmetrisches Drucker-Reflektiv-System FRS12_95a für relativen CIELAB-Buntton $h^* = lab^*h^* = h_{ab}/360 = 0.913$ $u^*_\epsilon = b50r$

Daten für jede Farbe:
*lab*ch** und *lab*icu**
Benttontexte:
$u^*_\epsilon = b50r$ $u^*_d = v67m$
Kontrastreduzierungsfaktor:
$c_R = 0.9$
Dreiecks-Helligkeit t^*

Daten für Maximalfarbe (Ma):
$LAB^*LAB^*_{Ma}$: 39 62 −38
$LAB^*LCH^*_{Ma}$: 39 73 328
$lab^*rgb^*_{Ma}$: 1.0 0.0 1.0
$lab^*olv^*_{Ma}$: 0.68 0.0 1.0
Dreiecks-Helligkeit t^*

%Umfang $u^*_{vol} = 88$
%Regularität $g^*_{H,rel} = 31$ $g^*_{C,rel} = 39$

FRS12_95a; adaptierte CIELAB-Daten

	L^*	a^*	b^*	C^*_{ab}	h^*_{ab}	u^*_d
O_{Ma}	43.8	53.91	39.75	66.98	36	
Y_{Ma}	87.58	−4.65	98.29	98.4	93	
L_{Ma}	51.95	−56.34	43.53	71.2	142	
C_{Ma}	59.62	−26.2	−28.62	38.8	228	
V_{Ma}	25.01	45.2	−52.8	69.51	311	
M_{Ma}	45.88	70.67	−29.93	76.75	337	
N_{Ma}	20.0	0.0	0.0	0.0	0	
W_{Ma}	95.0	0.0	0.0	0.0	0	
R_{Ma}	39.92	58.74	27.99	65.07	25	
I_{Ma}	81.26	−2.89	71.56	71.62	92	
G_{Ma}	52.23	−42.42	13.6	44.55	162	
B_{Ma}	30.57	1.41	−46.47	46.49	272	

	L^*	a^*	b^*	C^*_{ab}	h^*_{ab}	u^*_d
r00	44.18	56.95	27.14	63.08	25	m81c
r25	47.38	49.13	44.53	66.31	42	o10y
r50	57.76	35.24	58.41	68.22	59	o40y
r75	69.81	19.13	74.52	76.94	76	o69y
y00	87.06	−3.94	97.58	97.66	92	o98y
y25	72.25	−26.89	74.73	79.42	110	y34l
y50	60.82	−43.48	57.15	71.81	127	y69l
y75	52.51	−54.15	38.27	66.31	145	l03c
g00b	55.08	−44.06	14.13	46.27	162	l23c
g25b	57.22	−35.64	−6.03	36.15	190	l55c
g50b	58.9	−29.03	−21.86	36.34	217	l87c
g75b	54.42	−15.48	−32.25	35.77	244	c20v
b00r	46.36	1.15	−37.88	37.9	272	c53v
b25r	33.76	27.14	−46.69	54.01	300	c87v
b50r	38.71	61.92	−37.78	72.54	329	v67m
b75r	45.08	64.27	−3.32	64.36	357	m33o

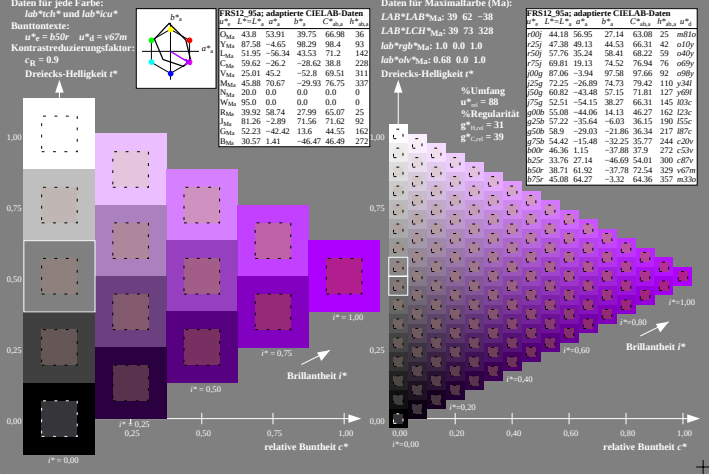

Ein und Ausgabe: Farbmetrisches Drucker-Reflektiv-System FRS12_95a für relativen CIELAB-Buntton $h^* = lab^*h^* = h_{ab}/360 = 0.992$ $u^*_\epsilon = b75r$

Daten für jede Farbe:
*lab*ch** und *lab*icu**
Benttontexte:
$u^*_\epsilon = b75r$ $u^*_d = m33o$
Kontrastreduzierungsfaktor:
$c_R = 0.9$
Dreiecks-Helligkeit t^*

Daten für Maximalfarbe (Ma):
$LAB^*LAB^*_{Ma}$: 45 64 −3
$LAB^*LCH^*_{Ma}$: 45 64 357
$lab^*rgb^*_{Ma}$: 1.0 0.0 0.5
$lab^*olv^*_{Ma}$: 1.0 0.0 0.66
Dreiecks-Helligkeit t^*

%Umfang $u^*_{vol} = 88$
%Regularität $g^*_{H,rel} = 31$ $g^*_{C,rel} = 39$

FRS12_95a; adaptierte CIELAB-Daten

	L^*	a^*	b^*	C^*_{ab}	h^*_{ab}	u^*_d
O_{Ma}	43.8	53.91	39.75	66.98	36	
Y_{Ma}	87.58	−4.65	98.29	98.4	93	
L_{Ma}	51.95	−56.34	43.53	71.2	142	
C_{Ma}	59.62	−26.2	−28.62	38.8	228	
V_{Ma}	25.01	45.2	−52.8	69.51	311	
M_{Ma}	45.88	70.67	−29.93	76.75	337	
N_{Ma}	20.0	0.0	0.0	0.0	0	
W_{Ma}	95.0	0.0	0.0	0.0	0	
R_{Ma}	39.92	58.74	27.99	65.07	25	
I_{Ma}	81.26	−2.89	71.56	71.62	92	
G_{Ma}	52.23	−42.42	13.6	44.55	162	
B_{Ma}	30.57	1.41	−46.47	46.49	272	

	L^*	a^*	b^*	C^*_{ab}	h^*_{ab}	u^*_d
r00	44.18	56.95	27.14	63.08	25	m81c
r25	47.38	49.13	44.53	66.31	42	o10y
r50	57.76	35.24	58.41	68.22	59	o40y
r75	69.81	19.13	74.52	76.94	76	o69y
y00	87.06	−3.94	97.58	97.66	92	o98y
y25	72.25	−26.89	74.73	79.42	110	y34l
y50	60.82	−43.48	57.15	71.81	127	y69l
y75	52.51	−54.15	38.27	66.31	145	l03c
g00b	55.08	−44.06	14.13	46.27	162	l23c
g25b	57.22	−35.64	−6.03	36.15	190	l55c
g50b	58.9	−29.03	−21.86	36.34	217	l87c
g75b	54.42	−15.48	−32.25	35.77	244	c20v
b00r	46.36	1.15	−37.88	37.9	272	c53v
b25r	33.76	27.14	−46.69	54.01	300	c87v
b50r	38.71	61.92	−37.78	72.54	329	v67m
b75r	45.08	64.27	−3.32	64.36	357	m33o

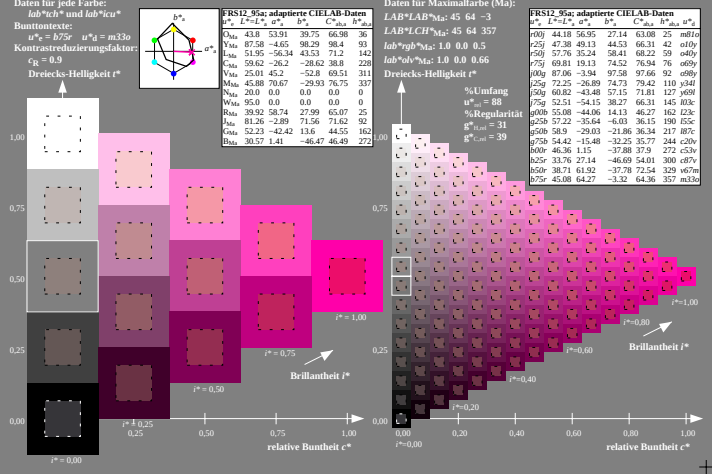

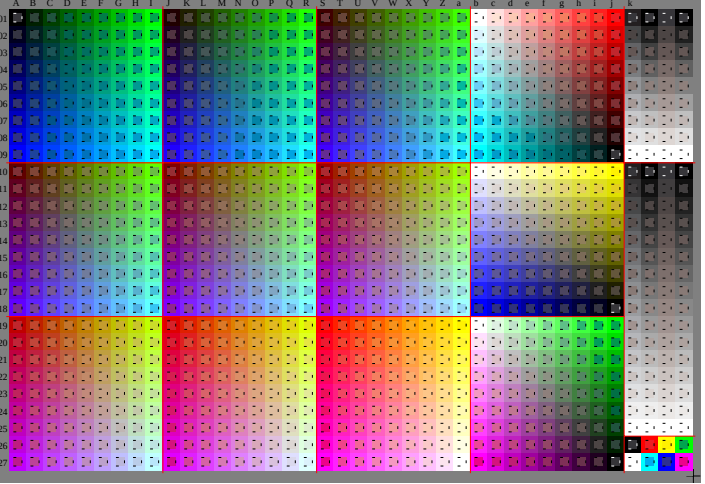

Ein und Ausgabe: Farbmetrisches Drucker-Reflektiv-System FRS12_95a für relativen CIELAB-Buntton $h^* = lab^*h^* = h_{ab}/360 = 0.395$ $u^*_d = g00b$

Daten für jede Farbe:
*lab*ich** und *lab*icu**
Benttontexte:
$u^*_d = l00c$ $u^*_e = j71g$
Kontrastreduzierungsfaktor:
$c_R = 0.9$
Dreiecks-Helligkeit t^*

Daten für Maximalfarbe (Ma):
$LAB^*LAB^*_{Ma}$: 52 −56 44
$LAB^*LCH^*_{Ma}$: 52 71 142
$lab^*olv^*_{Ma}$: 0.0 1.0 0.0
$lab^*rgb^*_{Ma}$: 0.28 1.0 0.0
Dreiecks-Helligkeit t^*

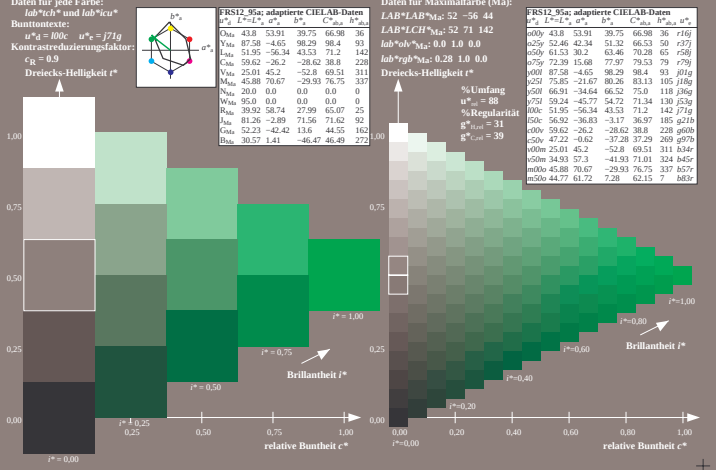

Ein und Ausgabe: Farbmetrisches Drucker-Reflektiv-System FRS12_95a für relativen CIELAB-Buntton $h^* = lab^*h^* = h_{ab}/360 = 0.514$ $u^*_d = g25b$

Daten für jede Farbe:
*lab*ich** und *lab*icu**
Benttontexte:
$u^*_d = l50c$ $u^*_e = g21b$
Kontrastreduzierungsfaktor:
$c_R = 0.9$
Dreiecks-Helligkeit t^*

Daten für Maximalfarbe (Ma):
$LAB^*LAB^*_{Ma}$: 57 −37 −3
$LAB^*LCH^*_{Ma}$: 57 37 184
$lab^*olv^*_{Ma}$: 0.0 1.0 0.5
$lab^*rgb^*_{Ma}$: 0.0 1.0 0.41
Dreiecks-Helligkeit t^*

Ein und Ausgabe: Farbmetrisches Drucker-Reflektiv-System FRS12_95a für relativen CIELAB-Buntton $h^* = lab^*h^* = h_{ab}/360 = 0.632$ $u^*_d = g50b$

Daten für jede Farbe:
*lab*ich** und *lab*icu**
Benttontexte:
$u^*_d = c00v$ $u^*_e = g60b$
Kontrastreduzierungsfaktor:
$c_R = 0.9$
Dreiecks-Helligkeit t^*

Daten für Maximalfarbe (Ma):
$LAB^*LAB^*_{Ma}$: 60 −26 −29
$LAB^*LCH^*_{Ma}$: 60 39 227
$lab^*olv^*_{Ma}$: 0.0 1.0 1.0
$lab^*rgb^*_{Ma}$: 0.0 0.81 1.0
Dreiecks-Helligkeit t^*

Ein und Ausgabe: Farbmetrisches Drucker-Reflektiv-System FRS12_95a für relativen CIELAB-Buntton $h^* = lab^*h^* = h_{ab}/360 = 0.747$ $u^*_d = g75b$

Daten für jede Farbe:
*lab*ich** und *lab*icu**
Benttontexte:
$u^*_d = c50v$ $u^*_e = g97b$
Kontrastreduzierungsfaktor:
$c_R = 0.9$
Dreiecks-Helligkeit t^*

Daten für Maximalfarbe (Ma):
$LAB^*LAB^*_{Ma}$: 47 −1 −37
$LAB^*LCH^*_{Ma}$: 47 37 269
$lab^*olv^*_{Ma}$: 0.0 0.5 1.0
$lab^*rgb^*_{Ma}$: 0.0 0.05 1.0
Dreiecks-Helligkeit t^*

Ein und Ausgabe: Farbmetrisches Drucker-Reflektiv-System FRS12_95a für relativen CIELAB-Buntton $h^* = lab^*h^* = h_{ab}/360 = 0.863$ $u^*_d = b00r$

Daten für jede Farbe:
*lab*ich** und *lab*icu**
Benttontexte:
$u^*_d = v00m$ $u^*_e = b34r$
Kontrastreduzierungsfaktor:
$c_R = 0.9$
Dreiecks-Helligkeit t^*

Daten für Maximalfarbe (Ma):
$LAB^*LAB^*_{Ma}$: 25 45 −53
$LAB^*LCH^*_{Ma}$: 25 70 310
$lab^*olv^*_{Ma}$: 0.0 0.0 1.0
$lab^*rgb^*_{Ma}$: 0.68 0.0 1.0
Dreiecks-Helligkeit t^*

Ein und Ausgabe: Farbmetrisches Drucker-Reflektiv-System FRS12_95a für relativen CIELAB-Buntton $h^* = lab^*h^* = h_{ab}/360 = 0.899$ $u^*_d = b25r$

Daten für jede Farbe:
*lab*ich** und *lab*icu**
Benttontexte:
$u^*_d = v50m$ $u^*_e = b45r$
Kontrastreduzierungsfaktor:
$c_R = 0.9$
Dreiecks-Helligkeit t^*

Daten für Maximalfarbe (Ma):
$LAB^*LAB^*_{Ma}$: 35 57 −42
$LAB^*LCH^*_{Ma}$: 35 71 323
$lab^*olv^*_{Ma}$: 0.5 0.0 1.0
$lab^*rgb^*_{Ma}$: 0.92 0.0 1.0
Dreiecks-Helligkeit t^*

Ein und Ausgabe: Farbmetrisches Drucker-Reflektiv-System FRS12_95a für relativen CIELAB-Buntton $h^* = lab^*h^* = h_{ab}/360 = 0.936$ $u^*_d = b50r$

Daten für jede Farbe:
*lab*ich** und *lab*icu**
Benttontexte:
$u^*_d = m00v$ $u^*_e = b57r$
Kontrastreduzierungsfaktor:
$c_R = 0.9$
Dreiecks-Helligkeit t^*

Daten für Maximalfarbe (Ma):
$LAB^*LAB^*_{Ma}$: 46 71 −30
$LAB^*LCH^*_{Ma}$: 46 77 337
$lab^*olv^*_{Ma}$: 1.0 0.0 1.0
$lab^*rgb^*_{Ma}$: 1.0 0.0 0.85
Dreiecks-Helligkeit t^*

Ein und Ausgabe: Farbmetrisches Drucker-Reflektiv-System FRS12_95a für relativen CIELAB-Buntton $h^* = lab^*h^* = h_{ab}/360 = 0.019$ $u^*_d = b75r$

Daten für jede Farbe:
*lab*ich** und *lab*icu**
Benttontexte:
$u^*_d = m50v$ $u^*_e = b83r$
Kontrastreduzierungsfaktor:
$c_R = 0.9$
Dreiecks-Helligkeit t^*

Daten für Maximalfarbe (Ma):
$LAB^*LAB^*_{Ma}$: 45 62 7
$LAB^*LCH^*_{Ma}$: 45 62 6
$lab^*olv^*_{Ma}$: 1.0 0.0 0.5
$lab^*rgb^*_{Ma}$: 1.0 0.0 0.33
Dreiecks-Helligkeit t^*

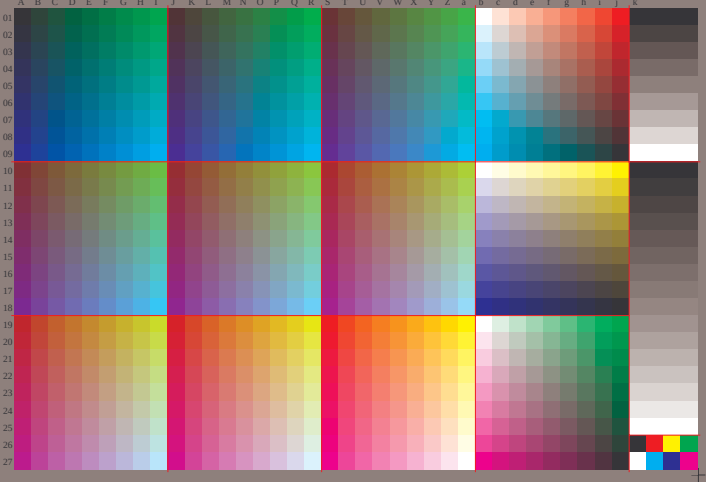

Ein und Ausgabe: Farbmetrisches Drucker-Reflektiv-System FRS12_95a für relativen CIELAB-Buntton $h^* = lab^*h^* = h_{ab}/360 = 0.395$ ***$u^*_d = g00b$***

Daten für jede Farbe:
lab*tch* **und** ***lab*icu****
Bunttontexte:
$u^*_d = l00c$ $u^*_e = j71g$
Kontrastreduzierungsfaktor:
$c_R = 0.9$
Dreiecks-Helligkeit *t**

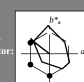

FRS12_95a; adaptierte CIELAB-Daten					
u^*_d	$L^*=L^*_a$	a^*_a	b^*_a	$C^*_{ab,a}$	$h^*_{ab,a}$
O_{Ma}	43.8	53.91	39.75	66.98	36
Y_{Ma}	87.58	−4.65	98.29	98.4	93
L_{Ma}	51.95	−56.34	43.53	71.2	142
C_{Ma}	59.62	−26.2	−28.62	38.8	228
V_{Ma}	25.01	45.2	−52.8	69.51	311
M_{Ma}	45.88	70.67	−29.93	76.75	337
N_{Ma}	20.0	0.0	0.0	0.0	0
W_{Ma}	95.0	0.0	0.0	0.0	0
R_{Ma}	39.92	58.74	27.99	65.07	25
J_{Ma}	81.26	−2.89	71.56	71.62	92
G_{Ma}	52.23	−42.42	13.6	44.55	162
B_{Ma}	30.57	1.41	−46.47	46.49	272

Daten für Maximalfarbe (Ma):
***$LAB^*LAB^*_{Ma}$*: 52 −56 44**
***$LAB^*LCH^*_{Ma}$*: 52 71 142**
***$lab^*olv^*_{Ma}$*: 0.0 1.0 0.0**
***$lab^*rgb^*_{Ma}$*: 0.28 1.0 0.0**
Dreiecks-Helligkeit *t**

%Umfang
$u^*_{rel} = 88$
%Regularität
$g^*_{H,rel} = 31$
$g^*_{C,rel} = 39$

FRS12_95a; adaptierte CIELAB-Daten						
u^*_d	$L^*=L^*_a$	a^*_a	b^*_a	$C^*_{ab,a}$	$h^*_{ab,a}$	u^*_e
o00y	43.8	53.91	39.75	66.98	36	*r16j*
o25y	52.46	42.34	51.32	66.53	50	*r37j*
o50y	61.53	30.2	63.46	70.28	65	*r58j*
o75y	72.39	15.68	77.97	79.53	79	*r79j*
y00l	87.58	−4.65	98.29	98.4	93	*j01g*
y25l	75.85	−21.67	80.26	83.13	105	*j18g*
y50l	66.91	−34.64	66.52	75.0	118	*j36g*
y75l	59.24	−45.77	54.72	71.34	130	*j53g*
l00c	51.95	−56.34	43.53	71.2	142	*j71g*
l50c	56.92	−36.83	−3.17	36.97	185	*g21b*
c00v	59.62	−26.2	−28.62	38.8	228	*g60b*
c50v	47.22	−0.62	−37.28	37.29	269	*g97b*
v00m	25.01	45.2	−52.8	69.51	311	*b34r*
v50m	34.93	57.3	−41.93	71.01	324	*b45r*
m00o	45.88	70.67	−29.93	76.75	337	*b57r*
m50o	44.77	61.72	7.28	62.15	7	*b83r*

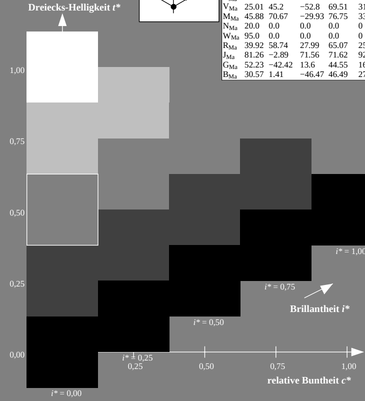

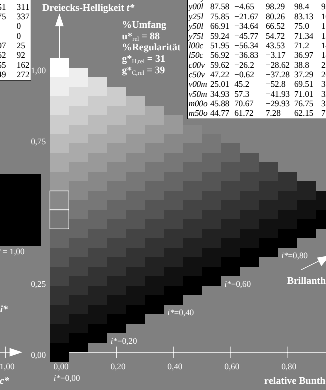

Ein und Ausgabe: Farbmetrisches Drucker-Reflektiv-System FRS12_95a für relativen CIELAB-Buntton $h^* = lab^*h^* = h_{ab}/360 = 0.514$ ***$u^*_d = g25b$***

Daten für jede Farbe:
lab*tch* **und** ***lab*icu****
Bunttontexte:
$u^*_d = l50c$ $u^*_e = g21b$
Kontrastreduzierungsfaktor:
$c_R = 0.9$
Dreiecks-Helligkeit *t**

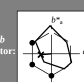

FRS12_95a; adaptierte CIELAB-Daten					
u^*_d	$L^*=L^*_a$	a^*_a	b^*_a	$C^*_{ab,a}$	$h^*_{ab,a}$
O_{Ma}	43.8	53.91	39.75	66.98	36
Y_{Ma}	87.58	−4.65	98.29	98.4	93
L_{Ma}	51.95	−56.34	43.53	71.2	142
C_{Ma}	59.62	−26.2	−28.62	38.8	228
V_{Ma}	25.01	45.2	−52.8	69.51	311
M_{Ma}	45.88	70.67	−29.93	76.75	337
N_{Ma}	20.0	0.0	0.0	0.0	0
W_{Ma}	95.0	0.0	0.0	0.0	0
R_{Ma}	39.92	58.74	27.99	65.07	25
J_{Ma}	81.26	−2.89	71.56	71.62	92
G_{Ma}	52.23	−42.42	13.6	44.55	162
B_{Ma}	30.57	1.41	−46.47	46.49	272

Daten für Maximalfarbe (Ma):
***$LAB^*LAB^*_{Ma}$*: 57 −37 −3**
***$LAB^*LCH^*_{Ma}$*: 57 37 184**
***$lab^*olv^*_{Ma}$*: 0.0 1.0 0.5**
***$lab^*rgb^*_{Ma}$*: 0.0 1.0 0.41**
Dreiecks-Helligkeit *t**

%Umfang
$u^*_{rel} = 88$
%Regularität
$g^*_{H,rel} = 31$
$g^*_{C,rel} = 39$

FRS12_95a; adaptierte CIELAB-Daten						
u^*_d	$L^*=L^*_a$	a^*_a	b^*_a	$C^*_{ab,a}$	$h^*_{ab,a}$	u^*_e
o00y	43.8	53.91	39.75	66.98	36	*r16j*
o25y	52.46	42.34	51.32	66.53	50	*r37j*
o50y	61.53	30.2	63.46	70.28	65	*r58j*
o75y	72.39	15.68	77.97	79.53	79	*r79j*
y00l	87.58	−4.65	98.29	98.4	93	*j01g*
y25l	75.85	−21.67	80.26	83.13	105	*j18g*
y50l	66.91	−34.64	66.52	75.0	118	*j36g*
y75l	59.24	−45.77	54.72	71.34	130	*j53g*
l00c	51.95	−56.34	43.53	71.2	142	*j71g*
l50c	56.92	−36.83	−3.17	36.97	185	*g21b*
c00v	59.62	−26.2	−28.62	38.8	228	*g60b*
c50v	47.22	−0.62	−37.28	37.29	269	*g97b*
v00m	25.01	45.2	−52.8	69.51	311	*b34r*
v50m	34.93	57.3	−41.93	71.01	324	*b45r*
m00o	45.88	70.67	−29.93	76.75	337	*b57r*
m50o	44.77	61.72	7.28	62.15	7	*b83r*

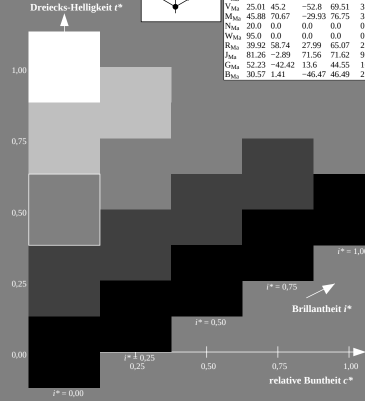

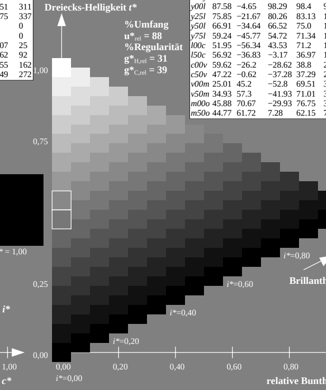

Ein und Ausgabe: Farbmetrisches Drucker-Reflektiv-System FRS12_95a für relativen CIELAB-Buntton $h^* = lab^*h^* = h_{ab}/360 = 0.632$ ***$u^*_d = g50b$***

Daten für jede Farbe:
lab*tch* **und** ***lab*icu****
Bunttontexte:
$u^*_d = c00v$ $u^*_e = g60b$
Kontrastreduzierungsfaktor:
$c_R = 0.9$
Dreiecks-Helligkeit *t**

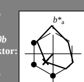

FRS12_95a; adaptierte CIELAB-Daten					
u^*_d	$L^*=L^*_a$	a^*_a	b^*_a	$C^*_{ab,a}$	$h^*_{ab,a}$
O_{Ma}	43.8	53.91	39.75	66.98	36
Y_{Ma}	87.58	−4.65	98.29	98.4	93
L_{Ma}	51.95	−56.34	43.53	71.2	142
C_{Ma}	59.62	−26.2	−28.62	38.8	228
V_{Ma}	25.01	45.2	−52.8	69.51	311
M_{Ma}	45.88	70.67	−29.93	76.75	337
N_{Ma}	20.0	0.0	0.0	0.0	0
W_{Ma}	95.0	0.0	0.0	0.0	0
R_{Ma}	39.92	58.74	27.99	65.07	25
J_{Ma}	81.26	−2.89	71.56	71.62	92
G_{Ma}	52.23	−42.42	13.6	44.55	162
B_{Ma}	30.57	1.41	−46.47	46.49	272

Daten für Maximalfarbe (Ma):
***$LAB^*LAB^*_{Ma}$*: 60 −26 −29**
***$LAB^*LCH^*_{Ma}$*: 60 39 227**
***$lab^*olv^*_{Ma}$*: 0.0 1.0 1.0**
***$lab^*rgb^*_{Ma}$*: 0.0 0.81 1.0**
Dreiecks-Helligkeit *t**

%Umfang
$u^*_{rel} = 88$
%Regularität
$g^*_{H,rel} = 31$
$g^*_{C,rel} = 39$

FRS12_95a; adaptierte CIELAB-Daten						
u^*_d	$L^*=L^*_a$	a^*_a	b^*_a	$C^*_{ab,a}$	$h^*_{ab,a}$	u^*_e
o00y	43.8	53.91	39.75	66.98	36	*r16j*
o25y	52.46	42.34	51.32	66.53	50	*r37j*
o50y	61.53	30.2	63.46	70.28	65	*r58j*
o75y	72.39	15.68	77.97	79.53	79	*r79j*
y00l	87.58	−4.65	98.29	98.4	93	*j01g*
y25l	75.85	−21.67	80.26	83.13	105	*j18g*
y50l	66.91	−34.64	66.52	75.0	118	*j36g*
y75l	59.24	−45.77	54.72	71.34	130	*j53g*
l00c	51.95	−56.34	43.53	71.2	142	*j71g*
l50c	56.92	−36.83	−3.17	36.97	185	*g21b*
c00v	59.62	−26.2	−28.62	38.8	228	*g60b*
c50v	47.22	−0.62	−37.28	37.29	269	*g97b*
v00m	25.01	45.2	−52.8	69.51	311	*b34r*
v50m	34.93	57.3	−41.93	71.01	324	*b45r*
m00o	45.88	70.67	−29.93	76.75	337	*b57r*
m50o	44.77	61.72	7.28	62.15	7	*b83r*

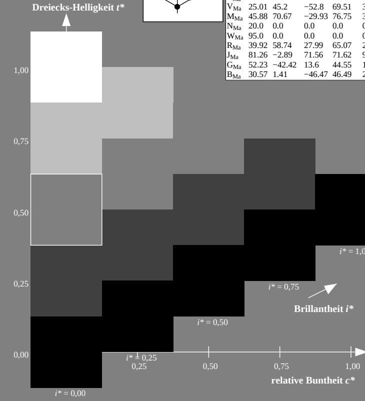

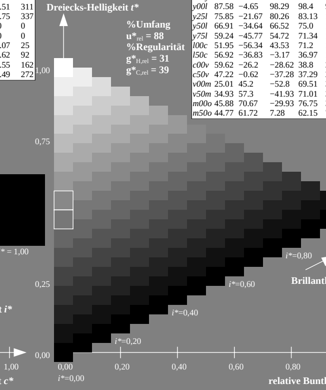

Ein und Ausgabe: Farbmetrisches Drucker-Reflektiv-System FRS12_95a für relativen CIELAB-Buntton $h^* = lab^*h^* = h_{ab}/360 = 0.747$ ***$u^*_d = g75b$***

Daten für jede Farbe:
lab*tch* **und** ***lab*icu****
Bunttontexte:
$u^*_d = c50v$ $u^*_e = g97b$
Kontrastreduzierungsfaktor:
$c_R = 0.9$
Dreiecks-Helligkeit *t**

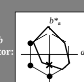

FRS12_95a; adaptierte CIELAB-Daten					
u^*_d	$L^*=L^*_a$	a^*_a	b^*_a	$C^*_{ab,a}$	$h^*_{ab,a}$
O_{Ma}	43.8	53.91	39.75	66.98	36
Y_{Ma}	87.58	−4.65	98.29	98.4	93
L_{Ma}	51.95	−56.34	43.53	71.2	142
C_{Ma}	59.62	−26.2	−28.62	38.8	228
V_{Ma}	25.01	45.2	−52.8	69.51	311
M_{Ma}	45.88	70.67	−29.93	76.75	337
N_{Ma}	20.0	0.0	0.0	0.0	0
W_{Ma}	95.0	0.0	0.0	0.0	0
R_{Ma}	39.92	58.74	27.99	65.07	25
J_{Ma}	81.26	−2.89	71.56	71.62	92
G_{Ma}	52.23	−42.42	13.6	44.55	162
B_{Ma}	30.57	1.41	−46.47	46.49	272

Daten für Maximalfarbe (Ma):
***$LAB^*LAB^*_{Ma}$*: 47 −1 −37**
***$LAB^*LCH^*_{Ma}$*: 47 37 269**
***$lab^*olv^*_{Ma}$*: 0.0 0.5 1.0**
***$lab^*rgb^*_{Ma}$*: 0.0 0.05 1.0**
Dreiecks-Helligkeit *t**

%Umfang
$u^*_{rel} = 88$
%Regularität
$g^*_{H,rel} = 31$
$g^*_{C,rel} = 39$

FRS12_95a; adaptierte CIELAB-Daten						
u^*_d	$L^*=L^*_a$	a^*_a	b^*_a	$C^*_{ab,a}$	$h^*_{ab,a}$	u^*_e
o00y	43.8	53.91	39.75	66.98	36	*r16j*
o25y	52.46	42.34	51.32	66.53	50	*r37j*
o50y	61.53	30.2	63.46	70.28	65	*r58j*
o75y	72.39	15.68	77.97	79.53	79	*r79j*
y00l	87.58	−4.65	98.29	98.4	93	*j01g*
y25l	75.85	−21.67	80.26	83.13	105	*j18g*
y50l	66.91	−34.64	66.52	75.0	118	*j36g*
y75l	59.24	−45.77	54.72	71.34	130	*j53g*
l00c	51.95	−56.34	43.53	71.2	142	*j71g*
l50c	56.92	−36.83	−3.17	36.97	185	*g21b*
c00v	59.62	−26.2	−28.62	38.8	228	*g60b*
c50v	47.22	−0.62	−37.28	37.29	269	*g97b*
v00m	25.01	45.2	−52.8	69.51	311	*b34r*
v50m	34.93	57.3	−41.93	71.01	324	*b45r*
m00o	45.88	70.67	−29.93	76.75	337	*b57r*
m50o	44.77	61.72	7.28	62.15	7	*b83r*

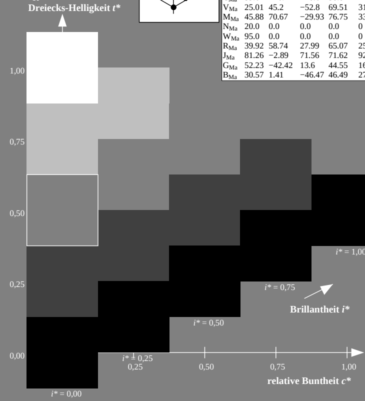

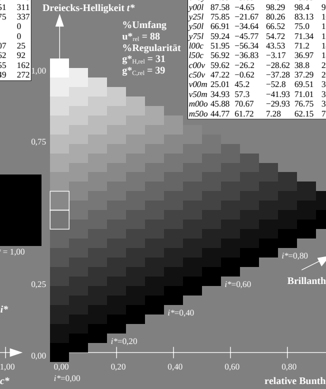

Ein und Ausgabe: Farbmetrisches Drucker-Reflektiv-System FRS12_95a für relativen CIELAB-Buntton $h^* = lab^*h^* = h_{ab}/360 = 0.863$ ***$u^*_d = b00r$***

Daten für jede Farbe:
lab*tch* **und** ***lab*icu****
Bunttontexte:
$u^*_d = v00m$ $u^*_e = b34r$
Kontrastreduzierungsfaktor:
$c_R = 0.9$
Dreiecks-Helligkeit *t**

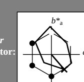

FRS12_95a; adaptierte CIELAB-Daten					
u^*_d	$L^*=L^*_a$	a^*_a	b^*_a	$C^*_{ab,a}$	$h^*_{ab,a}$
O_{Ma}	43.8	53.91	39.75	66.98	36
Y_{Ma}	87.58	−4.65	98.29	98.4	93
L_{Ma}	51.95	−56.34	43.53	71.2	142
C_{Ma}	59.62	−26.2	−28.62	38.8	228
V_{Ma}	25.01	45.2	−52.8	69.51	311
M_{Ma}	45.88	70.67	−29.93	76.75	337
N_{Ma}	20.0	0.0	0.0	0.0	0
W_{Ma}	95.0	0.0	0.0	0.0	0
R_{Ma}	39.92	58.74	27.99	65.07	25
J_{Ma}	81.26	−2.89	71.56	71.62	92
G_{Ma}	52.23	−42.42	13.6	44.55	162
B_{Ma}	30.57	1.41	−46.47	46.49	272

Daten für Maximalfarbe (Ma):
***$LAB^*LAB^*_{Ma}$*: 25 45 −53**
***$LAB^*LCH^*_{Ma}$*: 25 70 310**
***$lab^*olv^*_{Ma}$*: 0.0 0.0 1.0**
***$lab^*rgb^*_{Ma}$*: 0.68 0.0 1.0**
Dreiecks-Helligkeit *t**

%Umfang
$u^*_{rel} = 88$
%Regularität
$g^*_{H,rel} = 31$
$g^*_{C,rel} = 39$

FRS12_95a; adaptierte CIELAB-Daten						
u^*_d	$L^*=L^*_a$	a^*_a	b^*_a	$C^*_{ab,a}$	$h^*_{ab,a}$	u^*_e
o00y	43.8	53.91	39.75	66.98	36	*r16j*
o25y	52.46	42.34	51.32	66.53	50	*r37j*
o50y	61.53	30.2	63.46	70.28	65	*r58j*
o75y	72.39	15.68	77.97	79.53	79	*r79j*
y00l	87.58	−4.65	98.29	98.4	93	*j01g*
y25l	75.85	−21.67	80.26	83.13	105	*j18g*
y50l	66.91	−34.64	66.52	75.0	118	*j36g*
y75l	59.24	−45.77	54.72	71.34	130	*j53g*
l00c	51.95	−56.34	43.53	71.2	142	*j71g*
l50c	56.92	−36.83	−3.17	36.97	185	*g21b*
c00v	59.62	−26.2	−28.62	38.8	228	*g60b*
c50v	47.22	−0.62	−37.28	37.29	269	*g97b*
v00m	25.01	45.2	−52.8	69.51	311	*b34r*
v50m	34.93	57.3	−41.93	71.01	324	*b45r*
m00o	45.88	70.67	−29.93	76.75	337	*b57r*
m50o	44.77	61.72	7.28	62.15	7	*b83r*

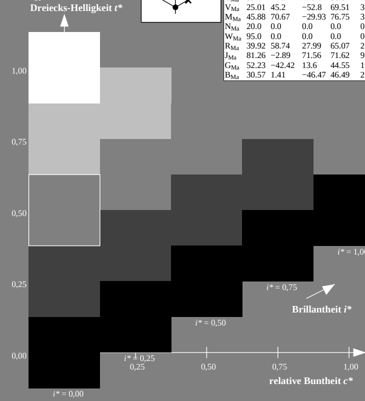

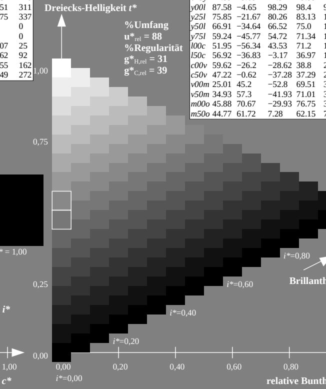

Ein und Ausgabe: Farbmetrisches Drucker-Reflektiv-System FRS12_95a für relativen CIELAB-Buntton $h^* = lab^*h^* = h_{ab}/360 = 0.899$ ***$u^*_d = b25r$***

Daten für jede Farbe:
lab*tch* **und** ***lab*icu****
Bunttontexte:
$u^*_d = v50m$ $u^*_e = b45r$
Kontrastreduzierungsfaktor:
$c_R = 0.9$
Dreiecks-Helligkeit *t**

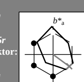

FRS12_95a; adaptierte CIELAB-Daten					
u^*_d	$L^*=L^*_a$	a^*_a	b^*_a	$C^*_{ab,a}$	$h^*_{ab,a}$
O_{Ma}	43.8	53.91	39.75	66.98	36
Y_{Ma}	87.58	−4.65	98.29	98.4	93
L_{Ma}	51.95	−56.34	43.53	71.2	142
C_{Ma}	59.62	−26.2	−28.62	38.8	228
V_{Ma}	25.01	45.2	−52.8	69.51	311
M_{Ma}	45.88	70.67	−29.93	76.75	337
N_{Ma}	20.0	0.0	0.0	0.0	0
W_{Ma}	95.0	0.0	0.0	0.0	0
R_{Ma}	39.92	58.74	27.99	65.07	25
J_{Ma}	81.26	−2.89	71.56	71.62	92
G_{Ma}	52.23	−42.42	13.6	44.55	162
B_{Ma}	30.57	1.41	−46.47	46.49	272

Daten für Maximalfarbe (Ma):
***$LAB^*LAB^*_{Ma}$*: 35 57 −42**
***$LAB^*LCH^*_{Ma}$*: 35 71 323**
***$lab^*olv^*_{Ma}$*: 0.5 0.0 1.0**
***$lab^*rgb^*_{Ma}$*: 0.92 0.0 1.0**
Dreiecks-Helligkeit *t**

%Umfang
$u^*_{rel} = 88$
%Regularität
$g^*_{H,rel} = 31$
$g^*_{C,rel} = 39$

FRS12_95a; adaptierte CIELAB-Daten						
u^*_d	$L^*=L^*_a$	a^*_a	b^*_a	$C^*_{ab,a}$	$h^*_{ab,a}$	u^*_e
o00y	43.8	53.91	39.75	66.98	36	*r16j*
o25y	52.46	42.34	51.32	66.53	50	*r37j*
o50y	61.53	30.2	63.46	70.28	65	*r58j*
o75y	72.39	15.68	77.97	79.53	79	*r79j*
y00l	87.58	−4.65	98.29	98.4	93	*j01g*
y25l	75.85	−21.67	80.26	83.13	105	*j18g*
y50l	66.91	−34.64	66.52	75.0	118	*j36g*
y75l	59.24	−45.77	54.72	71.34	130	*j53g*
l00c	51.95	−56.34	43.53	71.2	142	*j71g*
l50c	56.92	−36.83	−3.17	36.97	185	*g21b*
c00v	59.62	−26.2	−28.62	38.8	228	*g60b*
c50v	47.22	−0.62	−37.28	37.29	269	*g97b*
v00m	25.01	45.2	−52.8	69.51	311	*b34r*
v50m	34.93	57.3	−41.93	71.01	324	*b45r*
m00o	45.88	70.67	−29.93	76.75	337	*b57r*
m50o	44.77	61.72	7.28	62.15	7	*b83r*

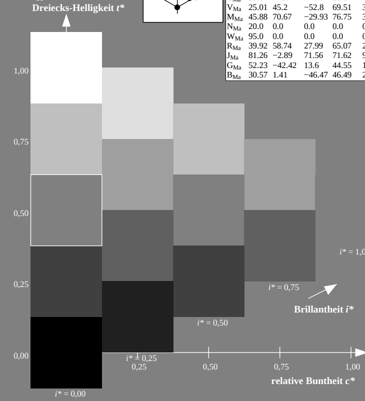

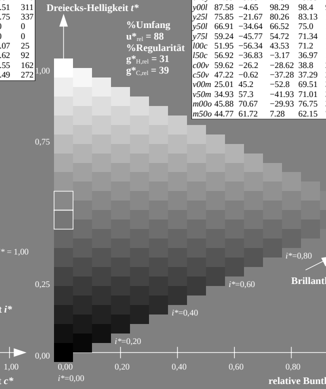

Ein und Ausgabe: Farbmetrisches Drucker-Reflektiv-System FRS12_95a für relativen CIELAB-Buntton $h^* = lab^*h^* = h_{ab}/360 = 0.936$ ***$u^*_d = b50r$***

Daten für jede Farbe:
lab*tch* **und** ***lab*icu****
Bunttontexte:
$u^*_d = m00o$ $u^*_e = b57r$
Kontrastreduzierungsfaktor:
$c_R = 0.9$
Dreiecks-Helligkeit *t**

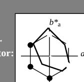

FRS12_95a; adaptierte CIELAB-Daten					
u^*_d	$L^*=L^*_a$	a^*_a	b^*_a	$C^*_{ab,a}$	$h^*_{ab,a}$
O_{Ma}	43.8	53.91	39.75	66.98	36
Y_{Ma}	87.58	−4.65	98.29	98.4	93
L_{Ma}	51.95	−56.34	43.53	71.2	142
C_{Ma}	59.62	−26.2	−28.62	38.8	228
V_{Ma}	25.01	45.2	−52.8	69.51	311
M_{Ma}	45.88	70.67	−29.93	76.75	337
N_{Ma}	20.0	0.0	0.0	0.0	0
W_{Ma}	95.0	0.0	0.0	0.0	0
R_{Ma}	39.92	58.74	27.99	65.07	25
J_{Ma}	81.26	−2.89	71.56	71.62	92
G_{Ma}	52.23	−42.42	13.6	44.55	162
B_{Ma}	30.57	1.41	−46.47	46.49	272

Daten für Maximalfarbe (Ma):
***$LAB^*LAB^*_{Ma}$*: 46 71 −30**
***$LAB^*LCH^*_{Ma}$*: 46 77 337**
***$lab^*olv^*_{Ma}$*: 1.0 0.0 1.0**
***$lab^*rgb^*_{Ma}$*: 1.0 0.0 0.85**
Dreiecks-Helligkeit *t**

%Umfang
$u^*_{rel} = 88$
%Regularität
$g^*_{H,rel} = 31$
$g^*_{C,rel} = 39$

FRS12_95a; adaptierte CIELAB-Daten						
u^*_d	$L^*=L^*_a$	a^*_a	b^*_a	$C^*_{ab,a}$	$h^*_{ab,a}$	u^*_e
o00y	43.8	53.91	39.75	66.98	36	*r16j*
o25y	52.46	42.34	51.32	66.53	50	*r37j*
o50y	61.53	30.2	63.46	70.28	65	*r58j*
o75y	72.39	15.68	77.97	79.53	79	*r79j*
y00l	87.58	−4.65	98.29	98.4	93	*j01g*
y25l	75.85	−21.67	80.26	83.13	105	*j18g*
y50l	66.91	−34.64	66.52	75.0	118	*j36g*
y75l	59.24	−45.77	54.72	71.34	130	*j53g*
l00c	51.95	−56.34	43.53	71.2	142	*j71g*
l50c	56.92	−36.83	−3.17	36.97	185	*g21b*
c00v	59.62	−26.2	−28.62	38.8	228	*g60b*
c50v	47.22	−0.62	−37.28	37.29	269	*g97b*
v00m	25.01	45.2	−52.8	69.51	311	*b34r*
v50m	34.93	57.3	−41.93	71.01	324	*b45r*
m00o	45.88	70.67	−29.93	76.75	337	*b57r*
m50o	44.77	61.72	7.28	62.15	7	*b83r*

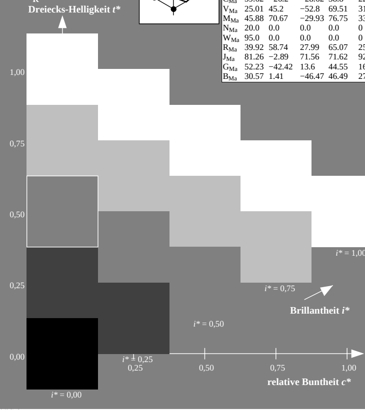

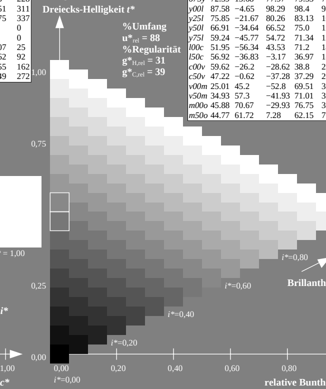

Ein und Ausgabe: Farbmetrisches Drucker-Reflektiv-System FRS12_95a für relativen CIELAB-Buntton $h^* = lab^*h^* = h_{ab}/360 = 0.019$ ***$u^*_d = b75r$***

Daten für jede Farbe:
lab*tch* **und** ***lab*icu****
Bunttontexte:
$u^*_d = m50o$ $u^*_e = b83r$
Kontrastreduzierungsfaktor:
$c_R = 0.9$
Dreiecks-Helligkeit *t**

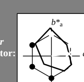

FRS12_95a; adaptierte CIELAB-Daten					
u^*_d	$L^*=L^*_a$	a^*_a	b^*_a	$C^*_{ab,a}$	$h^*_{ab,a}$
O_{Ma}	43.8	53.91	39.75	66.98	36
Y_{Ma}	87.58	−4.65	98.29	98.4	93
L_{Ma}	51.95	−56.34	43.53	71.2	142
C_{Ma}	59.62	−26.2	−28.62	38.8	228
V_{Ma}	25.01	45.2	−52.8	69.51	311
M_{Ma}	45.88	70.67	−29.93	76.75	337
N_{Ma}	20.0	0.0	0.0	0.0	0
W_{Ma}	95.0	0.0	0.0	0.0	0
R_{Ma}	39.92	58.74	27.99	65.07	25
J_{Ma}	81.26	−2.89	71.56	71.62	92
G_{Ma}	52.23	−42.42	13.6	44.55	162
B_{Ma}	30.57	1.41	−46.47	46.49	272

Daten für Maximalfarbe (Ma):
***$LAB^*LAB^*_{Ma}$*: 45 62 7**
***$LAB^*LCH^*_{Ma}$*: 45 62 6**
***$lab^*olv^*_{Ma}$*: 1.0 0.0 0.5**
***$lab^*rgb^*_{Ma}$*: 1.0 0.0 0.33**
Dreiecks-Helligkeit *t**

%Umfang
$u^*_{rel} = 88$
%Regularität
$g^*_{H,rel} = 31$
$g^*_{C,rel} = 39$

FRS12_95a; adaptierte CIELAB-Daten						
u^*_d	$L^*=L^*_a$	a^*_a	b^*_a	$C^*_{ab,a}$	$h^*_{ab,a}$	u^*_e
o00y	43.8	53.91	39.75	66.98	36	*r16j*
o25y	52.46	42.34	51.32	66.53	50	*r37j*
o50y	61.53	30.2	63.46	70.28	65	*r58j*
o75y	72.39	15.68	77.97	79.53	79	*r79j*
y00l	87.58	−4.65	98.29	98.4	93	*j01g*
y25l	75.85	−21.67	80.26	83.13	105	*j18g*
y50l	66.91	−34.64	66.52	75.0	118	*j36g*
y75l	59.24	−45.77	54.72	71.34	130	*j53g*
l00c	51.95	−56.34	43.53	71.2	142	*j71g*
l50c	56.92	−36.83	−3.17	36.97	185	*g21b*
c00v	59.62	−26.2	−28.62	38.8	228	*g60b*
c50v	47.22	−0.62	−37.28	37.29	269	*g97b*
v00m	25.01	45.2	−52.8	69.51	311	*b34r*
v50m	34.93	57.3	−41.93	71.01	324	*b45r*
m00o	45.88	70.67	−29.93	76.75	337	*b57r*
m50o	44.77	61.72	7.28	62.15	7	*b83r*

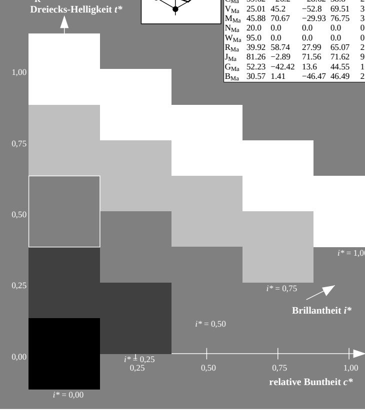

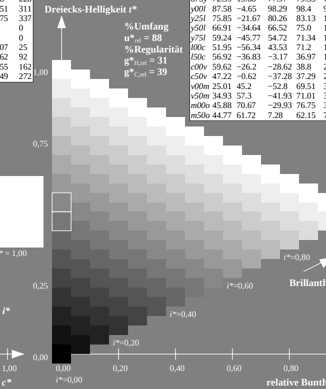

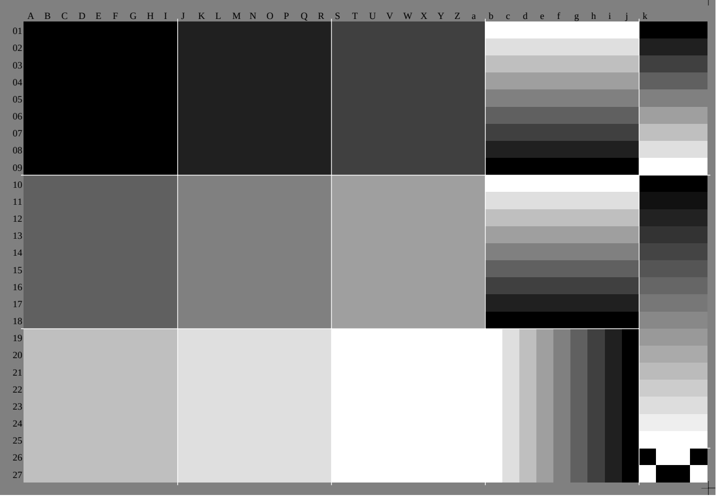

Ein und Ausgabe: Farbmetrisches Drucker-Reflektiv-System FRS12_95a für relativen CIELAB-Buntton $h^* = lab^*h^* = h_{ab}/360 = 0.395$ $u^*_d = g00b$

Daten für jede Farbe:
*lab*ich** und *lab*icu**
Buntontexte:
$u^*_d = l00c$ $u^*_e = j71g$
Kontrastreduzierungsfaktor:
$c_R = 0.9$
Dreiecks-Helligkeit t^*

Daten für Maximalfarbe (Ma):
$LAB^*LAB^*_{Ma}$: 52 −56 44
$LAB^*LCH^*_{Ma}$: 52 71 142
$lab^*olv^*_{Ma}$: 0.0 1.0 0.0
$lab^*rgb^*_{Ma}$: 0.28 1.0 0.0
Dreiecks-Helligkeit t^*

FRS12_95a; adaptierte CIELAB-Daten

	L^*_{ab}	a^*_{ab}	b^*_{ab}	$C^*_{ab,a}$	$h^*_{ab,a}$
O_{Mu}	43.8	53.91	39.75	66.98	36
Y_{Mu}	87.58	−4.65	98.29	98.4	93
L^*_{Mu}	51.95	−56.34	43.53	71.2	142
C_{Mu}	59.62	−26.2	−28.62	38.8	228
V_{Mu}	25.01	45.2	−52.8	69.51	311
M_{Mu}	45.88	70.67	−29.93	76.75	337
N_{Mu}	20.0	0.0	0.0	0.0	0
W_{Mu}	95.0	0.0	0.0	0.0	0
R_{Mu}	39.92	58.74	27.99	65.07	25
I_{Mu}	81.26	−2.89	71.56	71.62	92
G_{Mu}	52.23	−42.42	13.6	44.55	162
B_{Mu}	30.57	1.41	−46.47	46.49	272

	L^*_{ab}	a^*_{ab}	b^*_{ab}	$C^*_{ab,a}$	$h^*_{ab,a}$	u^*_e
e00y	43.8	53.91	39.75	66.98	36	*r16j*
o25y	52.46	42.34	51.32	66.53	50	*r37j*
o50y	61.53	30.2	63.46	70.28	65	*r58j*
o75y	72.39	15.68	77.97	79.53	79	*r79j*
y00t	87.58	−4.65	98.29	98.4	93	*j01g*
y25t	75.85	−21.67	80.26	83.13	105	*j18g*
y50t	66.91	−34.64	66.52	75.0	118	*j36g*
y75t	59.24	−45.77	54.72	71.34	130	*j53g*
l00c	51.95	−56.34	43.53	71.2	142	*j71g*
l50c	56.92	−36.83	−3.17	36.97	185	*g21b*
c00v	59.62	−26.2	−28.62	38.8	228	*g60b*
c50v	47.22	−0.62	−37.28	37.29	269	*g97b*
v00m	25.01	45.2	−52.8	69.51	311	*b34r*
v50m	34.93	57.3	−41.93	71.01	324	*b45r*
m00o	45.88	70.67	−29.93	76.75	337	*b57r*
m50o	44.77	61.72	7.28	62.15	7	*b83r*

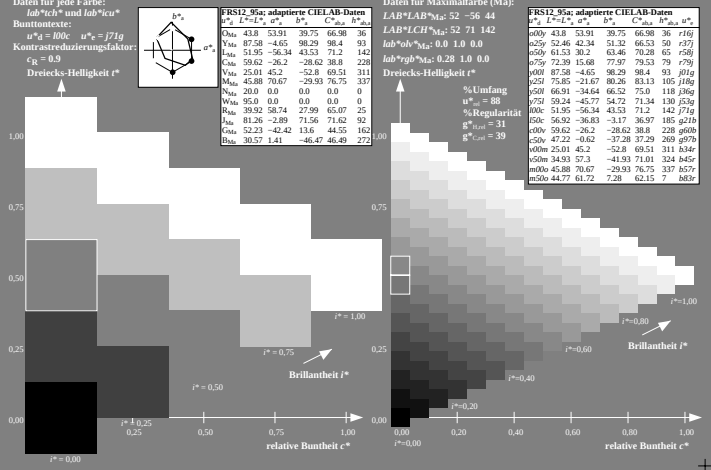

Ein und Ausgabe: Farbmetrisches Drucker-Reflektiv-System FRS12_95a für relativen CIELAB-Buntton $h^* = lab^*h^* = h_{ab}/360 = 0.514$ $u^*_d = g25b$

Daten für jede Farbe:
*lab*ich** und *lab*icu**
Buntontexte:
$u^*_d = l50c$ $u^*_e = g21b$
Kontrastreduzierungsfaktor:
$c_R = 0.9$
Dreiecks-Helligkeit t^*

Daten für Maximalfarbe (Ma):
$LAB^*LAB^*_{Ma}$: 57 −37 −3
$LAB^*LCH^*_{Ma}$: 57 37 184
$lab^*olv^*_{Ma}$: 0.0 1.0 0.5
$lab^*rgb^*_{Ma}$: 0.0 1.0 0.41
Dreiecks-Helligkeit t^*

FRS12_95a; adaptierte CIELAB-Daten

	L^*_{ab}	a^*_{ab}	b^*_{ab}	$C^*_{ab,a}$	$h^*_{ab,a}$
O_{Mu}	43.8	53.91	39.75	66.98	36
Y_{Mu}	87.58	−4.65	98.29	98.4	93
L^*_{Mu}	51.95	−56.34	43.53	71.2	142
C_{Mu}	59.62	−26.2	−28.62	38.8	228
V_{Mu}	25.01	45.2	−52.8	69.51	311
M_{Mu}	45.88	70.67	−29.93	76.75	337
N_{Mu}	20.0	0.0	0.0	0.0	0
W_{Mu}	95.0	0.0	0.0	0.0	0
R_{Mu}	39.92	58.74	27.99	65.07	25
I_{Mu}	81.26	−2.89	71.56	71.62	92
G_{Mu}	52.23	−42.42	13.6	44.55	162
B_{Mu}	30.57	1.41	−46.47	46.49	272

	L^*_{ab}	a^*_{ab}	b^*_{ab}	$C^*_{ab,a}$	$h^*_{ab,a}$	u^*_e
e00y	43.8	53.91	39.75	66.98	36	*r16j*
o25y	52.46	42.34	51.32	66.53	50	*r37j*
o50y	61.53	30.2	63.46	70.28	65	*r58j*
o75y	72.39	15.68	77.97	79.53	79	*r79j*
y00t	87.58	−4.65	98.29	98.4	93	*j01g*
y25t	75.85	−21.67	80.26	83.13	105	*j18g*
y50t	66.91	−34.64	66.52	75.0	118	*j36g*
y75t	59.24	−45.77	54.72	71.34	130	*j53g*
l00c	51.95	−56.34	43.53	71.2	142	*j71g*
l50c	56.92	−36.83	−3.17	36.97	185	*g21b*
c00v	59.62	−26.2	−28.62	38.8	228	*g60b*
c50v	47.22	−0.62	−37.28	37.29	269	*g97b*
v00m	25.01	45.2	−52.8	69.51	311	*b34r*
v50m	34.93	57.3	−41.93	71.01	324	*b45r*
m00o	45.88	70.67	−29.93	76.75	337	*b57r*
m50o	44.77	61.72	7.28	62.15	7	*b83r*

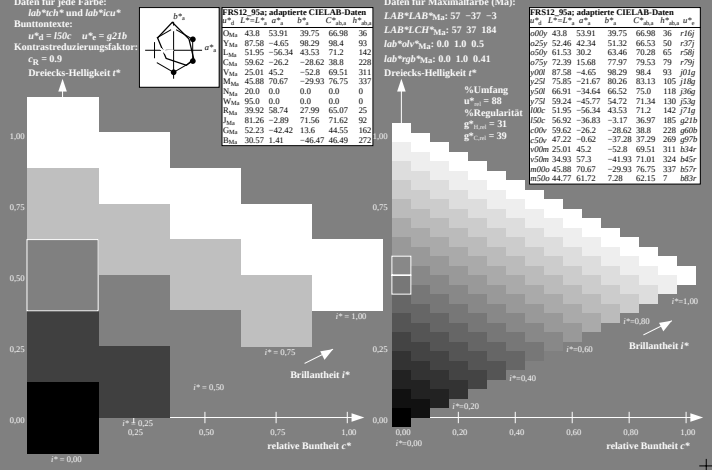

Ein und Ausgabe: Farbmetrisches Drucker-Reflektiv-System FRS12_95a für relativen CIELAB-Buntton $h^* = lab^*h^* = h_{ab}/360 = 0.632$ $u^*_d = g50b$

Daten für jede Farbe:
*lab*ich** und *lab*icu**
Buntontexte:
$u^*_d = c00v$ $u^*_e = g60b$
Kontrastreduzierungsfaktor:
$c_R = 0.9$
Dreiecks-Helligkeit t^*

Daten für Maximalfarbe (Ma):
$LAB^*LAB^*_{Ma}$: 60 −26 −29
$LAB^*LCH^*_{Ma}$: 60 39 227
$lab^*olv^*_{Ma}$: 0.0 1.0 1.0
$lab^*rgb^*_{Ma}$: 0.0 0.81 1.0
Dreiecks-Helligkeit t^*

FRS12_95a; adaptierte CIELAB-Daten

	L^*_{ab}	a^*_{ab}	b^*_{ab}	$C^*_{ab,a}$	$h^*_{ab,a}$
O_{Mu}	43.8	53.91	39.75	66.98	36
Y_{Mu}	87.58	−4.65	98.29	98.4	93
L^*_{Mu}	51.95	−56.34	43.53	71.2	142
C_{Mu}	59.62	−26.2	−28.62	38.8	228
V_{Mu}	25.01	45.2	−52.8	69.51	311
M_{Mu}	45.88	70.67	−29.93	76.75	337
N_{Mu}	20.0	0.0	0.0	0.0	0
W_{Mu}	95.0	0.0	0.0	0.0	0
R_{Mu}	39.92	58.74	27.99	65.07	25
I_{Mu}	81.26	−2.89	71.56	71.62	92
G_{Mu}	52.23	−42.42	13.6	44.55	162
B_{Mu}	30.57	1.41	−46.47	46.49	272

	L^*_{ab}	a^*_{ab}	b^*_{ab}	$C^*_{ab,a}$	$h^*_{ab,a}$	u^*_e
e00y	43.8	53.91	39.75	66.98	36	*r16j*
o25y	52.46	42.34	51.32	66.53	50	*r37j*
o50y	61.53	30.2	63.46	70.28	65	*r58j*
o75y	72.39	15.68	77.97	79.53	79	*r79j*
y00t	87.58	−4.65	98.29	98.4	93	*j01g*
y25t	75.85	−21.67	80.26	83.13	105	*j18g*
y50t	66.91	−34.64	66.52	75.0	118	*j36g*
y75t	59.24	−45.77	54.72	71.34	130	*j53g*
l00c	51.95	−56.34	43.53	71.2	142	*j71g*
l50c	56.92	−36.83	−3.17	36.97	185	*g21b*
c00v	59.62	−26.2	−28.62	38.8	228	*g60b*
c50v	47.22	−0.62	−37.28	37.29	269	*g97b*
v00m	25.01	45.2	−52.8	69.51	311	*b34r*
v50m	34.93	57.3	−41.93	71.01	324	*b45r*
m00o	45.88	70.67	−29.93	76.75	337	*b57r*
m50o	44.77	61.72	7.28	62.15	7	*b83r*

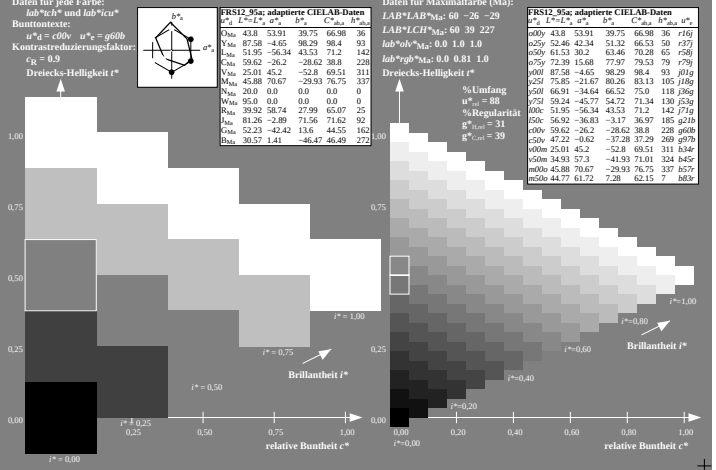

Ein und Ausgabe: Farbmetrisches Drucker-Reflektiv-System FRS12_95a für relativen CIELAB-Buntton $h^* = lab^*h^* = h_{ab}/360 = 0.747$ $u^*_d = g75b$

Daten für jede Farbe:
*lab*ich** und *lab*icu**
Buntontexte:
$u^*_d = c50v$ $u^*_e = g97b$
Kontrastreduzierungsfaktor:
$c_R = 0.9$
Dreiecks-Helligkeit t^*

Daten für Maximalfarbe (Ma):
$LAB^*LAB^*_{Ma}$: 47 −1 −37
$LAB^*LCH^*_{Ma}$: 47 37 269
$lab^*olv^*_{Ma}$: 0.0 0.5 1.0
$lab^*rgb^*_{Ma}$: 0.0 0.05 1.0
Dreiecks-Helligkeit t^*

FRS12_95a; adaptierte CIELAB-Daten

	L^*_{ab}	a^*_{ab}	b^*_{ab}	$C^*_{ab,a}$	$h^*_{ab,a}$
O_{Mu}	43.8	53.91	39.75	66.98	36
Y_{Mu}	87.58	−4.65	98.29	98.4	93
L^*_{Mu}	51.95	−56.34	43.53	71.2	142
C_{Mu}	59.62	−26.2	−28.62	38.8	228
V_{Mu}	25.01	45.2	−52.8	69.51	311
M_{Mu}	45.88	70.67	−29.93	76.75	337
N_{Mu}	20.0	0.0	0.0	0.0	0
W_{Mu}	95.0	0.0	0.0	0.0	0
R_{Mu}	39.92	58.74	27.99	65.07	25
I_{Mu}	81.26	−2.89	71.56	71.62	92
G_{Mu}	52.23	−42.42	13.6	44.55	162
B_{Mu}	30.57	1.41	−46.47	46.49	272

	L^*_{ab}	a^*_{ab}	b^*_{ab}	$C^*_{ab,a}$	$h^*_{ab,a}$	u^*_e
e00y	43.8	53.91	39.75	66.98	36	*r16j*
o25y	52.46	42.34	51.32	66.53	50	*r37j*
o50y	61.53	30.2	63.46	70.28	65	*r58j*
o75y	72.39	15.68	77.97	79.53	79	*r79j*
y00t	87.58	−4.65	98.29	98.4	93	*j01g*
y25t	75.85	−21.67	80.26	83.13	105	*j18g*
y50t	66.91	−34.64	66.52	75.0	118	*j36g*
y75t	59.24	−45.77	54.72	71.34	130	*j53g*
l00c	51.95	−56.34	43.53	71.2	142	*j71g*
l50c	56.92	−36.83	−3.17	36.97	185	*g21b*
c00v	59.62	−26.2	−28.62	38.8	228	*g60b*
c50v	47.22	−0.62	−37.28	37.29	269	*g97b*
v00m	25.01	45.2	−52.8	69.51	311	*b34r*
v50m	34.93	57.3	−41.93	71.01	324	*b45r*
m00o	45.88	70.67	−29.93	76.75	337	*b57r*
m50o	44.77	61.72	7.28	62.15	7	*b83r*

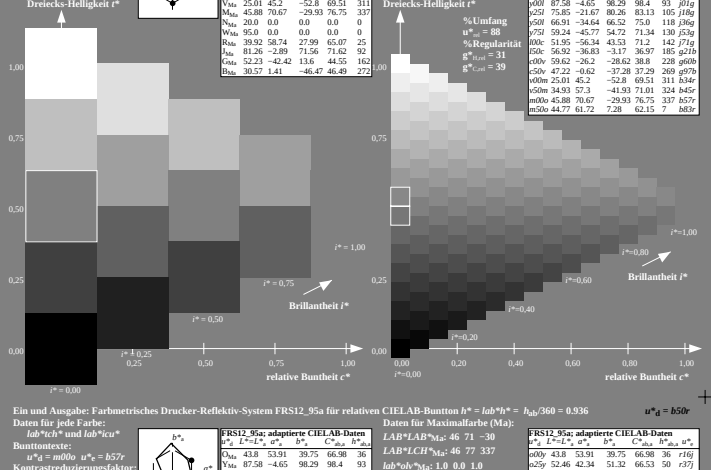

Ein und Ausgabe: Farbmetrisches Drucker-Reflektiv-System FRS12_95a für relativen CIELAB-Buntton $h^* = lab^*h^* = h_{ab}/360 = 0.863$ $u^*_d = b00r$

Daten für jede Farbe:
*lab*ich** und *lab*icu**
Buntontexte:
$u^*_d = v00m$ $u^*_e = b34r$
Kontrastreduzierungsfaktor:
$c_R = 0.9$
Dreiecks-Helligkeit t^*

Daten für Maximalfarbe (Ma):
$LAB^*LAB^*_{Ma}$: 25 45 −53
$LAB^*LCH^*_{Ma}$: 25 70 310
$lab^*olv^*_{Ma}$: 0.0 0.0 1.0
$lab^*rgb^*_{Ma}$: 0.68 0.0 1.0
Dreiecks-Helligkeit t^*

FRS12_95a; adaptierte CIELAB-Daten

	L^*_{ab}	a^*_{ab}	b^*_{ab}	$C^*_{ab,a}$	$h^*_{ab,a}$
O_{Mu}	43.8	53.91	39.75	66.98	36
Y_{Mu}	87.58	−4.65	98.29	98.4	93
L^*_{Mu}	51.95	−56.34	43.53	71.2	142
C_{Mu}	59.62	−26.2	−28.62	38.8	228
V_{Mu}	25.01	45.2	−52.8	69.51	311
M_{Mu}	45.88	70.67	−29.93	76.75	337
N_{Mu}	20.0	0.0	0.0	0.0	0
W_{Mu}	95.0	0.0	0.0	0.0	0
R_{Mu}	39.92	58.74	27.99	65.07	25
I_{Mu}	81.26	−2.89	71.56	71.62	92
G_{Mu}	52.23	−42.42	13.6	44.55	162
B_{Mu}	30.57	1.41	−46.47	46.49	272

	L^*_{ab}	a^*_{ab}	b^*_{ab}	$C^*_{ab,a}$	$h^*_{ab,a}$	u^*_e
e00y	43.8	53.91	39.75	66.98	36	*r16j*
o25y	52.46	42.34	51.32	66.53	50	*r37j*
o50y	61.53	30.2	63.46	70.28	65	*r58j*
o75y	72.39	15.68	77.97	79.53	79	*r79j*
y00t	87.58	−4.65	98.29	98.4	93	*j01g*
y25t	75.85	−21.67	80.26	83.13	105	*j18g*
y50t	66.91	−34.64	66.52	75.0	118	*j36g*
y75t	59.24	−45.77	54.72	71.34	130	*j53g*
l00c	51.95	−56.34	43.53	71.2	142	*j71g*
l50c	56.92	−36.83	−3.17	36.97	185	*g21b*
c00v	59.62	−26.2	−28.62	38.8	228	*g60b*
c50v	47.22	−0.62	−37.28	37.29	269	*g97b*
v00m	25.01	45.2	−52.8	69.51	311	*b34r*
v50m	34.93	57.3	−41.93	71.01	324	*b45r*
m00o	45.88	70.67	−29.93	76.75	337	*b57r*
m50o	44.77	61.72	7.28	62.15	7	*b83r*

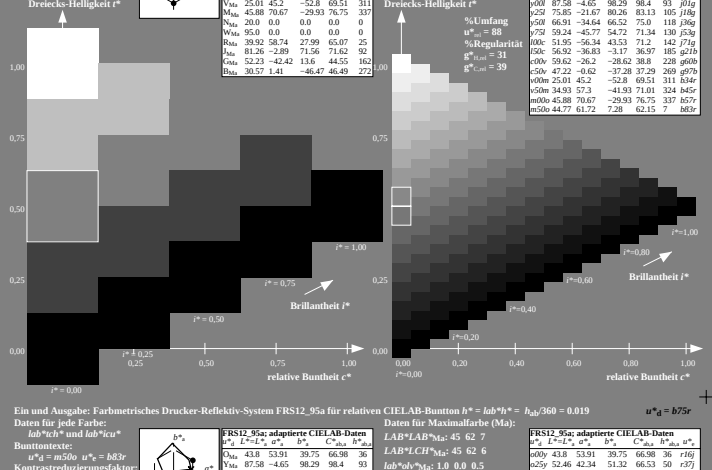

Ein und Ausgabe: Farbmetrisches Drucker-Reflektiv-System FRS12_95a für relativen CIELAB-Buntton $h^* = lab^*h^* = h_{ab}/360 = 0.899$ $u^*_d = b25r$

Daten für jede Farbe:
*lab*ich** und *lab*icu**
Buntontexte:
$u^*_d = v50m$ $u^*_e = b45r$
Kontrastreduzierungsfaktor:
$c_R = 0.9$
Dreiecks-Helligkeit t^*

Daten für Maximalfarbe (Ma):
$LAB^*LAB^*_{Ma}$: 35 57 −42
$LAB^*LCH^*_{Ma}$: 35 71 323
$lab^*olv^*_{Ma}$: 0.5 0.0 1.0
$lab^*rgb^*_{Ma}$: 0.92 0.0 1.0
Dreiecks-Helligkeit t^*

FRS12_95a; adaptierte CIELAB-Daten

	L^*_{ab}	a^*_{ab}	b^*_{ab}	$C^*_{ab,a}$	$h^*_{ab,a}$
O_{Mu}	43.8	53.91	39.75	66.98	36
Y_{Mu}	87.58	−4.65	98.29	98.4	93
L^*_{Mu}	51.95	−56.34	43.53	71.2	142
C_{Mu}	59.62	−26.2	−28.62	38.8	228
V_{Mu}	25.01	45.2	−52.8	69.51	311
M_{Mu}	45.88	70.67	−29.93	76.75	337
N_{Mu}	20.0	0.0	0.0	0.0	0
W_{Mu}	95.0	0.0	0.0	0.0	0
R_{Mu}	39.92	58.74	27.99	65.07	25
I_{Mu}	81.26	−2.89	71.56	71.62	92
G_{Mu}	52.23	−42.42	13.6	44.55	162
B_{Mu}	30.57	1.41	−46.47	46.49	272

	L^*_{ab}	a^*_{ab}	b^*_{ab}	$C^*_{ab,a}$	$h^*_{ab,a}$	u^*_e
e00y	43.8	53.91	39.75	66.98	36	*r16j*
o25y	52.46	42.34	51.32	66.53	50	*r37j*
o50y	61.53	30.2	63.46	70.28	65	*r58j*
o75y	72.39	15.68	77.97	79.53	79	*r79j*
y00t	87.58	−4.65	98.29	98.4	93	*j01g*
y25t	75.85	−21.67	80.26	83.13	105	*j18g*
y50t	66.91	−34.64	66.52	75.0	118	*j36g*
y75t	59.24	−45.77	54.72	71.34	130	*j53g*
l00c	51.95	−56.34	43.53	71.2	142	*j71g*
l50c	56.92	−36.83	−3.17	36.97	185	*g21b*
c00v	59.62	−26.2	−28.62	38.8	228	*g60b*
c50v	47.22	−0.62	−37.28	37.29	269	*g97b*
v00m	25.01	45.2	−52.8	69.51	311	*b34r*
v50m	34.93	57.3	−41.93	71.01	324	*b45r*
m00o	45.88	70.67	−29.93	76.75	337	*b57r*
m50o	44.77	61.72	7.28	62.15	7	*b83r*

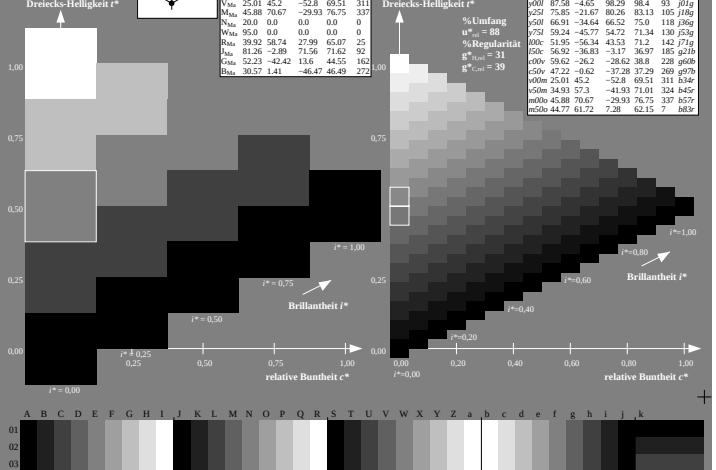

Ein und Ausgabe: Farbmetrisches Drucker-Reflektiv-System FRS12_95a für relativen CIELAB-Buntton $h^* = lab^*h^* = h_{ab}/360 = 0.936$ $u^*_d = b50r$

Daten für jede Farbe:
*lab*ich** und *lab*icu**
Buntontexte:
$u^*_d = m00o$ $u^*_e = b57r$
Kontrastreduzierungsfaktor:
$c_R = 0.9$
Dreiecks-Helligkeit t^*

Daten für Maximalfarbe (Ma):
$LAB^*LAB^*_{Ma}$: 46 71 −30
$LAB^*LCH^*_{Ma}$: 46 77 337
$lab^*olv^*_{Ma}$: 1.0 0.0 1.0
$lab^*rgb^*_{Ma}$: 1.0 0.0 0.85
Dreiecks-Helligkeit t^*

FRS12_95a; adaptierte CIELAB-Daten

	L^*_{ab}	a^*_{ab}	b^*_{ab}	$C^*_{ab,a}$	$h^*_{ab,a}$
O_{Mu}	43.8	53.91	39.75	66.98	36
Y_{Mu}	87.58	−4.65	98.29	98.4	93
L^*_{Mu}	51.95	−56.34	43.53	71.2	142
C_{Mu}	59.62	−26.2	−28.62	38.8	228
V_{Mu}	25.01	45.2	−52.8	69.51	311
M_{Mu}	45.88	70.67	−29.93	76.75	337
N_{Mu}	20.0	0.0	0.0	0.0	0
W_{Mu}	95.0	0.0	0.0	0.0	0
R_{Mu}	39.92	58.74	27.99	65.07	25
I_{Mu}	81.26	−2.89	71.56	71.62	92
G_{Mu}	52.23	−42.42	13.6	44.55	162
B_{Mu}	30.57	1.41	−46.47	46.49	272

	L^*_{ab}	a^*_{ab}	b^*_{ab}	$C^*_{ab,a}$	$h^*_{ab,a}$	u^*_e
e00y	43.8	53.91	39.75	66.98	36	*r16j*
o25y	52.46	42.34	51.32	66.53	50	*r37j*
o50y	61.53	30.2	63.46	70.28	65	*r58j*
o75y	72.39	15.68	77.97	79.53	79	*r79j*
y00t	87.58	−4.65	98.29	98.4	93	*j01g*
y25t	75.85	−21.67	80.26	83.13	105	*j18g*
y50t	66.91	−34.64	66.52	75.0	118	*j36g*
y75t	59.24	−45.77	54.72	71.34	130	*j53g*
l00c	51.95	−56.34	43.53	71.2	142	*j71g*
l50c	56.92	−36.83	−3.17	36.97	185	*g21b*
c00v	59.62	−26.2	−28.62	38.8	228	*g60b*
c50v	47.22	−0.62	−37.28	37.29	269	*g97b*
v00m	25.01	45.2	−52.8	69.51	311	*b34r*
v50m	34.93	57.3	−41.93	71.01	324	*b45r*
m00o	45.88	70.67	−29.93	76.75	337	*b57r*
m50o	44.77	61.72	7.28	62.15	7	*b83r*

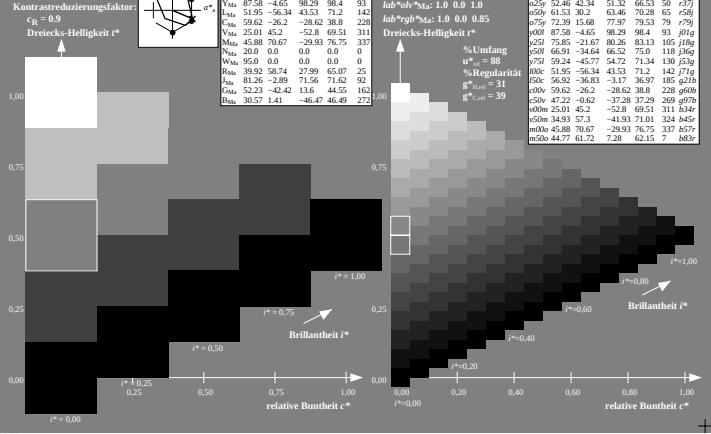

Ein und Ausgabe: Farbmetrisches Drucker-Reflektiv-System FRS12_95a für relativen CIELAB-Buntton $h^* = lab^*h^* = h_{ab}/360 = 0.019$ $u^*_d = b75r$

Daten für jede Farbe:
*lab*ich** und *lab*icu**
Buntontexte:
$u^*_d = m50o$ $u^*_e = b83r$
Kontrastreduzierungsfaktor:
$c_R = 0.9$
Dreiecks-Helligkeit t^*

Daten für Maximalfarbe (Ma):
$LAB^*LAB^*_{Ma}$: 45 62 7
$LAB^*LCH^*_{Ma}$: 45 62 6
$lab^*olv^*_{Ma}$: 1.0 0.0 0.5
$lab^*rgb^*_{Ma}$: 1.0 0.0 0.33
Dreiecks-Helligkeit t^*

FRS12_95a; adaptierte CIELAB-Daten

	L^*_{ab}	a^*_{ab}	b^*_{ab}	$C^*_{ab,a}$	$h^*_{ab,a}$
O_{Mu}	43.8	53.91	39.75	66.98	36
Y_{Mu}	87.58	−4.65	98.29	98.4	93
L^*_{Mu}	51.95	−56.34	43.53	71.2	142
C_{Mu}	59.62	−26.2	−28.62	38.8	228
V_{Mu}	25.01	45.2	−52.8	69.51	311
M_{Mu}	45.88	70.67	−29.93	76.75	337
N_{Mu}	20.0	0.0	0.0	0.0	0
W_{Mu}	95.0	0.0	0.0	0.0	0
R_{Mu}	39.92	58.74	27.99	65.07	25
I_{Mu}	81.26	−2.89	71.56	71.62	92
G_{Mu}	52.23	−42.42	13.6	44.55	162
B_{Mu}	30.57	1.41	−46.47	46.49	272

	L^*_{ab}	a^*_{ab}	b^*_{ab}	$C^*_{ab,a}$	$h^*_{ab,a}$	u^*_e
e00y	43.8	53.91	39.75	66.98	36	*r16j*
o25y	52.46	42.34	51.32	66.53	50	*r37j*
o50y	61.53	30.2	63.46	70.28	65	*r58j*
o75y	72.39	15.68	77.97	79.53	79	*r79j*
y00t	87.58	−4.65	98.29	98.4	93	*j01g*
y25t	75.85	−21.67	80.26	83.13	105	*j18g*
y50t	66.91	−34.64	66.52	75.0	118	*j36g*
y75t	59.24	−45.77	54.72	71.34	130	*j53g*
l00c	51.95	−56.34	43.53	71.2	142	*j71g*
l50c	56.92	−36.83	−3.17	36.97	185	*g21b*
c00v	59.62	−26.2	−28.62	38.8	228	*g60b*
c50v	47.22	−0.62	−37.28	37.29	269	*g97b*
v00m	25.01	45.2	−52.8	69.51	311	*b34r*
v50m	34.93	57.3	−41.93	71.01	324	*b45r*
m00o	45.88	70.67	−29.93	76.75	337	*b57r*
m50o	44.77	61.72	7.28	62.15	7	*b83r*

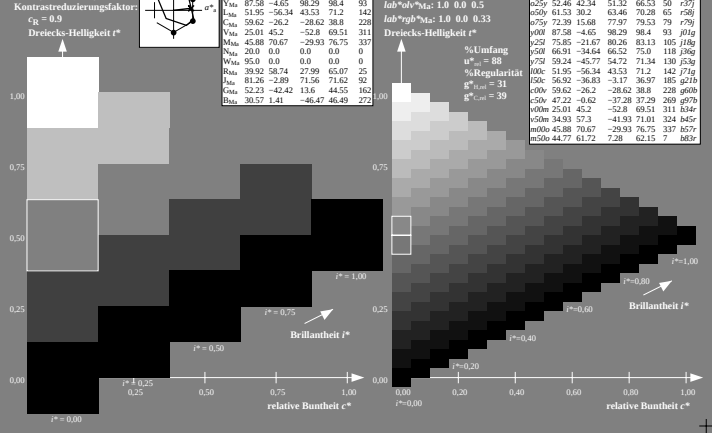

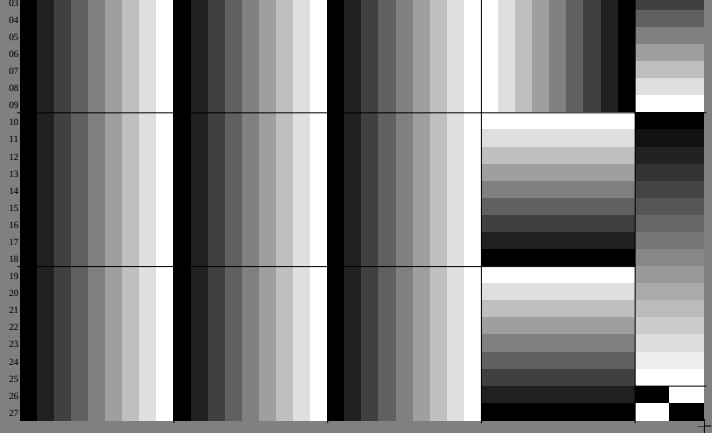

Ein und Ausgabe: Farbmetrisches Drucker-Reflektiv-System FRS12_95a für relativen CIELAB-Buntton $h^* = lab^*h^* = h_{ab}/360 = 0.395$ — $u^*_d = g00b$

Daten für jede Farbe:
*lab*tch** und *lab*icu**
Bunttontexte:
$u^*_d = l00c$ $u^*_e = j71g$
Kontrastreduzierungsfaktor:
$c_R = 0.9$

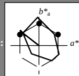

FRS12_95a; adaptierte CIELAB-Daten

u^*_d	$L^*=L^*_a$	a^*_a	b^*_a	$C^*_{ab,a}$	$h^*_{ab,a}$
O_{Ma}	43.8	53.91	39.75	66.98	36
Y_{Ma}	87.58	−4.65	98.29	98.4	93
L_{Ma}	51.95	−56.34	43.53	71.2	142
C_{Ma}	59.62	−26.2	−28.62	38.8	228
V_{Ma}	25.01	45.2	−52.8	69.51	311
M_{Ma}	45.88	70.67	−29.93	76.75	337
N_{Ma}	20.0	0.0	0.0	0.0	0
W_{Ma}	95.0	0.0	0.0	0.0	0
R_{Ma}	39.92	58.74	27.99	65.07	25
J_{Ma}	81.26	−2.89	71.56	71.62	92
G_{Ma}	52.23	−42.42	13.6	44.55	162
B_{Ma}	30.57	1.41	−46.47	46.49	272

Dreiecks-Helligkeit t^*

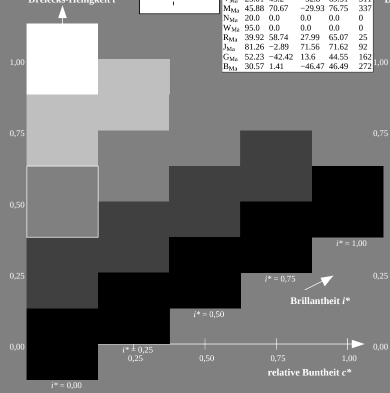

Daten für Maximalfarbe (Ma):
*LAB*LAB**$_{Ma}$: 52 −56 44
*LAB*LCH**$_{Ma}$: 52 71 142
*lab*olv**$_{Ma}$: 0.0 1.0 0.0
*lab*rgb**$_{Ma}$: 0.28 1.0 0.0
Dreiecks-Helligkeit t^*

%Umfang
$u^*_{rel} = 88$
%Regularität
$g^*_{H,rel} = 31$
$g^*_{C,rel} = 39$

FRS12_95a; adaptierte CIELAB-Daten

u^*_d	$L^*=L^*_a$	a^*_a	b^*_a	$C^*_{ab,a}$	$h^*_{ab,a}$	u^*_e
o00y	43.8	53.91	39.75	66.98	36	r16j
o25y	52.46	42.34	51.32	66.53	50	r37j
o50y	61.53	30.2	63.46	70.28	65	r58j
o75y	72.39	15.68	77.97	79.53	79	r79j
y00l	87.58	−4.65	98.29	98.4	93	j01g
y25l	75.85	−21.67	80.26	83.13	105	j18g
y50l	66.91	−34.64	66.52	75.0	118	j36g
y75l	59.24	−45.77	54.72	71.34	130	j53g
l00c	51.95	−56.34	43.53	71.2	142	j71g
l50c	56.92	−36.83	−3.17	36.97	185	g21b
c00v	59.62	−26.2	−28.62	38.8	228	g60b
c50v	47.22	−0.62	−37.28	37.29	269	g97b
v00m	25.01	45.2	−52.8	69.51	311	b34r
v50m	34.93	57.3	−41.93	71.01	324	b45r
m00o	45.88	70.67	−29.93	76.75	337	b57r
m50o	44.77	61.72	7.28	62.15	7	b83r

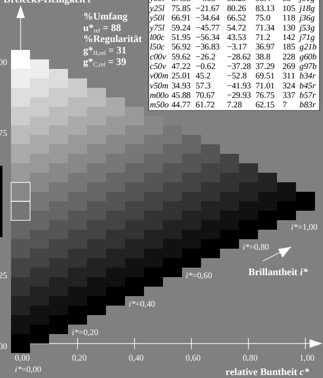

Ein und Ausgabe: Farbmetrisches Drucker-Reflektiv-System FRS12_95a für relativen CIELAB-Buntton $h^* = lab^*h^* = h_{ab}/360 = 0.514$ — $u^*_d = g25b$

Daten für jede Farbe:
*lab*tch** und *lab*icu**
Bunttontexte:
$u^*_d = l50c$ $u^*_e = g21b$
Kontrastreduzierungsfaktor:
$c_R = 0.9$

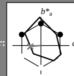

FRS12_95a; adaptierte CIELAB-Daten

u^*_d	$L^*=L^*_a$	a^*_a	b^*_a	$C^*_{ab,a}$	$h^*_{ab,a}$
O_{Ma}	43.8	53.91	39.75	66.98	36
Y_{Ma}	87.58	−4.65	98.29	98.4	93
L_{Ma}	51.95	−56.34	43.53	71.2	142
C_{Ma}	59.62	−26.2	−28.62	38.8	228
V_{Ma}	25.01	45.2	−52.8	69.51	311
M_{Ma}	45.88	70.67	−29.93	76.75	337
N_{Ma}	20.0	0.0	0.0	0.0	0
W_{Ma}	95.0	0.0	0.0	0.0	0
R_{Ma}	39.92	58.74	27.99	65.07	25
J_{Ma}	81.26	−2.89	71.56	71.62	92
G_{Ma}	52.23	−42.42	13.6	44.55	162
B_{Ma}	30.57	1.41	−46.47	46.49	272

Dreiecks-Helligkeit t^*

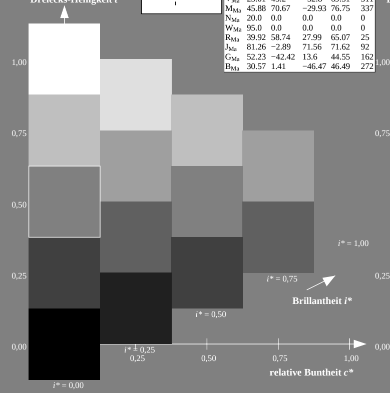

Daten für Maximalfarbe (Ma):
*LAB*LAB**$_{Ma}$: 57 −37 −3
*LAB*LCH**$_{Ma}$: 57 37 184
*lab*olv**$_{Ma}$: 0.0 1.0 0.5
*lab*rgb**$_{Ma}$: 0.0 1.0 0.41
Dreiecks-Helligkeit t^*

%Umfang
$u^*_{rel} = 88$
%Regularität
$g^*_{H,rel} = 31$
$g^*_{C,rel} = 39$

FRS12_95a; adaptierte CIELAB-Daten

u^*_d	$L^*=L^*_a$	a^*_a	b^*_a	$C^*_{ab,a}$	$h^*_{ab,a}$	u^*_e
o00y	43.8	53.91	39.75	66.98	36	r16j
o25y	52.46	42.34	51.32	66.53	50	r37j
o50y	61.53	30.2	63.46	70.28	65	r58j
o75y	72.39	15.68	77.97	79.53	79	r79j
y00l	87.58	−4.65	98.29	98.4	93	j01g
y25l	75.85	−21.67	80.26	83.13	105	j18g
y50l	66.91	−34.64	66.52	75.0	118	j36g
y75l	59.24	−45.77	54.72	71.34	130	j53g
l00c	51.95	−56.34	43.53	71.2	142	j71g
l50c	56.92	−36.83	−3.17	36.97	185	g21b
c00v	59.62	−26.2	−28.62	38.8	228	g60b
c50v	47.22	−0.62	−37.28	37.29	269	g97b
v00m	25.01	45.2	−52.8	69.51	311	b34r
v50m	34.93	57.3	−41.93	71.01	324	b45r
m00o	45.88	70.67	−29.93	76.75	337	b57r
m50o	44.77	61.72	7.28	62.15	7	b83r

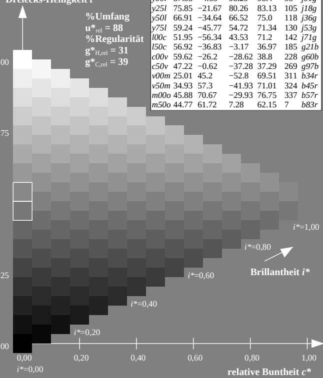

Ein und Ausgabe: Farbmetrisches Drucker-Reflektiv-System FRS12_95a für relativen CIELAB-Buntton $h^* = lab^*h^* = h_{ab}/360 = 0.632$ — $u^*_d = g50b$

Daten für jede Farbe:
*lab*tch** und *lab*icu**
Bunttontexte:
$u^*_d = c00v$ $u^*_e = g60b$
Kontrastreduzierungsfaktor:
$c_R = 0.9$

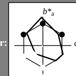

FRS12_95a; adaptierte CIELAB-Daten

u^*_d	$L^*=L^*_a$	a^*_a	b^*_a	$C^*_{ab,a}$	$h^*_{ab,a}$
O_{Ma}	43.8	53.91	39.75	66.98	36
Y_{Ma}	87.58	−4.65	98.29	98.4	93
L_{Ma}	51.95	−56.34	43.53	71.2	142
C_{Ma}	59.62	−26.2	−28.62	38.8	228
V_{Ma}	25.01	45.2	−52.8	69.51	311
M_{Ma}	45.88	70.67	−29.93	76.75	337
N_{Ma}	20.0	0.0	0.0	0.0	0
W_{Ma}	95.0	0.0	0.0	0.0	0
R_{Ma}	39.92	58.74	27.99	65.07	25
J_{Ma}	81.26	−2.89	71.56	71.62	92
G_{Ma}	52.23	−42.42	13.6	44.55	162
B_{Ma}	30.57	1.41	−46.47	46.49	272

Dreiecks-Helligkeit t^*

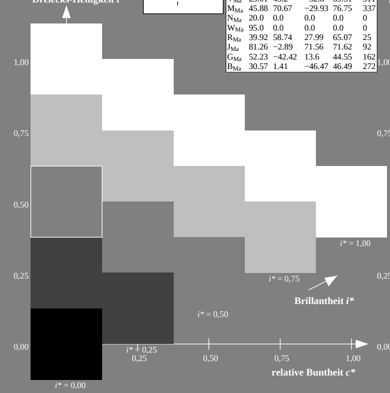

Daten für Maximalfarbe (Ma):
*LAB*LAB**$_{Ma}$: 60 −26 −29
*LAB*LCH**$_{Ma}$: 60 39 227
*lab*olv**$_{Ma}$: 0.0 1.0 1.0
*lab*rgb**$_{Ma}$: 0.0 0.81 1.0
Dreiecks-Helligkeit t^*

%Umfang
$u^*_{rel} = 88$
%Regularität
$g^*_{H,rel} = 31$
$g^*_{C,rel} = 39$

FRS12_95a; adaptierte CIELAB-Daten

u^*_d	$L^*=L^*_a$	a^*_a	b^*_a	$C^*_{ab,a}$	$h^*_{ab,a}$	u^*_e
o00y	43.8	53.91	39.75	66.98	36	r16j
o25y	52.46	42.34	51.32	66.53	50	r37j
o50y	61.53	30.2	63.46	70.28	65	r58j
o75y	72.39	15.68	77.97	79.53	79	r79j
y00l	87.58	−4.65	98.29	98.4	93	j01g
y25l	75.85	−21.67	80.26	83.13	105	j18g
y50l	66.91	−34.64	66.52	75.0	118	j36g
y75l	59.24	−45.77	54.72	71.34	130	j53g
l00c	51.95	−56.34	43.53	71.2	142	j71g
l50c	56.92	−36.83	−3.17	36.97	185	g21b
c00v	59.62	−26.2	−28.62	38.8	228	g60b
c50v	47.22	−0.62	−37.28	37.29	269	g97b
v00m	25.01	45.2	−52.8	69.51	311	b34r
v50m	34.93	57.3	−41.93	71.01	324	b45r
m00o	45.88	70.67	−29.93	76.75	337	b57r
m50o	44.77	61.72	7.28	62.15	7	b83r

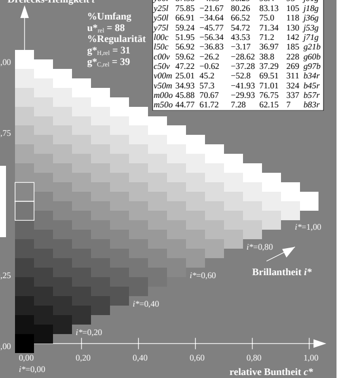

Ein und Ausgabe: Farbmetrisches Drucker-Reflektiv-System FRS12_95a für relativen CIELAB-Buntton $h^* = lab^*h^* = h_{ab}/360 = 0.747$ — $u^*_d = g75b$

Daten für jede Farbe:
*lab*tch** und *lab*icu**
Bunttontexte:
$u^*_d = c50v$ $u^*_e = g97b$
Kontrastreduzierungsfaktor:
$c_R = 0.9$

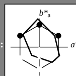

FRS12_95a; adaptierte CIELAB-Daten

u^*_d	$L^*=L^*_a$	a^*_a	b^*_a	$C^*_{ab,a}$	$h^*_{ab,a}$
O_{Ma}	43.8	53.91	39.75	66.98	36
Y_{Ma}	87.58	−4.65	98.29	98.4	93
L_{Ma}	51.95	−56.34	43.53	71.2	142
C_{Ma}	59.62	−26.2	−28.62	38.8	228
V_{Ma}	25.01	45.2	−52.8	69.51	311
M_{Ma}	45.88	70.67	−29.93	76.75	337
N_{Ma}	20.0	0.0	0.0	0.0	0
W_{Ma}	95.0	0.0	0.0	0.0	0
R_{Ma}	39.92	58.74	27.99	65.07	25
J_{Ma}	81.26	−2.89	71.56	71.62	92
G_{Ma}	52.23	−42.42	13.6	44.55	162
B_{Ma}	30.57	1.41	−46.47	46.49	272

Dreiecks-Helligkeit t^*

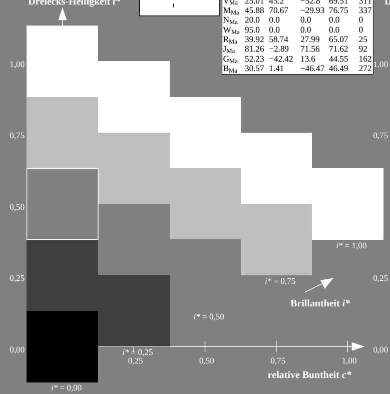

Daten für Maximalfarbe (Ma):
*LAB*LAB**$_{Ma}$: 47 −1 −37
*LAB*LCH**$_{Ma}$: 47 37 269
*lab*olv**$_{Ma}$: 0.0 0.5 1.0
*lab*rgb**$_{Ma}$: 0.0 0.05 1.0
Dreiecks-Helligkeit t^*

%Umfang
$u^*_{rel} = 88$
%Regularität
$g^*_{H,rel} = 31$
$g^*_{C,rel} = 39$

FRS12_95a; adaptierte CIELAB-Daten

u^*_d	$L^*=L^*_a$	a^*_a	b^*_a	$C^*_{ab,a}$	$h^*_{ab,a}$	u^*_e
o00y	43.8	53.91	39.75	66.98	36	r16j
o25y	52.46	42.34	51.32	66.53	50	r37j
o50y	61.53	30.2	63.46	70.28	65	r58j
o75y	72.39	15.68	77.97	79.53	79	r79j
y00l	87.58	−4.65	98.29	98.4	93	j01g
y25l	75.85	−21.67	80.26	83.13	105	j18g
y50l	66.91	−34.64	66.52	75.0	118	j36g
y75l	59.24	−45.77	54.72	71.34	130	j53g
l00c	51.95	−56.34	43.53	71.2	142	j71g
l50c	56.92	−36.83	−3.17	36.97	185	g21b
c00v	59.62	−26.2	−28.62	38.8	228	g60b
c50v	47.22	−0.62	−37.28	37.29	269	g97b
v00m	25.01	45.2	−52.8	69.51	311	b34r
v50m	34.93	57.3	−41.93	71.01	324	b45r
m00o	45.88	70.67	−29.93	76.75	337	b57r
m50o	44.77	61.72	7.28	62.15	7	b83r

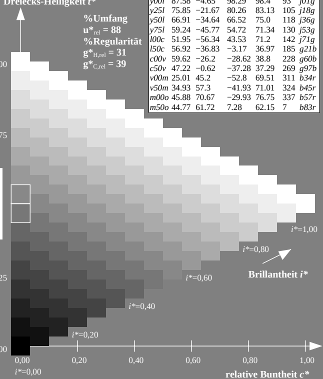

Ein und Ausgabe: Farbmetrisches Drucker-Reflektiv-System FRS12_95a für relativen CIELAB-Buntton $h^* = lab^*h^* = h_{ab}/360 = 0.863$ — $u^*_d = b00r$

Daten für jede Farbe:
*lab*tch** und *lab*icu**
Bunttontexte:
$u^*_d = v00m$ $u^*_e = b34r$
Kontrastreduzierungsfaktor:
$c_R = 0.9$

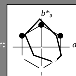

FRS12_95a; adaptierte CIELAB-Daten

u^*_d	$L^*=L^*_a$	a^*_a	b^*_a	$C^*_{ab,a}$	$h^*_{ab,a}$
O_{Ma}	43.8	53.91	39.75	66.98	36
Y_{Ma}	87.58	−4.65	98.29	98.4	93
L_{Ma}	51.95	−56.34	43.53	71.2	142
C_{Ma}	59.62	−26.2	−28.62	38.8	228
V_{Ma}	25.01	45.2	−52.8	69.51	311
M_{Ma}	45.88	70.67	−29.93	76.75	337
N_{Ma}	20.0	0.0	0.0	0.0	0
W_{Ma}	95.0	0.0	0.0	0.0	0
R_{Ma}	39.92	58.74	27.99	65.07	25
J_{Ma}	81.26	−2.89	71.56	71.62	92
G_{Ma}	52.23	−42.42	13.6	44.55	162
B_{Ma}	30.57	1.41	−46.47	46.49	272

Dreiecks-Helligkeit t^*

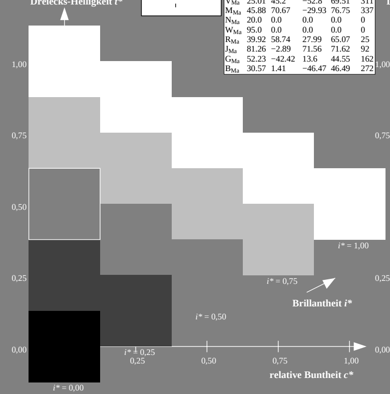

Daten für Maximalfarbe (Ma):
*LAB*LAB**$_{Ma}$: 25 45 −53
*LAB*LCH**$_{Ma}$: 25 70 310
*lab*olv**$_{Ma}$: 0.0 0.0 1.0
*lab*rgb**$_{Ma}$: 0.68 0.0 1.0
Dreiecks-Helligkeit t^*

%Umfang
$u^*_{rel} = 88$
%Regularität
$g^*_{H,rel} = 31$
$g^*_{C,rel} = 39$

FRS12_95a; adaptierte CIELAB-Daten

u^*_d	$L^*=L^*_a$	a^*_a	b^*_a	$C^*_{ab,a}$	$h^*_{ab,a}$	u^*_e
o00y	43.8	53.91	39.75	66.98	36	r16j
o25y	52.46	42.34	51.32	66.53	50	r37j
o50y	61.53	30.2	63.46	70.28	65	r58j
o75y	72.39	15.68	77.97	79.53	79	r79j
y00l	87.58	−4.65	98.29	98.4	93	j01g
y25l	75.85	−21.67	80.26	83.13	105	j18g
y50l	66.91	−34.64	66.52	75.0	118	j36g
y75l	59.24	−45.77	54.72	71.34	130	j53g
l00c	51.95	−56.34	43.53	71.2	142	j71g
l50c	56.92	−36.83	−3.17	36.97	185	g21b
c00v	59.62	−26.2	−28.62	38.8	228	g60b
c50v	47.22	−0.62	−37.28	37.29	269	g97b
v00m	25.01	45.2	−52.8	69.51	311	b34r
v50m	34.93	57.3	−41.93	71.01	324	b45r
m00o	45.88	70.67	−29.93	76.75	337	b57r
m50o	44.77	61.72	7.28	62.15	7	b83r

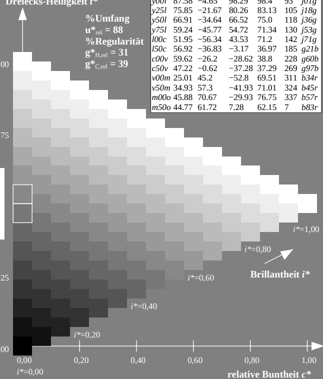

Ein und Ausgabe: Farbmetrisches Drucker-Reflektiv-System FRS12_95a für relativen CIELAB-Buntton $h^* = lab^*h^* = h_{ab}/360 = 0.899$ — $u^*_d = b25r$

Daten für jede Farbe:
*lab*tch** und *lab*icu**
Bunttontexte:
$u^*_d = v50m$ $u^*_e = b45r$
Kontrastreduzierungsfaktor:
$c_R = 0.9$

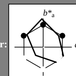

FRS12_95a; adaptierte CIELAB-Daten

u^*_d	$L^*=L^*_a$	a^*_a	b^*_a	$C^*_{ab,a}$	$h^*_{ab,a}$
O_{Ma}	43.8	53.91	39.75	66.98	36
Y_{Ma}	87.58	−4.65	98.29	98.4	93
L_{Ma}	51.95	−56.34	43.53	71.2	142
C_{Ma}	59.62	−26.2	−28.62	38.8	228
V_{Ma}	25.01	45.2	−52.8	69.51	311
M_{Ma}	45.88	70.67	−29.93	76.75	337
N_{Ma}	20.0	0.0	0.0	0.0	0
W_{Ma}	95.0	0.0	0.0	0.0	0
R_{Ma}	39.92	58.74	27.99	65.07	25
J_{Ma}	81.26	−2.89	71.56	71.62	92
G_{Ma}	52.23	−42.42	13.6	44.55	162
B_{Ma}	30.57	1.41	−46.47	46.49	272

Dreiecks-Helligkeit t^*

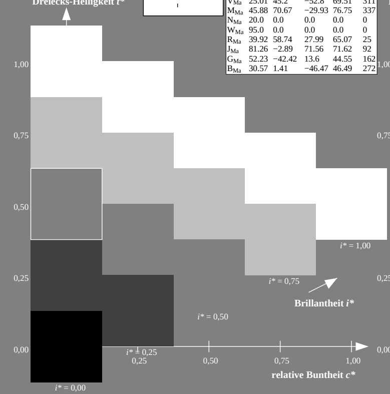

Daten für Maximalfarbe (Ma):
*LAB*LAB**$_{Ma}$: 35 57 −42
*LAB*LCH**$_{Ma}$: 35 71 323
*lab*olv**$_{Ma}$: 0.5 0.0 1.0
*lab*rgb**$_{Ma}$: 0.92 0.0 1.0
Dreiecks-Helligkeit t^*

%Umfang
$u^*_{rel} = 88$
%Regularität
$g^*_{H,rel} = 31$
$g^*_{C,rel} = 39$

FRS12_95a; adaptierte CIELAB-Daten

u^*_d	$L^*=L^*_a$	a^*_a	b^*_a	$C^*_{ab,a}$	$h^*_{ab,a}$	u^*_e
o00y	43.8	53.91	39.75	66.98	36	r16j
o25y	52.46	42.34	51.32	66.53	50	r37j
o50y	61.53	30.2	63.46	70.28	65	r58j
o75y	72.39	15.68	77.97	79.53	79	r79j
y00l	87.58	−4.65	98.29	98.4	93	j01g
y25l	75.85	−21.67	80.26	83.13	105	j18g
y50l	66.91	−34.64	66.52	75.0	118	j36g
y75l	59.24	−45.77	54.72	71.34	130	j53g
l00c	51.95	−56.34	43.53	71.2	142	j71g
l50c	56.92	−36.83	−3.17	36.97	185	g21b
c00v	59.62	−26.2	−28.62	38.8	228	g60b
c50v	47.22	−0.62	−37.28	37.29	269	g97b
v00m	25.01	45.2	−52.8	69.51	311	b34r
v50m	34.93	57.3	−41.93	71.01	324	b45r
m00o	45.88	70.67	−29.93	76.75	337	b57r
m50o	44.77	61.72	7.28	62.15	7	b83r

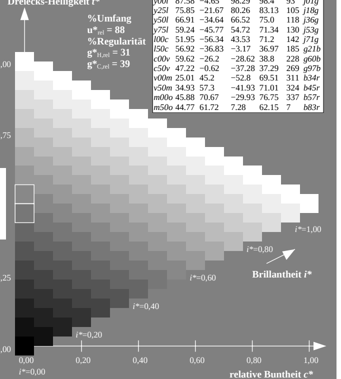

Ein und Ausgabe: Farbmetrisches Drucker-Reflektiv-System FRS12_95a für relativen CIELAB-Buntton $h^* = lab^*h^* = h_{ab}/360 = 0.936$ — $u^*_d = b50r$

Daten für jede Farbe:
*lab*tch** und *lab*icu**
Bunttontexte:
$u^*_d = m00o$ $u^*_e = b57r$
Kontrastreduzierungsfaktor:
$c_R = 0.9$

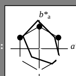

FRS12_95a; adaptierte CIELAB-Daten

u^*_d	$L^*=L^*_a$	a^*_a	b^*_a	$C^*_{ab,a}$	$h^*_{ab,a}$
O_{Ma}	43.8	53.91	39.75	66.98	36
Y_{Ma}	87.58	−4.65	98.29	98.4	93
L_{Ma}	51.95	−56.34	43.53	71.2	142
C_{Ma}	59.62	−26.2	−28.62	38.8	228
V_{Ma}	25.01	45.2	−52.8	69.51	311
M_{Ma}	45.88	70.67	−29.93	76.75	337
N_{Ma}	20.0	0.0	0.0	0.0	0
W_{Ma}	95.0	0.0	0.0	0.0	0
R_{Ma}	39.92	58.74	27.99	65.07	25
J_{Ma}	81.26	−2.89	71.56	71.62	92
G_{Ma}	52.23	−42.42	13.6	44.55	162
B_{Ma}	30.57	1.41	−46.47	46.49	272

Dreiecks-Helligkeit t^*

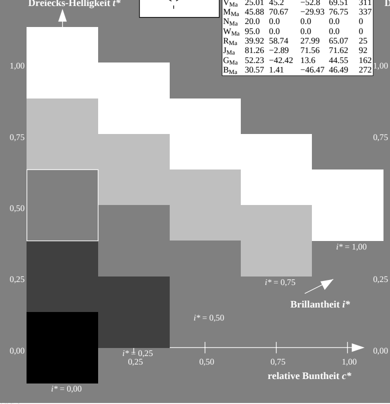

Daten für Maximalfarbe (Ma):
*LAB*LAB**$_{Ma}$: 46 71 −30
*LAB*LCH**$_{Ma}$: 46 77 337
*lab*olv**$_{Ma}$: 1.0 0.0 1.0
*lab*rgb**$_{Ma}$: 1.0 0.0 0.85
Dreiecks-Helligkeit t^*

%Umfang
$u^*_{rel} = 88$
%Regularität
$g^*_{H,rel} = 31$
$g^*_{C,rel} = 39$

FRS12_95a; adaptierte CIELAB-Daten

u^*_d	$L^*=L^*_a$	a^*_a	b^*_a	$C^*_{ab,a}$	$h^*_{ab,a}$	u^*_e
o00y	43.8	53.91	39.75	66.98	36	r16j
o25y	52.46	42.34	51.32	66.53	50	r37j
o50y	61.53	30.2	63.46	70.28	65	r58j
o75y	72.39	15.68	77.97	79.53	79	r79j
y00l	87.58	−4.65	98.29	98.4	93	j01g
y25l	75.85	−21.67	80.26	83.13	105	j18g
y50l	66.91	−34.64	66.52	75.0	118	j36g
y75l	59.24	−45.77	54.72	71.34	130	j53g
l00c	51.95	−56.34	43.53	71.2	142	j71g
l50c	56.92	−36.83	−3.17	36.97	185	g21b
c00v	59.62	−26.2	−28.62	38.8	228	g60b
c50v	47.22	−0.62	−37.28	37.29	269	g97b
v00m	25.01	45.2	−52.8	69.51	311	b34r
v50m	34.93	57.3	−41.93	71.01	324	b45r
m00o	45.88	70.67	−29.93	76.75	337	b57r
m50o	44.77	61.72	7.28	62.15	7	b83r

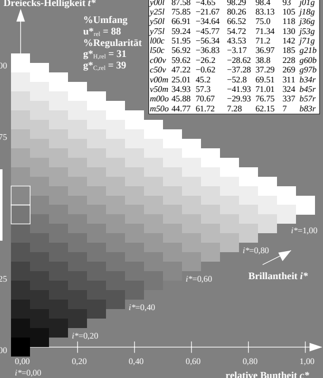

Ein und Ausgabe: Farbmetrisches Drucker-Reflektiv-System FRS12_95a für relativen CIELAB-Buntton $h^* = lab^*h^* = h_{ab}/360 = 0.019$ — $u^*_d = b75r$

Daten für jede Farbe:
*lab*tch** und *lab*icu**
Bunttontexte:
$u^*_d = m50o$ $u^*_e = b83r$
Kontrastreduzierungsfaktor:
$c_R = 0.9$

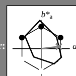

FRS12_95a; adaptierte CIELAB-Daten

u^*_d	$L^*=L^*_a$	a^*_a	b^*_a	$C^*_{ab,a}$	$h^*_{ab,a}$
O_{Ma}	43.8	53.91	39.75	66.98	36
Y_{Ma}	87.58	−4.65	98.29	98.4	93
L_{Ma}	51.95	−56.34	43.53	71.2	142
C_{Ma}	59.62	−26.2	−28.62	38.8	228
V_{Ma}	25.01	45.2	−52.8	69.51	311
M_{Ma}	45.88	70.67	−29.93	76.75	337
N_{Ma}	20.0	0.0	0.0	0.0	0
W_{Ma}	95.0	0.0	0.0	0.0	0
R_{Ma}	39.92	58.74	27.99	65.07	25
J_{Ma}	81.26	−2.89	71.56	71.62	92
G_{Ma}	52.23	−42.42	13.6	44.55	162
B_{Ma}	30.57	1.41	−46.47	46.49	272

Dreiecks-Helligkeit t^*

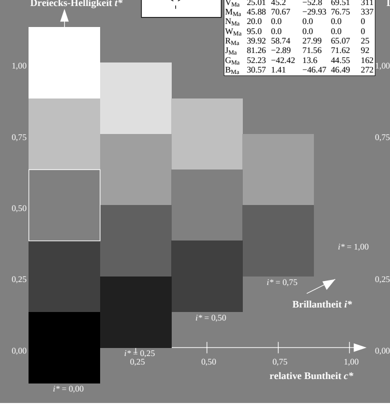

Daten für Maximalfarbe (Ma):
*LAB*LAB**$_{Ma}$: 45 62 7
*LAB*LCH**$_{Ma}$: 45 62 6
*lab*olv**$_{Ma}$: 1.0 0.0 0.5
*lab*rgb**$_{Ma}$: 1.0 0.0 0.33
Dreiecks-Helligkeit t^*

%Umfang
$u^*_{rel} = 88$
%Regularität
$g^*_{H,rel} = 31$
$g^*_{C,rel} = 39$

FRS12_95a; adaptierte CIELAB-Daten

u^*_d	$L^*=L^*_a$	a^*_a	b^*_a	$C^*_{ab,a}$	$h^*_{ab,a}$	u^*_e
o00y	43.8	53.91	39.75	66.98	36	r16j
o25y	52.46	42.34	51.32	66.53	50	r37j
o50y	61.53	30.2	63.46	70.28	65	r58j
o75y	72.39	15.68	77.97	79.53	79	r79j
y00l	87.58	−4.65	98.29	98.4	93	j01g
y25l	75.85	−21.67	80.26	83.13	105	j18g
y50l	66.91	−34.64	66.52	75.0	118	j36g
y75l	59.24	−45.77	54.72	71.34	130	j53g
l00c	51.95	−56.34	43.53	71.2	142	j71g
l50c	56.92	−36.83	−3.17	36.97	185	g21b
c00v	59.62	−26.2	−28.62	38.8	228	g60b
c50v	47.22	−0.62	−37.28	37.29	269	g97b
v00m	25.01	45.2	−52.8	69.51	311	b34r
v50m	34.93	57.3	−41.93	71.01	324	b45r
m00o	45.88	70.67	−29.93	76.75	337	b57r
m50o	44.77	61.72	7.28	62.15	7	b83r

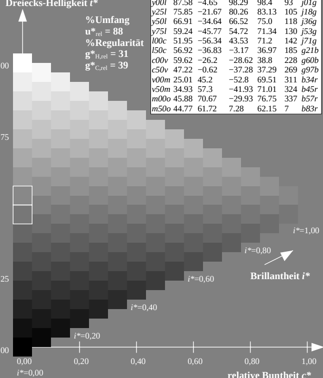

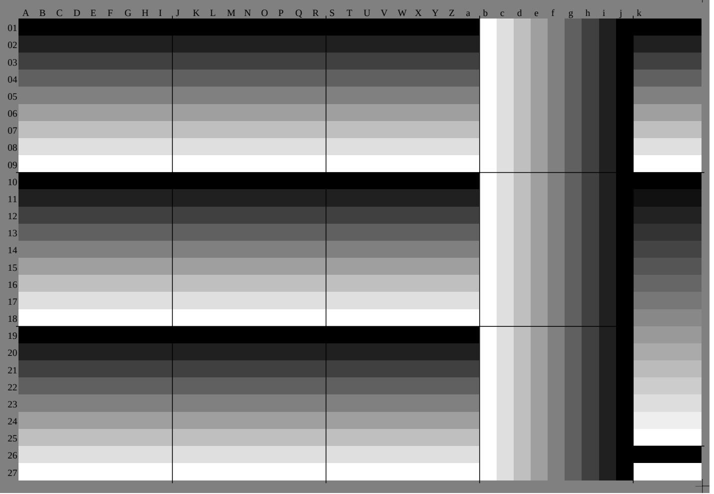

Schwarz–Separation leer

Ein und Ausgabe: Farbmetrisches Drucker-Reflektiv-System FRS12_95a für nativen CIELAB-Buntton $h^* = lab^*h^*$ = $h_{ab}/360$ = 0.395 u^*_d = g00b

Daten für jede Farbe: *lab*ch** und *lab*icu**
Benttontexte: u^*_d = *l00c* u^*_e = *j71g*
Kontrastreduzierungsfaktor: c_R = 0.9
Dreiecks-Helligkeit t^*

Daten für Maximalfarbe (Ma): *LAB*LAB**$_{Ma}$: 52 −56 44 *LAB*LCH**$_{Ma}$: 52 71 142 *lab*ovl**$_{Ma}$: 0.0 1.0 0.0 *lab*rgb**$_{Ma}$: 0.28 1.0 0.0

Dreiecks-Helligkeit t^*

%Umfang u^*_{ue} = 88 %Regularität $g^*_{H,rel}$ = 31 $g^*_{C,rel}$ = 39

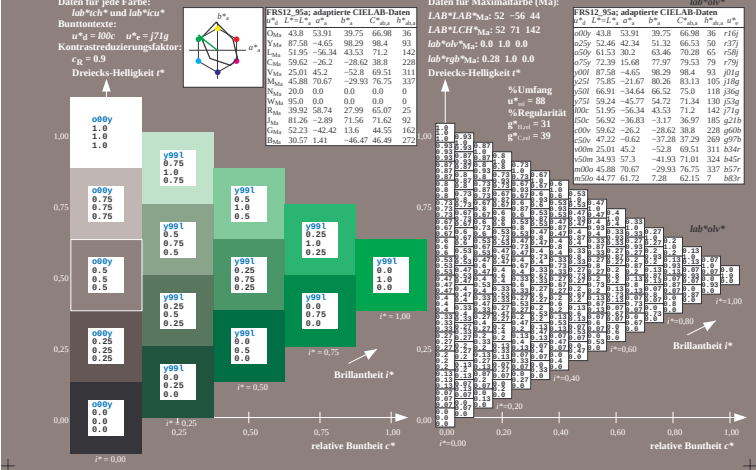

Ein und Ausgabe: Farbmetrisches Drucker-Reflektiv-System FRS12_95a für nativen CIELAB-Buntton $h^* = lab^*h^*$ = $h_{ab}/360$ = 0.514 u^*_d = g25b

Daten für jede Farbe: *lab*ch** und *lab*icu**
Benttontexte: u^*_d = *l50c* u^*_e = *g21b*
Kontrastreduzierungsfaktor: c_R = 0.9
Dreiecks-Helligkeit t^*

Daten für Maximalfarbe (Ma): *LAB*LAB**$_{Ma}$: 57 −37 −3 *LAB*LCH**$_{Ma}$: 57 37 184 *lab*ovl**$_{Ma}$: 0.0 1.0 0.5 *lab*rgb**$_{Ma}$: 0.0 1.0 0.41

Dreiecks-Helligkeit t^*

%Umfang u^*_{ue} = 88 %Regularität $g^*_{H,rel}$ = 31 $g^*_{C,rel}$ = 39

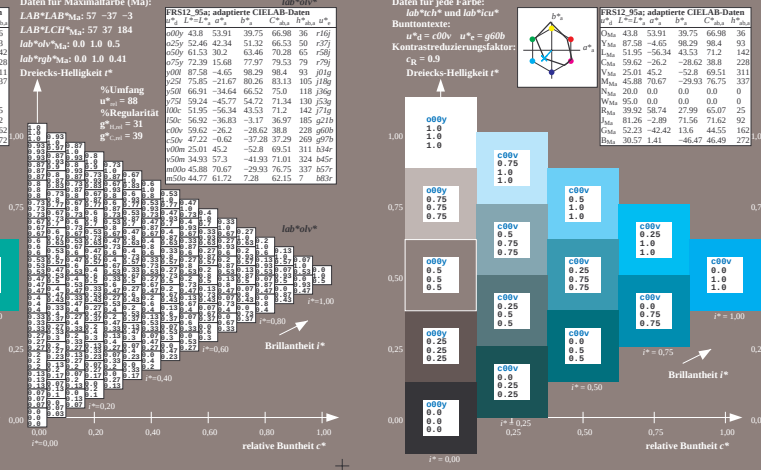

Ein und Ausgabe: Farbmetrisches Drucker-Reflektiv-System FRS12_95a für nativen CIELAB-Buntton $h^* = lab^*h^*$ = $h_{ab}/360$ = 0.632 u^*_d = g50b

Daten für jede Farbe: *lab*ch** und *lab*icu**
Benttontexte: u^*_d = *c00v* u^*_e = *g60b*
Kontrastreduzierungsfaktor: c_R = 0.9
Dreiecks-Helligkeit t^*

Daten für Maximalfarbe (Ma): *LAB*LAB**$_{Ma}$: 60 −26 −29 *LAB*LCH**$_{Ma}$: 60 39 227 *lab*ovl**$_{Ma}$: 0.0 1.0 1.0 *lab*rgb**$_{Ma}$: 0.0 0.81 1.0

Dreiecks-Helligkeit t^*

%Umfang u^*_{ue} = 88 %Regularität $g^*_{H,rel}$ = 31 $g^*_{C,rel}$ = 39

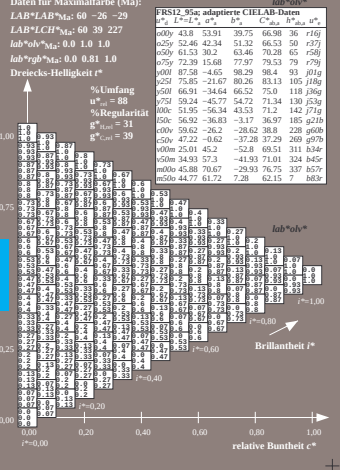

Ein und Ausgabe: Farbmetrisches Drucker-Reflektiv-System FRS12_95a für nativen CIELAB-Buntton $h^* = lab^*h^*$ = $h_{ab}/360$ = 0.747 u^*_d = g75b

Daten für jede Farbe: *lab*ch** und *lab*icu**
Benttontexte: u^*_d = *c50v* u^*_e = *g97b*
Kontrastreduzierungsfaktor: c_R = 0.9
Dreiecks-Helligkeit t^*

Daten für Maximalfarbe (Ma): *LAB*LAB**$_{Ma}$: 47 −1 −37 *LAB*LCH**$_{Ma}$: 47 37 269 *lab*ovl**$_{Ma}$: 0.0 0.5 1.0 *lab*rgb**$_{Ma}$: 0.0 0.05 1.0

Dreiecks-Helligkeit t^*

%Umfang u^*_{ue} = 88 %Regularität $g^*_{H,rel}$ = 31 $g^*_{C,rel}$ = 39

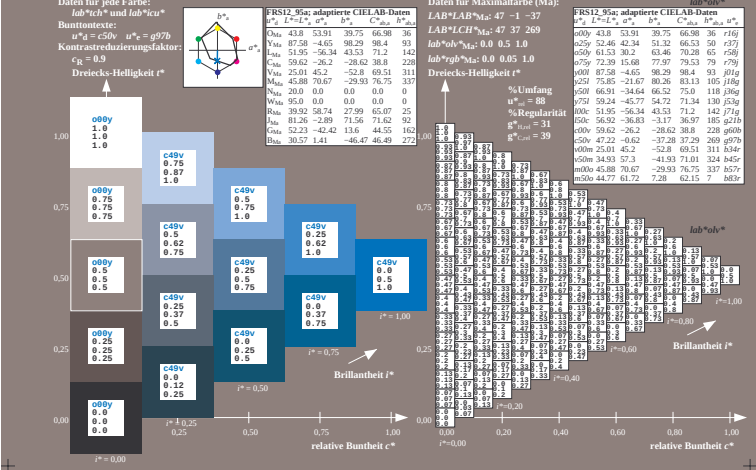

Ein und Ausgabe: Farbmetrisches Drucker-Reflektiv-System FRS12_95a für nativen CIELAB-Buntton $h^* = lab^*h^*$ = $h_{ab}/360$ = 0.863 u^*_d = b00r

Daten für jede Farbe: *lab*ch** und *lab*icu**
Benttontexte: u^*_d = *v00m* u^*_e = *b34r*
Kontrastreduzierungsfaktor: c_R = 0.9
Dreiecks-Helligkeit t^*

Daten für Maximalfarbe (Ma): *LAB*LAB**$_{Ma}$: 25 45 −53 *LAB*LCH**$_{Ma}$: 25 70 310 *lab*ovl**$_{Ma}$: 0.0 0.0 1.0 *lab*rgb**$_{Ma}$: 0.68 0.0 1.0

Dreiecks-Helligkeit t^*

%Umfang u^*_{ue} = 88 %Regularität $g^*_{H,rel}$ = 31 $g^*_{C,rel}$ = 39

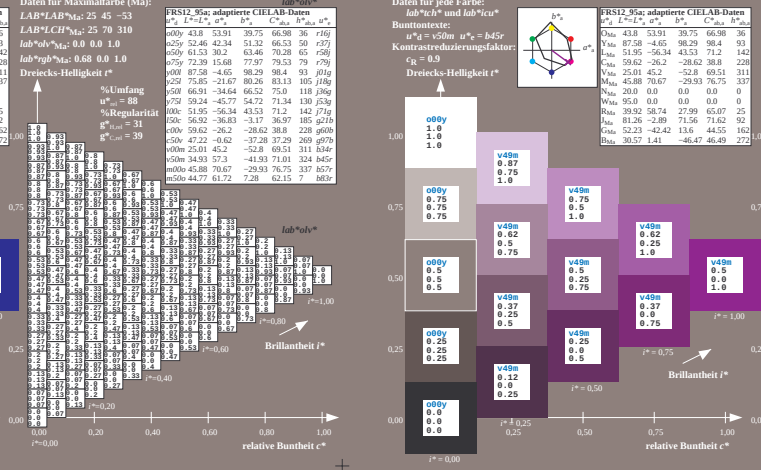

Ein und Ausgabe: Farbmetrisches Drucker-Reflektiv-System FRS12_95a für nativen CIELAB-Buntton $h^* = lab^*h^*$ = $h_{ab}/360$ = 0.899 u^*_d = b25r

Daten für jede Farbe: *lab*ch** und *lab*icu**
Benttontexte: u^*_d = *v50m* u^*_e = *b45r*
Kontrastreduzierungsfaktor: c_R = 0.9
Dreiecks-Helligkeit t^*

Daten für Maximalfarbe (Ma): *LAB*LAB**$_{Ma}$: 35 57 −42 *LAB*LCH**$_{Ma}$: 35 71 323 *lab*ovl**$_{Ma}$: 0.5 0.0 1.0 *lab*rgb**$_{Ma}$: 0.92 0.0 1.0

Dreiecks-Helligkeit t^*

%Umfang u^*_{ue} = 88 %Regularität $g^*_{H,rel}$ = 31 $g^*_{C,rel}$ = 39

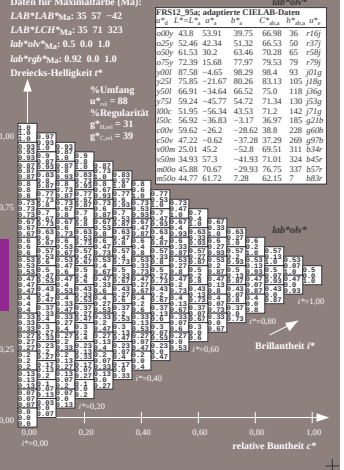

Ein und Ausgabe: Farbmetrisches Drucker-Reflektiv-System FRS12_95a für nativen CIELAB-Buntton $h^* = lab^*h^*$ = $h_{ab}/360$ = 0.936 u^*_d = b50r

Daten für jede Farbe: *lab*ch** und *lab*icu**
Benttontexte: u^*_d = *m00a* u^*_e = *b57r*
Kontrastreduzierungsfaktor: c_R = 0.9
Dreiecks-Helligkeit t^*

Daten für Maximalfarbe (Ma): *LAB*LAB**$_{Ma}$: 46 71 −30 *LAB*LCH**$_{Ma}$: 46 77 337 *lab*ovl**$_{Ma}$: 1.0 0.0 1.0 *lab*rgb**$_{Ma}$: 1.0 0.0 0.85

Dreiecks-Helligkeit t^*

%Umfang u^*_{ue} = 88 %Regularität $g^*_{H,rel}$ = 31 $g^*_{C,rel}$ = 39

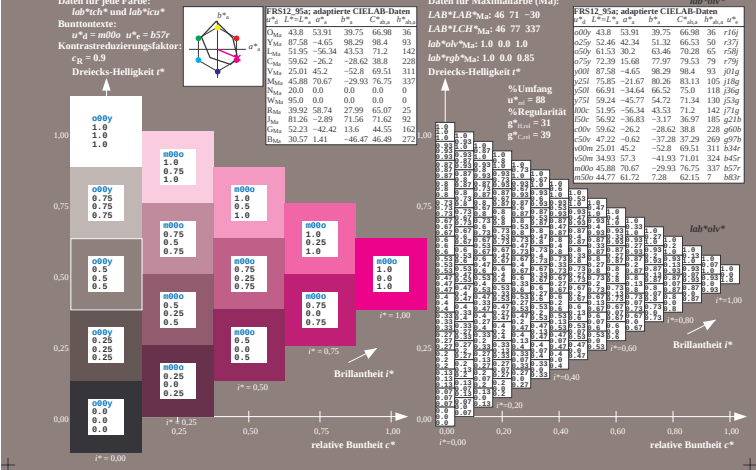

Ein und Ausgabe: Farbmetrisches Drucker-Reflektiv-System FRS12_95a für nativen CIELAB-Buntton $h^* = lab^*h^*$ = $h_{ab}/360$ = 0.019 u^*_d = b75r

Daten für jede Farbe: *lab*ch** und *lab*icu**
Benttontexte: u^*_d = *m50c* u^*_e = *b83r*
Kontrastreduzierungsfaktor: c_R = 0.9
Dreiecks-Helligkeit t^*

Daten für Maximalfarbe (Ma): *LAB*LAB**$_{Ma}$: 45 62 7 *LAB*LCH**$_{Ma}$: 45 62 6 *lab*ovl**$_{Ma}$: 1.0 0.0 0.5 *lab*rgb**$_{Ma}$: 1.0 0.0 0.33

Dreiecks-Helligkeit t^*

%Umfang u^*_{ue} = 88 %Regularität $g^*_{H,rel}$ = 31 $g^*_{C,rel}$ = 39

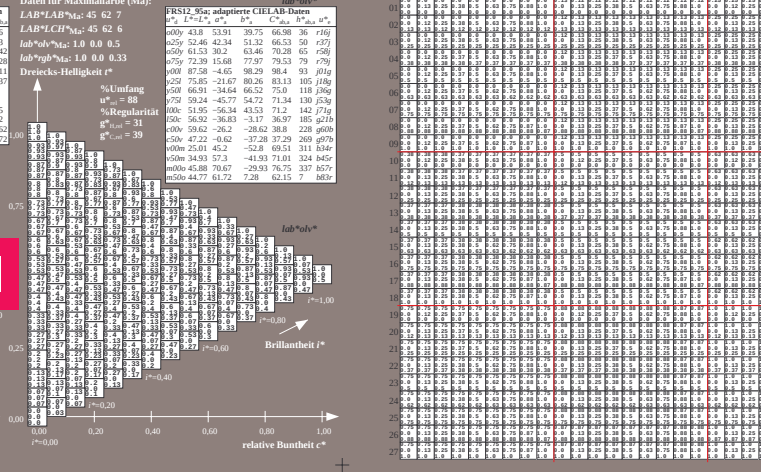

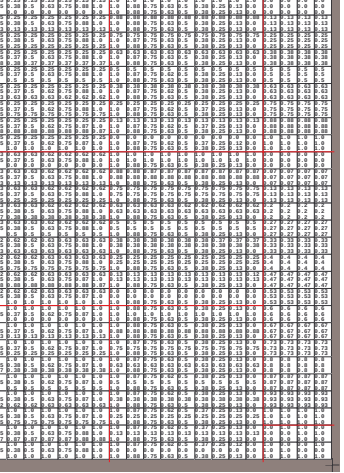

Ein und Ausgabe: Farbmetrisches Drucker-Reflektiv-System FRS12_95a für relativen CIELAB-Buntton $h^* = lab^*h^* = h_{ab}/360 = 0.395$ $u^*_d = g00b$ lab*rgb*

Daten für jede Farbe: lab*ch* und lab*icu*
Benttontexte: $u^*_d = l00c$ $u^*_e = j71g$
Kontrastreduzierungsfaktor: $c_R = 0.9$
Dreiecks-Helligkeit t^*

Daten für Maximalfarbe (Ma): $LAB^*LAB^*_{Ma}$: 52 −56 44 $LAB^*LCH^*_{Ma}$: 52 71 142 $lab^*ov^*_{Ma}$: 0.0 1.0 0.0 $lab^*rgb^*_{Ma}$: 0.28 1.0 0.0

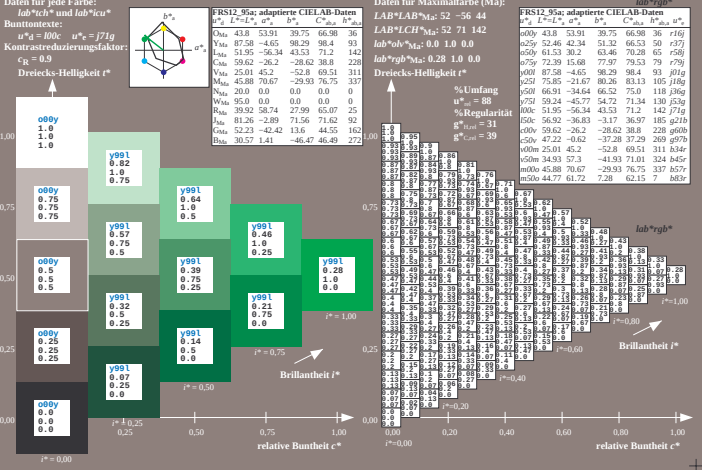

Ein und Ausgabe: Farbmetrisches Drucker-Reflektiv-System FRS12_95a für relativen CIELAB-Buntton $h^* = lab^*h^* = h_{ab}/360 = 0.514$ $u^*_d = g25b$ lab*rgb*

Daten für jede Farbe: lab*ch* und lab*icu*
Benttontexte: $u^*_d = l50c$ $u^*_e = g21b$
Kontrastreduzierungsfaktor: $c_R = 0.9$
Dreiecks-Helligkeit t^*

Daten für Maximalfarbe (Ma): $LAB^*LAB^*_{Ma}$: 57 −37 −3 $LAB^*LCH^*_{Ma}$: 57 37 184 $lab^*ov^*_{Ma}$: 0.0 1.0 0.5 $lab^*rgb^*_{Ma}$: 0.0 1.0 0.41

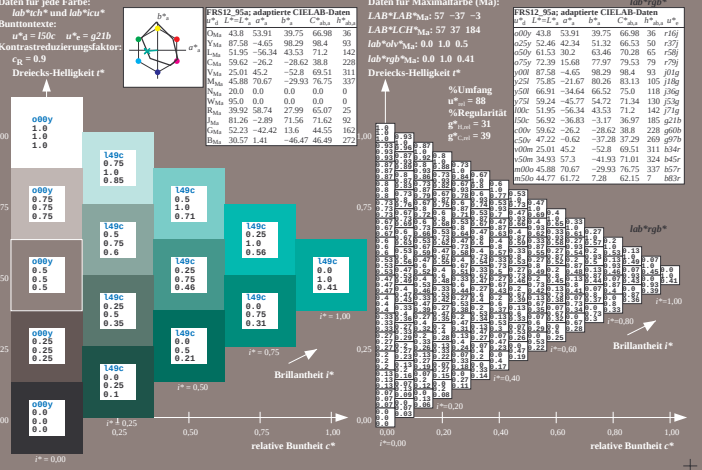

Ein und Ausgabe: Farbmetrisches Drucker-Reflektiv-System FRS12_95a für relativen CIELAB-Buntton $h^* = lab^*h^* = h_{ab}/360 = 0.632$ $u^*_d = g50b$ lab*rgb*

Daten für jede Farbe: lab*ch* und lab*icu*
Benttontexte: $u^*_d = c00v$ $u^*_e = g60b$
Kontrastreduzierungsfaktor: $c_R = 0.9$
Dreiecks-Helligkeit t^*

Daten für Maximalfarbe (Ma): $LAB^*LAB^*_{Ma}$: 60 −26 −29 $LAB^*LCH^*_{Ma}$: 60 39 227 $lab^*ov^*_{Ma}$: 0.0 1.0 1.0 $lab^*rgb^*_{Ma}$: 0.0 0.81 1.0

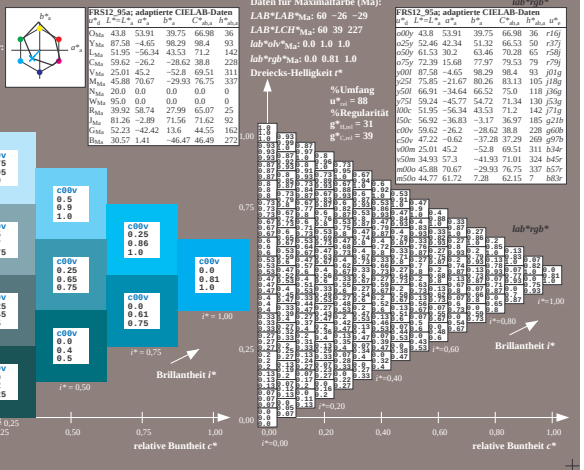

Ein und Ausgabe: Farbmetrisches Drucker-Reflektiv-System FRS12_95a für relativen CIELAB-Buntton $h^* = lab^*h^* = h_{ab}/360 = 0.747$ $u^*_d = g75b$ lab*rgb*

Daten für jede Farbe: lab*ch* und lab*icu*
Benttontexte: $u^*_d = c50v$ $u^*_e = g97b$
Kontrastreduzierungsfaktor: $c_R = 0.9$
Dreiecks-Helligkeit t^*

Daten für Maximalfarbe (Ma): $LAB^*LAB^*_{Ma}$: 47 −1 −37 $LAB^*LCH^*_{Ma}$: 47 37 269 $lab^*ov^*_{Ma}$: 0.0 0.5 1.0 $lab^*rgb^*_{Ma}$: 0.0 0.05 1.0

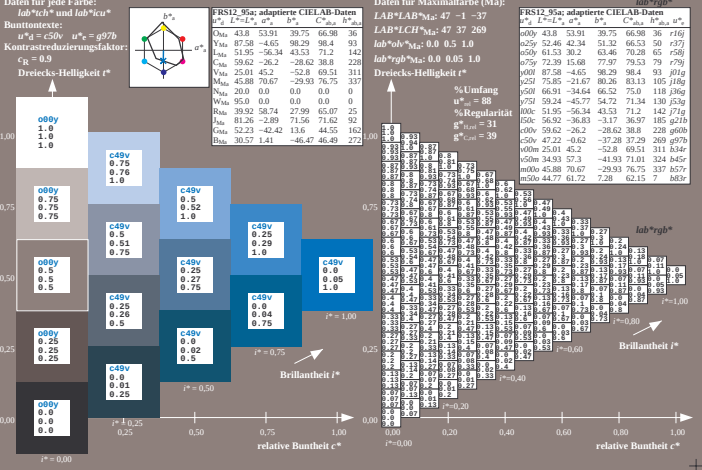

Ein und Ausgabe: Farbmetrisches Drucker-Reflektiv-System FRS12_95a für relativen CIELAB-Buntton $h^* = lab^*h^* = h_{ab}/360 = 0.863$ $u^*_d = b00r$ lab*rgb*

Daten für jede Farbe: lab*ch* und lab*icu*
Benttontexte: $u^*_d = v00m$ $u^*_e = b34r$
Kontrastreduzierungsfaktor: $c_R = 0.9$
Dreiecks-Helligkeit t^*

Daten für Maximalfarbe (Ma): $LAB^*LAB^*_{Ma}$: 25 45 −53 $LAB^*LCH^*_{Ma}$: 25 70 310 $lab^*ov^*_{Ma}$: 0.0 0.0 1.0 $lab^*rgb^*_{Ma}$: 0.68 0.0 1.0

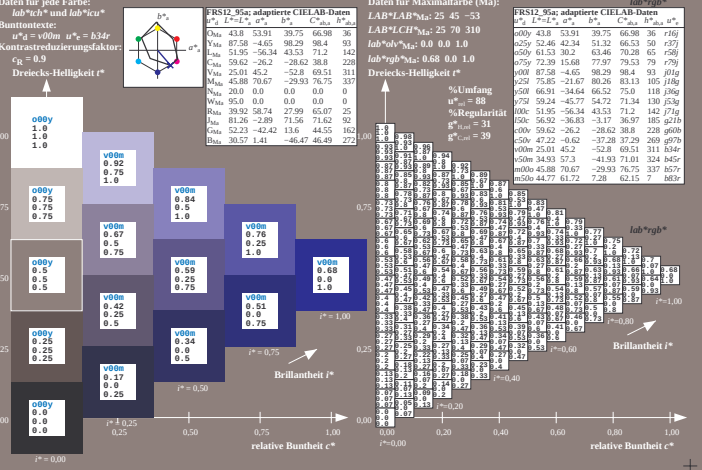

Ein und Ausgabe: Farbmetrisches Drucker-Reflektiv-System FRS12_95a für relativen CIELAB-Buntton $h^* = lab^*h^* = h_{ab}/360 = 0.899$ $u^*_d = b25r$ lab*rgb*

Daten für jede Farbe: lab*ch* und lab*icu*
Benttontexte: $u^*_d = v50m$ $u^*_e = b45r$
Kontrastreduzierungsfaktor: $c_R = 0.9$
Dreiecks-Helligkeit t^*

Daten für Maximalfarbe (Ma): $LAB^*LAB^*_{Ma}$: 35 57 −42 $LAB^*LCH^*_{Ma}$: 35 71 323 $lab^*ov^*_{Ma}$: 0.5 0.0 1.0 $lab^*rgb^*_{Ma}$: 0.92 0.0 1.0

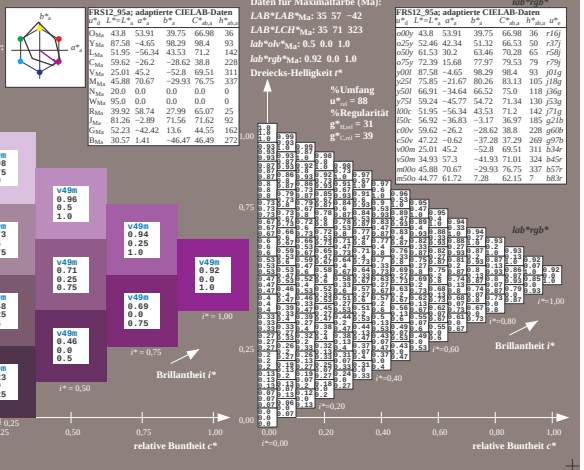

Ein und Ausgabe: Farbmetrisches Drucker-Reflektiv-System FRS12_95a für relativen CIELAB-Buntton $h^* = lab^*h^* = h_{ab}/360 = 0.936$ $u^*_d = b50r$ lab*rgb*

Daten für jede Farbe: lab*ch* und lab*icu*
Benttontexte: $u^*_d = m00a$ $u^*_e = b57r$
Kontrastreduzierungsfaktor: $c_R = 0.9$
Dreiecks-Helligkeit t^*

Daten für Maximalfarbe (Ma): $LAB^*LAB^*_{Ma}$: 46 71 −30 $LAB^*LCH^*_{Ma}$: 46 77 337 $lab^*ov^*_{Ma}$: 1.0 0.0 1.0 $lab^*rgb^*_{Ma}$: 1.0 0.0 0.85

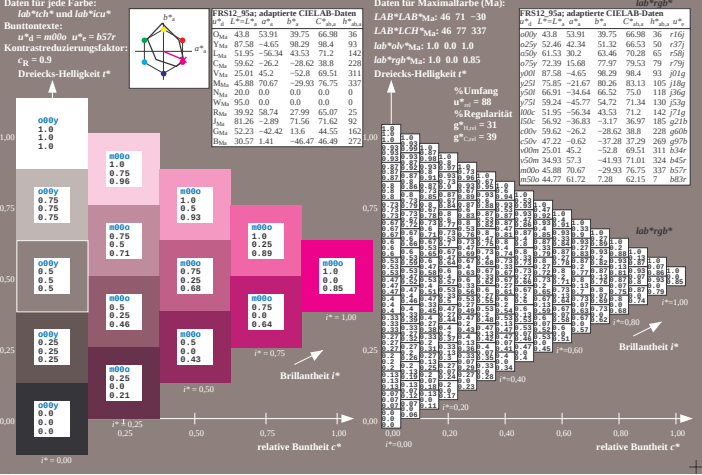

Ein und Ausgabe: Farbmetrisches Drucker-Reflektiv-System FRS12_95a für relativen CIELAB-Buntton $h^* = lab^*h^* = h_{ab}/360 = 0.019$ $u^*_d = b75r$ lab*rgb*

Daten für jede Farbe: lab*ch* und lab*icu*
Benttontexte: $u^*_d = m50a$ $u^*_e = b83r$
Kontrastreduzierungsfaktor: $c_R = 0.9$
Dreiecks-Helligkeit t^*

Daten für Maximalfarbe (Ma): $LAB^*LAB^*_{Ma}$: 45 62 7 $LAB^*LCH^*_{Ma}$: 45 62 6 $lab^*ov^*_{Ma}$: 1.0 0.0 0.5 $lab^*rgb^*_{Ma}$: 1.0 0.0 0.33

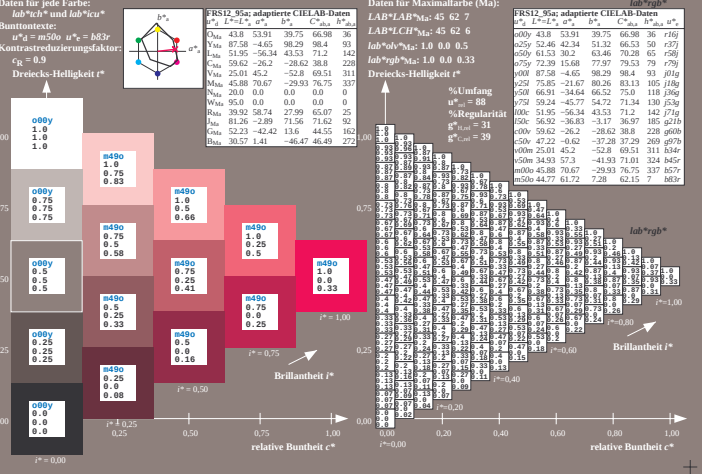

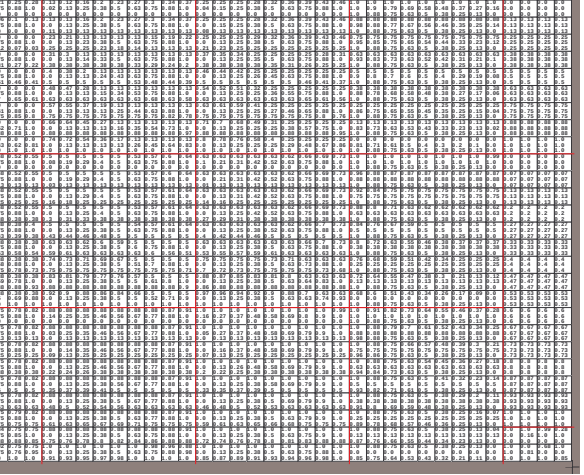

Ein und Ausgabe: Farbmetrisches Drucker-Reflektiv-System FRS12_95a für relativen CIELAB-Buntton $h^* = lab^*h^*$ = $h_{ab}/360 = 0.395$ $u^*_d = g00b$ $LAB^*LAB^*_n$

Daten für jede Farbe: *lab*ch** und *lab*icu**
Buntontexte: $u^*_d = l00c$ $u^*_e = j71g$
Kontrastreduzierungsfaktor: $c_g = 0.9$
Dreiecks-Helligkeit t^*

Daten für Maximalfarbe (Ma): $LAB^*LAB^*_{Ma}$: 52 −56 44 $LAB^*LCH^*_{Ma}$: 52 71 142 $lab^*olv^*_{Ma}$: 0.0 1.0 0.0 $lab^*rgb^*_{Ma}$: 0.28 1.0 0.0
Dreiecks-Helligkeit t^*

%Umfang u^*_{ue} = 88 %Regularität $g^*_{H,rel}$ = 31 $g^*_{C,rel}$ = 39

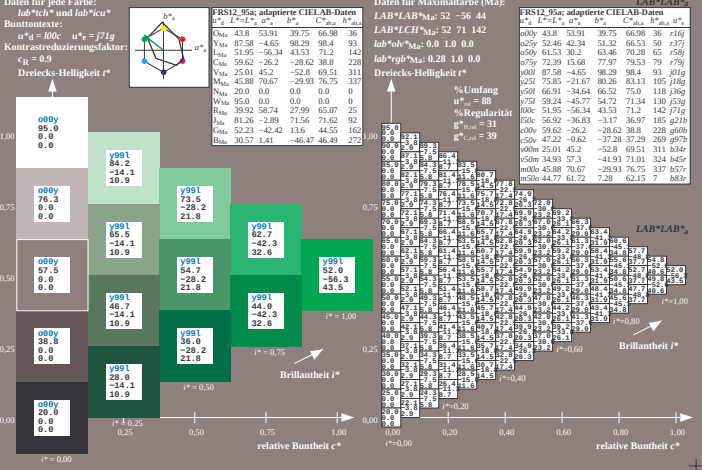

Ein und Ausgabe: Farbmetrisches Drucker-Reflektiv-System FRS12_95a für relativen CIELAB-Buntton $h^* = lab^*h^*$ = $h_{ab}/360 = 0.514$ $u^*_d = g25b$ $LAB^*LAB^*_n$

Daten für jede Farbe: *lab*ch** und *lab*icu**
Buntontexte: $u^*_d = g21b$ $u^*_e = j50c$
Kontrastreduzierungsfaktor: $c_g = 0.9$
Dreiecks-Helligkeit t^*

Daten für Maximalfarbe (Ma): $LAB^*LAB^*_{Ma}$: 57 −37 −3 $LAB^*LCH^*_{Ma}$: 57 37 184 $lab^*olv^*_{Ma}$: 0.0 1.0 0.5 $lab^*rgb^*_{Ma}$: 0.0 1.0 0.41
Dreiecks-Helligkeit t^*

%Umfang u^*_{ue} = 88 %Regularität $g^*_{H,rel}$ = 31 $g^*_{C,rel}$ = 39

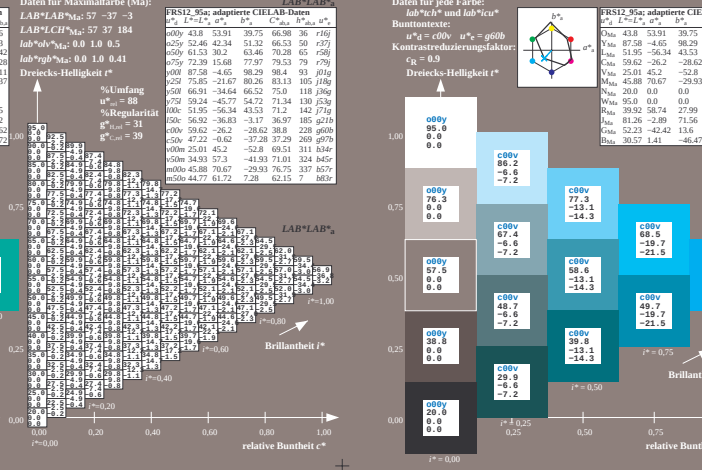

Ein und Ausgabe: Farbmetrisches Drucker-Reflektiv-System FRS12_95a für relativen CIELAB-Buntton $h^* = lab^*h^*$ = $h_{ab}/360 = 0.632$ $u^*_d = g50b$ $LAB^*LAB^*_n$

Daten für jede Farbe: *lab*ch** und *lab*icu**
Buntontexte: $u^*_d = c00v$ $u^*_e = g60b$
Kontrastreduzierungsfaktor: $c_g = 0.9$
Dreiecks-Helligkeit t^*

Daten für Maximalfarbe (Ma): $LAB^*LAB^*_{Ma}$: 60 −26 −29 $LAB^*LCH^*_{Ma}$: 60 39 227 $lab^*olv^*_{Ma}$: 0.0 1.0 1.0 $lab^*rgb^*_{Ma}$: 0.0 0.81 1.0
Dreiecks-Helligkeit t^*

%Umfang u^*_{ue} = 88 %Regularität $g^*_{H,rel}$ = 31 $g^*_{C,rel}$ = 39

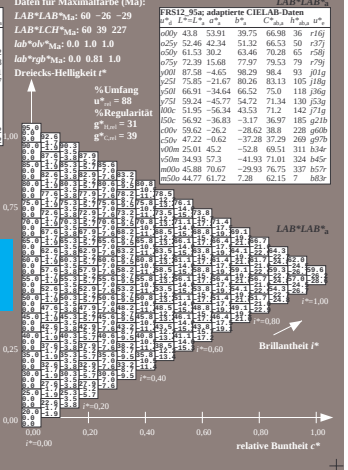

Ein und Ausgabe: Farbmetrisches Drucker-Reflektiv-System FRS12_95a für relativen CIELAB-Buntton $h^* = lab^*h^*$ = $h_{ab}/360 = 0.747$ $u^*_d = g75b$ $LAB^*LAB^*_n$

Daten für jede Farbe: *lab*ch** und *lab*icu**
Buntontexte: $u^*_d = c50v$ $u^*_e = g97b$
Kontrastreduzierungsfaktor: $c_g = 0.9$
Dreiecks-Helligkeit t^*

Daten für Maximalfarbe (Ma): $LAB^*LAB^*_{Ma}$: 47 −1 −37 $LAB^*LCH^*_{Ma}$: 47 37 269 $lab^*olv^*_{Ma}$: 0.0 0.5 1.0 $lab^*rgb^*_{Ma}$: 0.0 0.05 1.0
Dreiecks-Helligkeit t^*

%Umfang u^*_{ue} = 88 %Regularität $g^*_{H,rel}$ = 31 $g^*_{C,rel}$ = 39

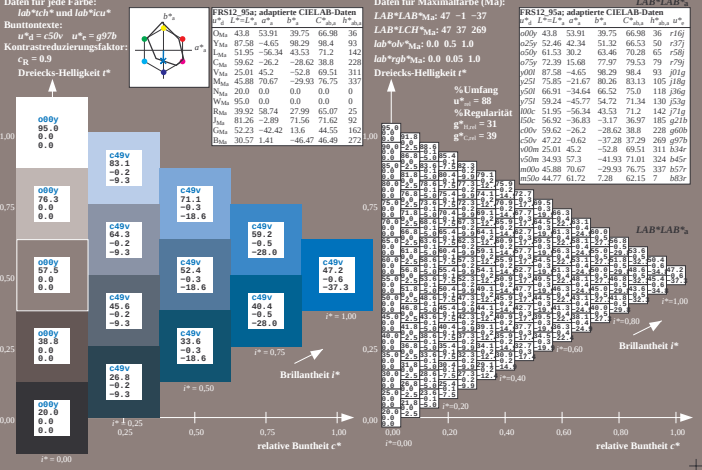

Ein und Ausgabe: Farbmetrisches Drucker-Reflektiv-System FRS12_95a für relativen CIELAB-Buntton $h^* = lab^*h^*$ = $h_{ab}/360 = 0.863$ $u^*_d = b00r$ $LAB^*LAB^*_n$

Daten für jede Farbe: *lab*ch** und *lab*icu**
Buntontexte: $u^*_d = v00m$ $u^*_e = b34r$
Kontrastreduzierungsfaktor: $c_g = 0.9$
Dreiecks-Helligkeit t^*

Daten für Maximalfarbe (Ma): $LAB^*LAB^*_{Ma}$: 25 45 −53 $LAB^*LCH^*_{Ma}$: 25 70 310 $lab^*olv^*_{Ma}$: 0.0 0.0 1.0 $lab^*rgb^*_{Ma}$: 0.68 0.0 1.0
Dreiecks-Helligkeit t^*

%Umfang u^*_{ue} = 88 %Regularität $g^*_{H,rel}$ = 31 $g^*_{C,rel}$ = 39

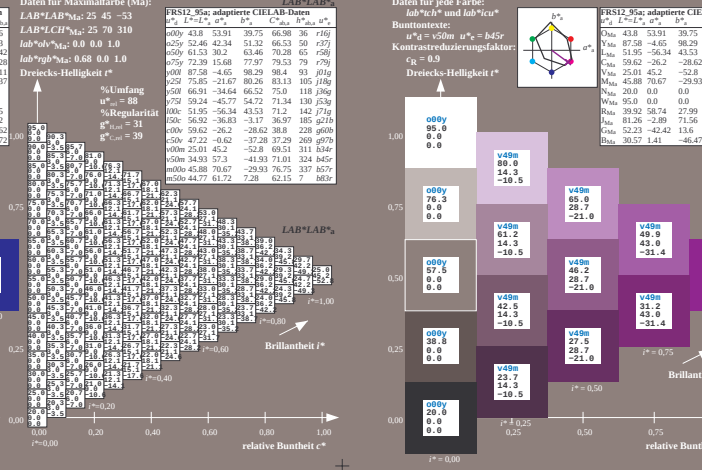

Ein und Ausgabe: Farbmetrisches Drucker-Reflektiv-System FRS12_95a für relativen CIELAB-Buntton $h^* = lab^*h^*$ = $h_{ab}/360 = 0.899$ $u^*_d = b25r$ $LAB^*LAB^*_n$

Daten für jede Farbe: *lab*ch** und *lab*icu**
Buntontexte: $u^*_d = v50m$ $u^*_e = b45r$
Kontrastreduzierungsfaktor: $c_g = 0.9$
Dreiecks-Helligkeit t^*

Daten für Maximalfarbe (Ma): $LAB^*LAB^*_{Ma}$: 35 57 −42 $LAB^*LCH^*_{Ma}$: 35 71 323 $lab^*olv^*_{Ma}$: 0.5 0.0 1.0 $lab^*rgb^*_{Ma}$: 0.92 0.0 1.0
Dreiecks-Helligkeit t^*

%Umfang u^*_{ue} = 88 %Regularität $g^*_{H,rel}$ = 31 $g^*_{C,rel}$ = 39

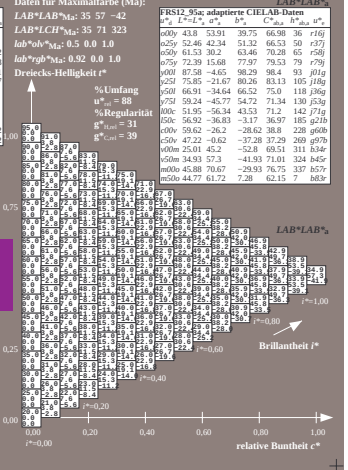

Ein und Ausgabe: Farbmetrisches Drucker-Reflektiv-System FRS12_95a für relativen CIELAB-Buntton $h^* = lab^*h^*$ = $h_{ab}/360 = 0.936$ $u^*_d = b50r$ $LAB^*LAB^*_n$

Daten für jede Farbe: *lab*ch** und *lab*icu**
Buntontexte: $u^*_d = m00a$ $u^*_e = b57r$
Kontrastreduzierungsfaktor: $c_g = 0.9$
Dreiecks-Helligkeit t^*

Daten für Maximalfarbe (Ma): $LAB^*LAB^*_{Ma}$: 46 71 −30 $LAB^*LCH^*_{Ma}$: 46 77 337 $lab^*olv^*_{Ma}$: 1.0 0.0 1.0 $lab^*rgb^*_{Ma}$: 1.0 0.0 0.85
Dreiecks-Helligkeit t^*

%Umfang u^*_{ue} = 88 %Regularität $g^*_{H,rel}$ = 31 $g^*_{C,rel}$ = 39

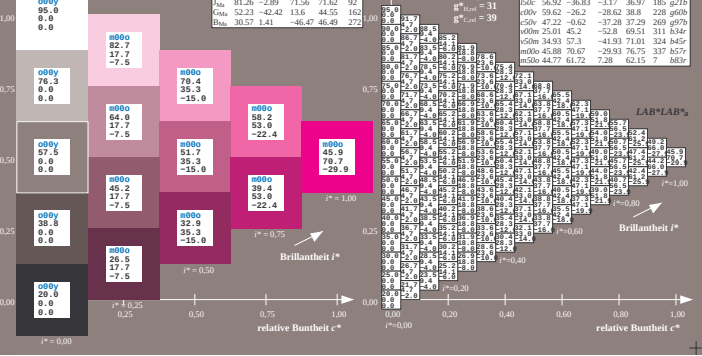

Ein und Ausgabe: Farbmetrisches Drucker-Reflektiv-System FRS12_95a für relativen CIELAB-Buntton $h^* = lab^*h^*$ = $h_{ab}/360 = 0.019$ $u^*_d = b75r$ $LAB^*LAB^*_n$

Daten für jede Farbe: *lab*ch** und *lab*icu**
Buntontexte: $u^*_d = m50a$ $u^*_e = b83r$
Kontrastreduzierungsfaktor: $c_g = 0.9$
Dreiecks-Helligkeit t^*

Daten für Maximalfarbe (Ma): $LAB^*LAB^*_{Ma}$: 45 62 7 $LAB^*LCH^*_{Ma}$: 45 62 6 $lab^*olv^*_{Ma}$: 1.0 0.0 0.5 $lab^*rgb^*_{Ma}$: 1.0 0.0 0.33
Dreiecks-Helligkeit t^*

%Umfang u^*_{ue} = 88 %Regularität $g^*_{H,rel}$ = 31 $g^*_{C,rel}$ = 39

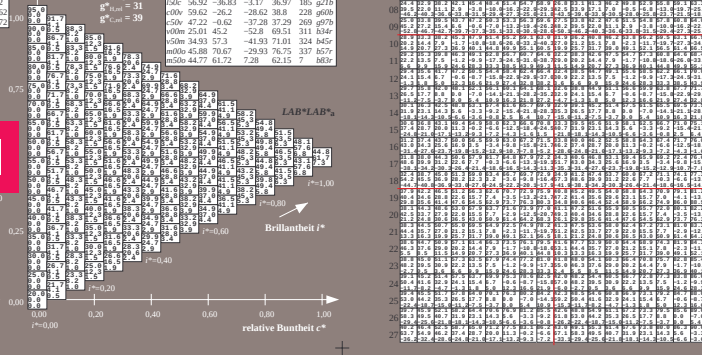

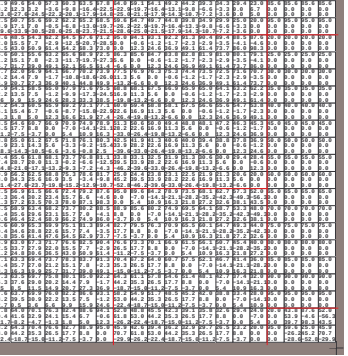

Ein und Ausgabe: Farbmetrisches Drucker-Reflektiv-System FRS12_95a für nativen CIELAB-Button $h^* = lab^*h^* = h_{lab}/360 = 0.395$ $u^*_d = g00b$ $LAB^*LCH^*_a$

Daten für jede Farbe: *lab*ch** und *lab*icu**
Buntontexte: $u^*_d = l00c$ $u^*_e = j71g$
Kontrastreduzierungsfaktor: $c_R = 0.9$
Dreiecks-Helligkeit t^*

Daten für Maximalfarbe (Ma): $LAB^*LAB^*_{Ma}$: 52 −56 44 $LAB^*LCH^*_{Ma}$: 52 71 142 $lab^*olv^*_{Ma}$: 0.0 1.0 0.0 $lab^*rgb^*_{Ma}$: 0.28 1.0 0.0
Dreiecks-Helligkeit t^*

%Umfang $u^*_{rc} = 88$ %Regularität $g^*_{H,rel} = 31$ $g^*_{C,rel} = 39$

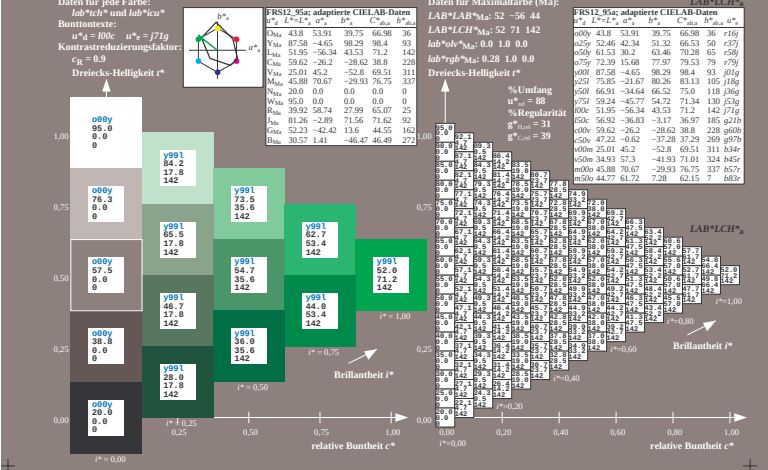

Ein und Ausgabe: Farbmetrisches Drucker-Reflektiv-System FRS12_95a für nativen CIELAB-Button $h^* = lab^*h^* = h_{lab}/360 = 0.514$ $u^*_d = g25b$ $LAB^*LCH^*_a$

Daten für jede Farbe: *lab*ch** und *lab*icu**
Buntontexte: $u^*_d = l50c$ $u^*_e = g21b$
Kontrastreduzierungsfaktor: $c_R = 0.9$
Dreiecks-Helligkeit t^*

Daten für Maximalfarbe (Ma): $LAB^*LAB^*_{Ma}$: 57 −37 −3 $LAB^*LCH^*_{Ma}$: 57 37 184 $lab^*olv^*_{Ma}$: 0.0 1.0 0.5 $lab^*rgb^*_{Ma}$: 0.0 1.0 0.41
Dreiecks-Helligkeit t^*

%Umfang $u^*_{rc} = 88$ %Regularität $g^*_{H,rel} = 31$ $g^*_{C,rel} = 39$

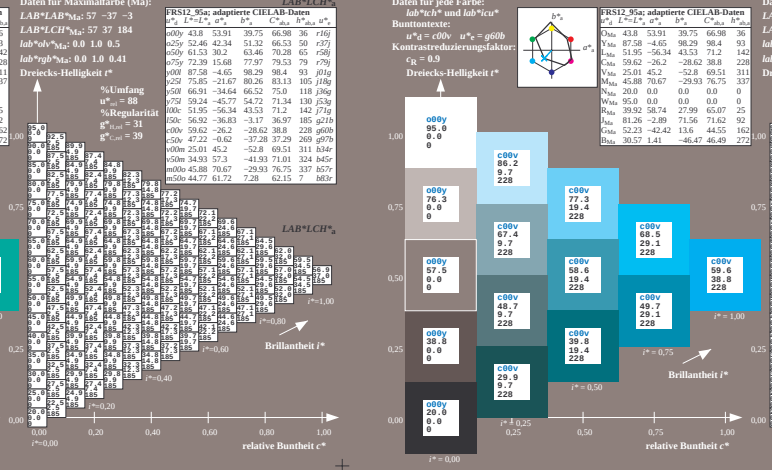

Ein und Ausgabe: Farbmetrisches Drucker-Reflektiv-System FRS12_95a für nativen CIELAB-Button $h^* = lab^*h^* = h_{lab}/360 = 0.632$ $u^*_d = g50b$ $LAB^*LCH^*_a$

Daten für jede Farbe: *lab*ch** und *lab*icu**
Buntontexte: $u^*_d = c00v$ $u^*_e = g60b$
Kontrastreduzierungsfaktor: $c_R = 0.9$
Dreiecks-Helligkeit t^*

Daten für Maximalfarbe (Ma): $LAB^*LAB^*_{Ma}$: 60 −26 −29 $LAB^*LCH^*_{Ma}$: 60 39 227 $lab^*olv^*_{Ma}$: 0.0 1.0 1.0 $lab^*rgb^*_{Ma}$: 0.0 0.81 1.0
Dreiecks-Helligkeit t^*

%Umfang $u^*_{rc} = 88$ %Regularität $g^*_{H,rel} = 31$ $g^*_{C,rel} = 39$

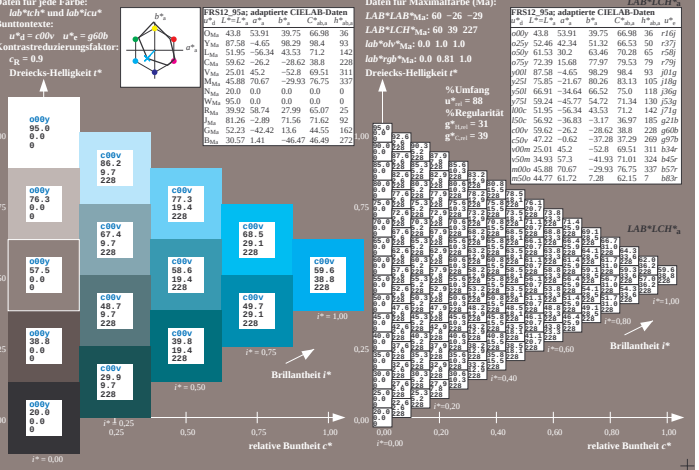

Ein und Ausgabe: Farbmetrisches Drucker-Reflektiv-System FRS12_95a für nativen CIELAB-Button $h^* = lab^*h^* = h_{lab}/360 = 0.747$ $u^*_d = g75b$ $LAB^*LCH^*_a$

Daten für jede Farbe: *lab*ch** und *lab*icu**
Buntontexte: $u^*_d = c50v$ $u^*_e = g97b$
Kontrastreduzierungsfaktor: $c_R = 0.9$
Dreiecks-Helligkeit t^*

Daten für Maximalfarbe (Ma): $LAB^*LAB^*_{Ma}$: 47 −1 −37 $LAB^*LCH^*_{Ma}$: 47 37 269 $lab^*olv^*_{Ma}$: 0.0 0.5 1.0 $lab^*rgb^*_{Ma}$: 0.0 0.05 1.0
Dreiecks-Helligkeit t^*

%Umfang $u^*_{rc} = 88$ %Regularität $g^*_{H,rel} = 31$ $g^*_{C,rel} = 39$

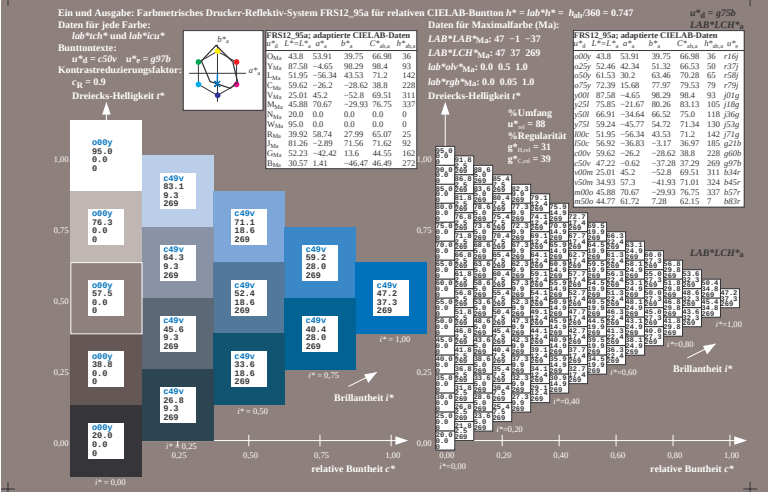

Ein und Ausgabe: Farbmetrisches Drucker-Reflektiv-System FRS12_95a für nativen CIELAB-Button $h^* = lab^*h^* = h_{lab}/360 = 0.863$ $u^*_d = b00r$ $LAB^*LCH^*_a$

Daten für jede Farbe: *lab*ch** und *lab*icu**
Buntontexte: $u^*_d = v00m$ $u^*_e = b34r$
Kontrastreduzierungsfaktor: $c_R = 0.9$
Dreiecks-Helligkeit t^*

Daten für Maximalfarbe (Ma): $LAB^*LAB^*_{Ma}$: 25 45 −53 $LAB^*LCH^*_{Ma}$: 25 70 310 $lab^*olv^*_{Ma}$: 0.0 0.0 1.0 $lab^*rgb^*_{Ma}$: 0.68 0.0 1.0
Dreiecks-Helligkeit t^*

%Umfang $u^*_{rc} = 88$ %Regularität $g^*_{H,rel} = 31$ $g^*_{C,rel} = 39$

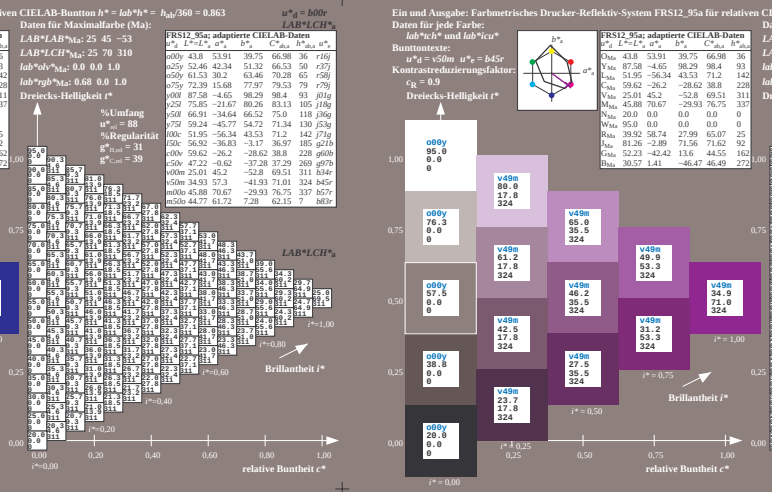

Ein und Ausgabe: Farbmetrisches Drucker-Reflektiv-System FRS12_95a für nativen CIELAB-Button $h^* = lab^*h^* = h_{lab}/360 = 0.899$ $u^*_d = b25r$ $LAB^*LCH^*_a$

Daten für jede Farbe: *lab*ch** und *lab*icu**
Buntontexte: $u^*_d = v50m$ $u^*_e = b45r$
Kontrastreduzierungsfaktor: $c_R = 0.9$
Dreiecks-Helligkeit t^*

Daten für Maximalfarbe (Ma): $LAB^*LAB^*_{Ma}$: 35 57 −42 $LAB^*LCH^*_{Ma}$: 35 71 323 $lab^*olv^*_{Ma}$: 0.5 0.0 1.0 $lab^*rgb^*_{Ma}$: 0.92 0.0 1.0
Dreiecks-Helligkeit t^*

%Umfang $u^*_{rc} = 88$ %Regularität $g^*_{H,rel} = 31$ $g^*_{C,rel} = 39$

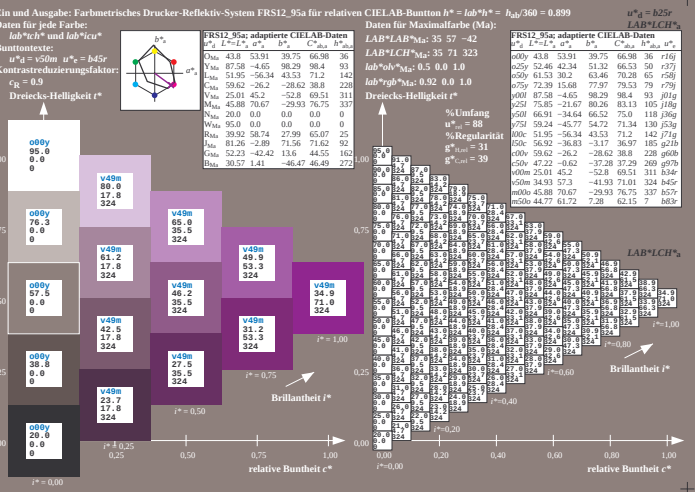

Ein und Ausgabe: Farbmetrisches Drucker-Reflektiv-System FRS12_95a für nativen CIELAB-Button $h^* = lab^*h^* = h_{lab}/360 = 0.936$ $u^*_d = b50r$ $LAB^*LCH^*_a$

Daten für jede Farbe: *lab*ch** und *lab*icu**
Buntontexte: $u^*_d = m00a$ $u^*_e = b57r$
Kontrastreduzierungsfaktor: $c_R = 0.9$
Dreiecks-Helligkeit t^*

Daten für Maximalfarbe (Ma): $LAB^*LAB^*_{Ma}$: 46 71 −30 $LAB^*LCH^*_{Ma}$: 46 77 337 $lab^*olv^*_{Ma}$: 1.0 0.0 1.0 $lab^*rgb^*_{Ma}$: 1.0 0.0 0.85
Dreiecks-Helligkeit t^*

%Umfang $u^*_{rc} = 88$ %Regularität $g^*_{H,rel} = 31$ $g^*_{C,rel} = 39$

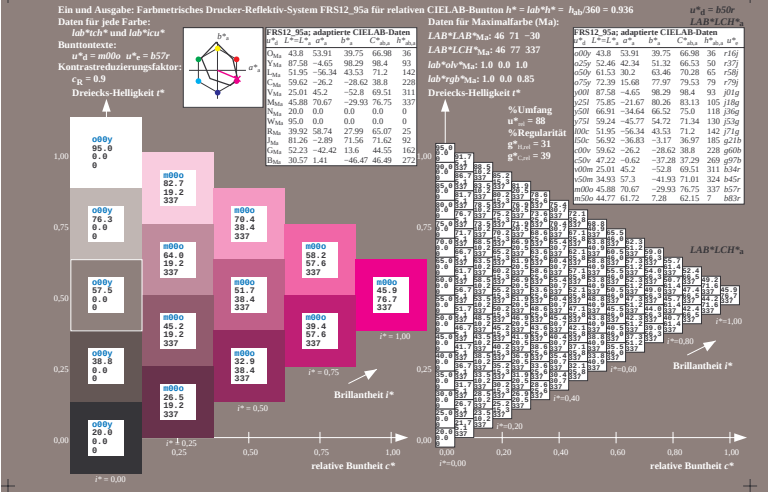

Ein und Ausgabe: Farbmetrisches Drucker-Reflektiv-System FRS12_95a für nativen CIELAB-Button $h^* = lab^*h^* = h_{lab}/360 = 0.019$ $u^*_d = b75r$ $LAB^*LCH^*_a$

Daten für jede Farbe: *lab*ch** und *lab*icu**
Buntontexte: $u^*_d = m50a$ $u^*_e = b83r$
Kontrastreduzierungsfaktor: $c_R = 0.9$
Dreiecks-Helligkeit t^*

Daten für Maximalfarbe (Ma): $LAB^*LAB^*_{Ma}$: 45 62 7 $LAB^*LCH^*_{Ma}$: 45 62 6 $lab^*olv^*_{Ma}$: 1.0 0.0 0.5 $lab^*rgb^*_{Ma}$: 1.0 0.0 0.33
Dreiecks-Helligkeit t^*

%Umfang $u^*_{rc} = 88$ %Regularität $g^*_{H,rel} = 31$ $g^*_{C,rel} = 39$

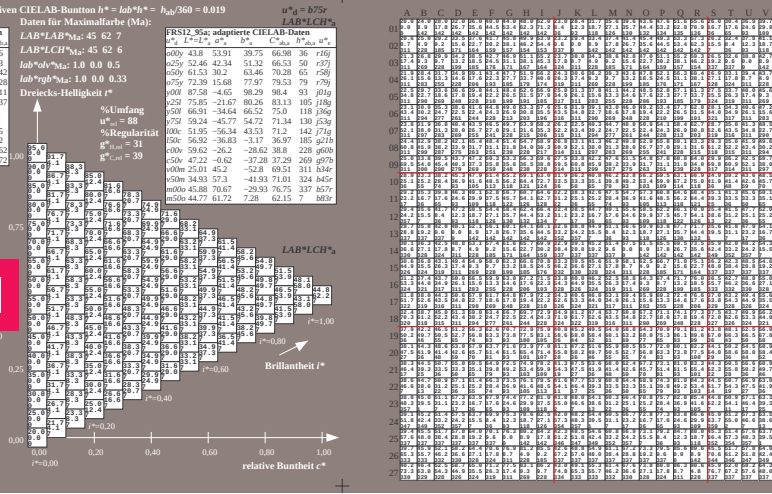

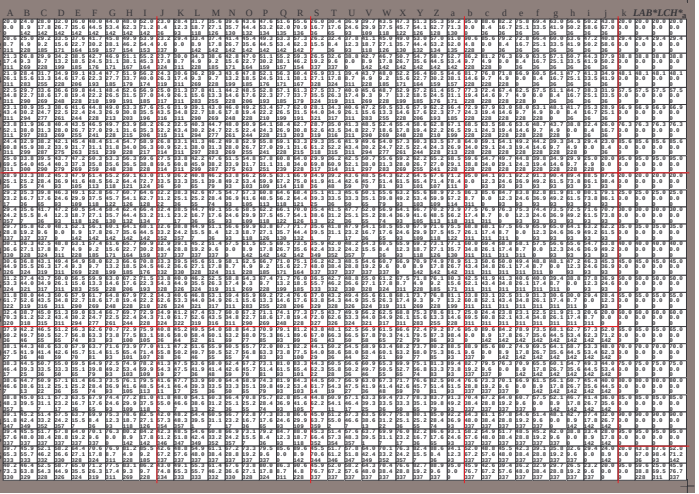

Ein und Ausgabe: Farbmetrisches Drucker-Reflektiv-System FRS12_95a für relativen CIELAB-Buntton $h^*=lab^*h^*=$ $h_{ab}/360=0.395$ $u^*_d=g00b$

Daten für jede Farbe: *lab*ch** und *lab*icu**
Buntton texte: $u^*_d=l00c$ $u^*_e=j71g$
Kontrastreduzierungsfaktor: $c_R=0.9$
Dreiecks-Helligkeit t^*

Daten für Maximalfarbe (Ma): $LAB^*LAB^*_{Ma}$: 52 −56 44 $LAB^*LCH^*_{Ma}$: 52 71 142 $lab^*olv^*_{Ma}$: 0.0 1.0 0.0 $lab^*rgb^*_{Ma}$: 0.28 1.0 0.0
Dreiecks-Helligkeit t^*

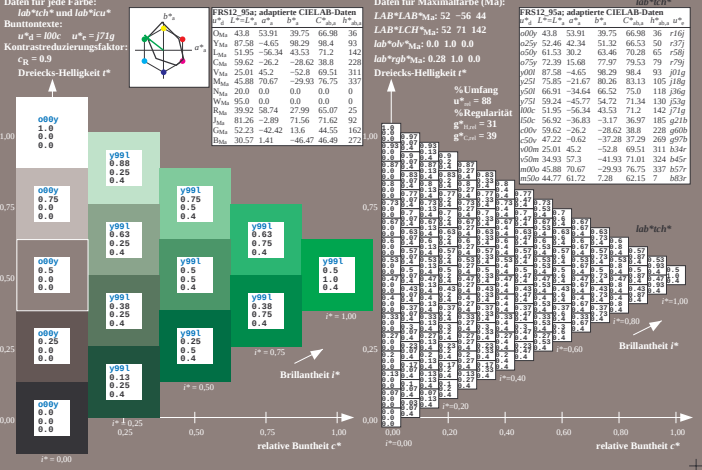

Ein und Ausgabe: Farbmetrisches Drucker-Reflektiv-System FRS12_95a für relativen CIELAB-Buntton $h^*=lab^*h^*=$ $h_{ab}/360=0.514$ $u^*_d=g25b$

Daten für jede Farbe: *lab*ch** und *lab*icu**
Buntton texte: $u^*_d=l50c$ $u^*_e=g21b$
Kontrastreduzierungsfaktor: $c_R=0.9$
Dreiecks-Helligkeit t^*

Daten für Maximalfarbe (Ma): $LAB^*LAB^*_{Ma}$: 57 −37 −3 $LAB^*LCH^*_{Ma}$: 57 37 184 $lab^*olv^*_{Ma}$: 0.0 1.0 0.5 $lab^*rgb^*_{Ma}$: 0.0 1.0 0.41
Dreiecks-Helligkeit t^*

Ein und Ausgabe: Farbmetrisches Drucker-Reflektiv-System FRS12_95a für relativen CIELAB-Buntton $h^*=lab^*h^*=$ $h_{ab}/360=0.632$ $u^*_d=g50b$

Daten für jede Farbe: *lab*ch** und *lab*icu**
Buntton texte: $u^*_d=c00v$ $u^*_e=g60b$
Kontrastreduzierungsfaktor: $c_R=0.9$
Dreiecks-Helligkeit t^*

Daten für Maximalfarbe (Ma): $LAB^*LAB^*_{Ma}$: 60 −26 −29 $LAB^*LCH^*_{Ma}$: 60 39 227 $lab^*olv^*_{Ma}$: 0.0 1.0 1.0 $lab^*rgb^*_{Ma}$: 0.0 0.81 1.0
Dreiecks-Helligkeit t^*

Ein und Ausgabe: Farbmetrisches Drucker-Reflektiv-System FRS12_95a für relativen CIELAB-Buntton $h^*=lab^*h^*=$ $h_{ab}/360=0.747$ $u^*_d=g75b$

Daten für jede Farbe: *lab*ch** und *lab*icu**
Buntton texte: $u^*_d=c50v$ $u^*_e=g97b$
Kontrastreduzierungsfaktor: $c_R=0.9$
Dreiecks-Helligkeit t^*

Daten für Maximalfarbe (Ma): $LAB^*LAB^*_{Ma}$: 47 −1 −37 $LAB^*LCH^*_{Ma}$: 47 37 269 $lab^*olv^*_{Ma}$: 0.0 0.5 1.0 $lab^*rgb^*_{Ma}$: 0.0 0.05 1.0
Dreiecks-Helligkeit t^*

Ein und Ausgabe: Farbmetrisches Drucker-Reflektiv-System FRS12_95a für relativen CIELAB-Buntton $h^*=lab^*h^*=$ $h_{ab}/360=0.863$ $u^*_d=b00r$

Daten für jede Farbe: *lab*ch** und *lab*icu**
Buntton texte: $u^*_d=v00m$ $u^*_e=b34r$
Kontrastreduzierungsfaktor: $c_R=0.9$
Dreiecks-Helligkeit t^*

Daten für Maximalfarbe (Ma): $LAB^*LAB^*_{Ma}$: 25 45 −53 $LAB^*LCH^*_{Ma}$: 25 70 310 $lab^*olv^*_{Ma}$: 0.0 0.0 1.0 $lab^*rgb^*_{Ma}$: 0.68 0.0 1.0
Dreiecks-Helligkeit t^*

Ein und Ausgabe: Farbmetrisches Drucker-Reflektiv-System FRS12_95a für relativen CIELAB-Buntton $h^*=lab^*h^*=$ $h_{ab}/360=0.899$ $u^*_d=b25r$

Daten für jede Farbe: *lab*ch** und *lab*icu**
Buntton texte: $u^*_d=v50m$ $u^*_e=b45r$
Kontrastreduzierungsfaktor: $c_R=0.9$
Dreiecks-Helligkeit t^*

Daten für Maximalfarbe (Ma): $LAB^*LAB^*_{Ma}$: 35 57 −42 $LAB^*LCH^*_{Ma}$: 35 71 323 $lab^*olv^*_{Ma}$: 0.5 0.0 1.0 $lab^*rgb^*_{Ma}$: 0.92 0.0 1.0
Dreiecks-Helligkeit t^*

Ein und Ausgabe: Farbmetrisches Drucker-Reflektiv-System FRS12_95a für relativen CIELAB-Buntton $h^*=lab^*h^*=$ $h_{ab}/360=0.936$ $u^*_d=b50r$

Daten für jede Farbe: *lab*ch** und *lab*icu**
Buntton texte: $u^*_d=m00a$ $u^*_e=b57r$
Kontrastreduzierungsfaktor: $c_R=0.9$
Dreiecks-Helligkeit t^*

Daten für Maximalfarbe (Ma): $LAB^*LAB^*_{Ma}$: 46 71 −30 $LAB^*LCH^*_{Ma}$: 46 77 337 $lab^*olv^*_{Ma}$: 1.0 0.0 1.0 $lab^*rgb^*_{Ma}$: 1.0 0.0 0.85
Dreiecks-Helligkeit t^*

Ein und Ausgabe: Farbmetrisches Drucker-Reflektiv-System FRS12_95a für relativen CIELAB-Buntton $h^*=lab^*h^*=$ $h_{ab}/360=0.019$ $u^*_d=b75r$

Daten für jede Farbe: *lab*ch** und *lab*icu**
Buntton texte: $u^*_d=m50a$ $u^*_e=b83r$
Kontrastreduzierungsfaktor: $c_R=0.9$
Dreiecks-Helligkeit t^*

Daten für Maximalfarbe (Ma): $LAB^*LAB^*_{Ma}$: 45 62 7 $LAB^*LCH^*_{Ma}$: 45 62 6 $lab^*olv^*_{Ma}$: 1.0 0.0 0.5 $lab^*rgb^*_{Ma}$: 1.0 0.0 0.33
Dreiecks-Helligkeit t^*

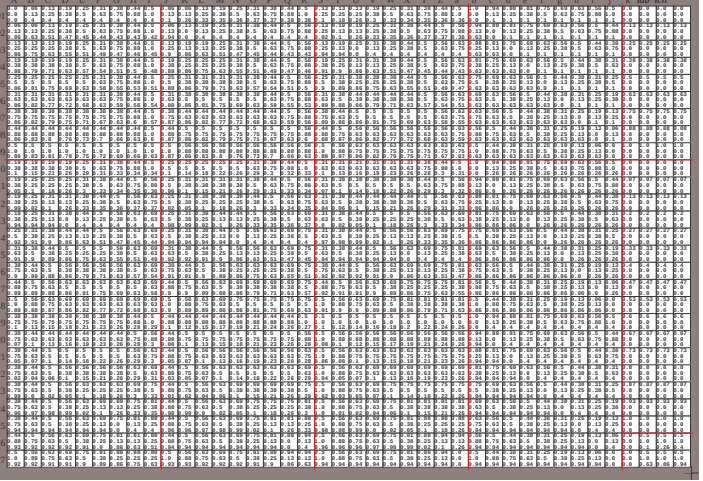

Ein und Ausgabe: Farbmetrisches Drucker-Reflektiv-System FRS12_95a für relativen CIELAB-Buntton h^* = *lab*h*h** = h_{ab}/360 = 0.395 u^*_d = *g00b* *lab**icu*$_c$

Daten für jede Farbe: *lab**ch* und *lab**icu*
Buntton: u^*_d = *l00c* u^*_c = *j71g*
Kontrastreduzierungsfaktor: c_g = 0.9
Dreiecks-Helligkeit *t**

Daten für Maximalfarbe (Ma):
*LAB*LAB**$_{Ma}$: 52 −56 44
*LAB*LCH**$_{Ma}$: 52 71 142
*lab*ovl**$_{Ma}$: 0.0 1.0 0.0
*lab*rgb**$_{Ma}$: 0.28 1.0 0.0
Dreiecks-Helligkeit *t**

%Umfang u^*_{ro} = 88
%Regularität $g^*_{H,rel}$ = 31
$g^*_{C,rel}$ = 39

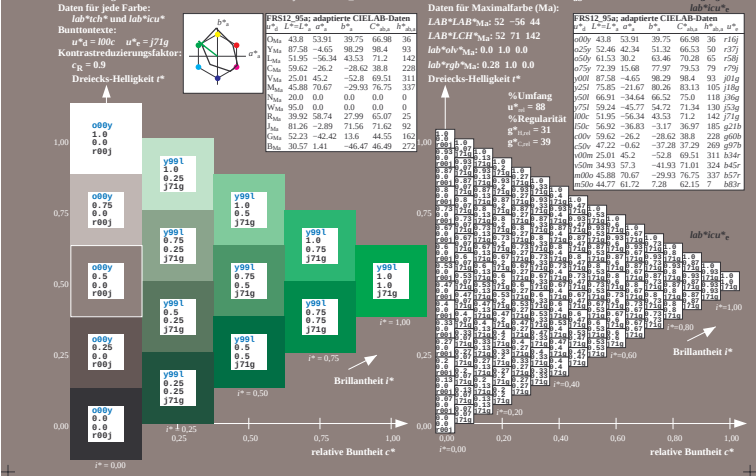

Ein und Ausgabe: Farbmetrisches Drucker-Reflektiv-System FRS12_95a für relativen CIELAB-Buntton h^* = *lab*h*h** = h_{ab}/360 = 0.514 u^*_d = *g25b* *lab**icu*$_c$

Daten für jede Farbe: *lab**ch* und *lab**icu*
Buntton: u^*_d = *l50c* u^*_c = *g21b*
Kontrastreduzierungsfaktor: c_g = 0.9
Dreiecks-Helligkeit *t**

Daten für Maximalfarbe (Ma):
*LAB*LAB**$_{Ma}$: 57 −37 −3
*LAB*LCH**$_{Ma}$: 57 37 184
*lab*ovl**$_{Ma}$: 0.0 1.0 0.5
*lab*rgb**$_{Ma}$: 0.0 1.0 0.41
Dreiecks-Helligkeit *t**

%Umfang u^*_{ro} = 88
%Regularität $g^*_{H,rel}$ = 31
$g^*_{C,rel}$ = 39

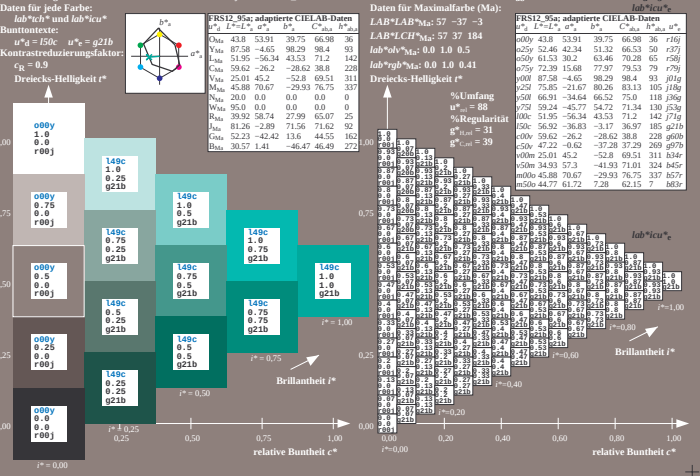

Ein und Ausgabe: Farbmetrisches Drucker-Reflektiv-System FRS12_95a für relativen CIELAB-Buntton h^* = *lab*h*h** = h_{ab}/360 = 0.632 u^*_d = *g50b* *lab**icu*$_c$

Daten für jede Farbe: *lab**ch* und *lab**icu*
Buntton: u^*_d = *c00v* u^*_c = *g60b*
Kontrastreduzierungsfaktor: c_g = 0.9
Dreiecks-Helligkeit *t**

Daten für Maximalfarbe (Ma):
*LAB*LAB**$_{Ma}$: 60 −26 −29
*LAB*LCH**$_{Ma}$: 60 39 227
*lab*ovl**$_{Ma}$: 0.0 1.0 1.0
*lab*rgb**$_{Ma}$: 0.0 0.81 1.0
Dreiecks-Helligkeit *t**

%Umfang u^*_{ro} = 88
%Regularität $g^*_{H,rel}$ = 31
$g^*_{C,rel}$ = 39

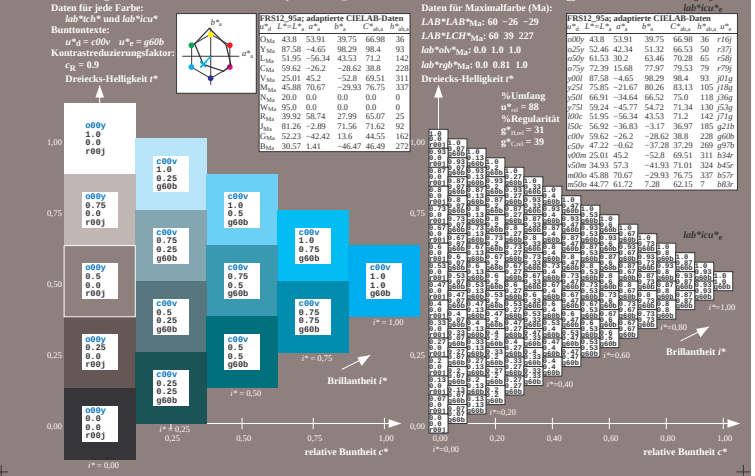

Ein und Ausgabe: Farbmetrisches Drucker-Reflektiv-System FRS12_95a für relativen CIELAB-Buntton h^* = *lab*h*h** = h_{ab}/360 = 0.747 u^*_d = *g75b* *lab**icu*$_c$

Daten für jede Farbe: *lab**ch* und *lab**icu*
Buntton: u^*_d = *c50v* u^*_c = *g97b*
Kontrastreduzierungsfaktor: c_g = 0.9
Dreiecks-Helligkeit *t**

Daten für Maximalfarbe (Ma):
*LAB*LAB**$_{Ma}$: 47 −1 −37
*LAB*LCH**$_{Ma}$: 47 37 269
*lab*ovl**$_{Ma}$: 0.0 0.5 1.0
*lab*rgb**$_{Ma}$: 0.0 0.05 1.0
Dreiecks-Helligkeit *t**

%Umfang u^*_{ro} = 88
%Regularität $g^*_{H,rel}$ = 31
$g^*_{C,rel}$ = 39

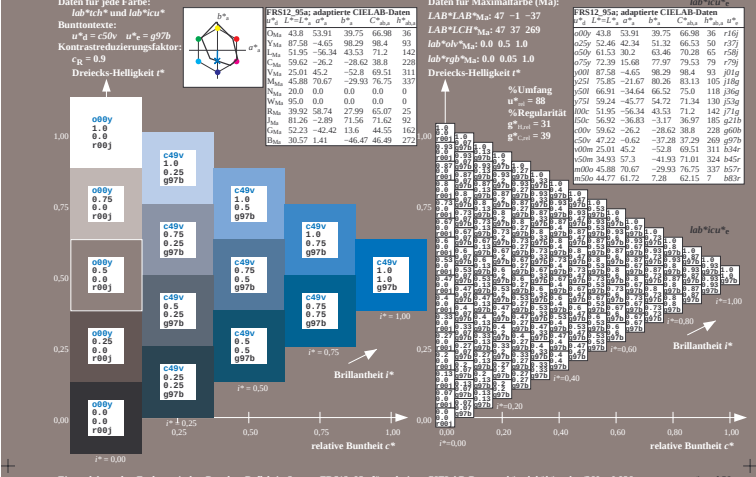

Ein und Ausgabe: Farbmetrisches Drucker-Reflektiv-System FRS12_95a für relativen CIELAB-Buntton h^* = *lab*h*h** = h_{ab}/360 = 0.863 u^*_d = *b00r* *lab**icu*$_c$

Daten für jede Farbe: *lab**ch* und *lab**icu*
Buntton: u^*_d = *v00m* u^*_c = *b34r*
Kontrastreduzierungsfaktor: c_g = 0.9
Dreiecks-Helligkeit *t**

Daten für Maximalfarbe (Ma):
*LAB*LAB**$_{Ma}$: 25 45 −53
*LAB*LCH**$_{Ma}$: 25 70 310
*lab*ovl**$_{Ma}$: 0.0 0.0 1.0
*lab*rgb**$_{Ma}$: 0.68 0.0 1.0
Dreiecks-Helligkeit *t**

%Umfang u^*_{ro} = 88
%Regularität $g^*_{H,rel}$ = 31
$g^*_{C,rel}$ = 39

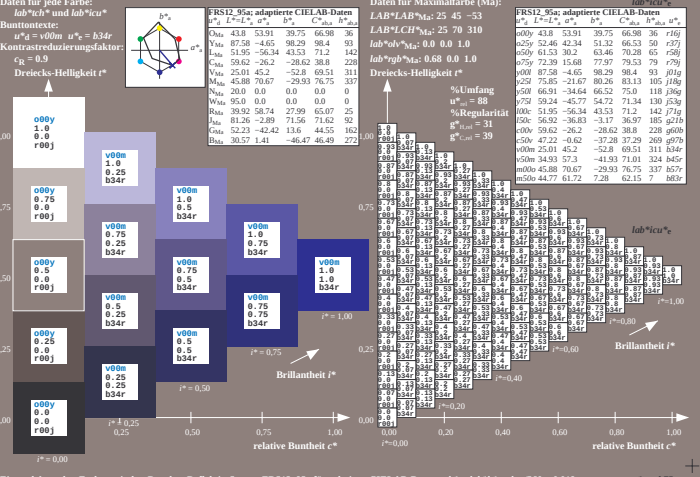

Ein und Ausgabe: Farbmetrisches Drucker-Reflektiv-System FRS12_95a für relativen CIELAB-Buntton h^* = *lab*h*h** = h_{ab}/360 = 0.899 u^*_d = *b25r* *lab**icu*$_c$

Daten für jede Farbe: *lab**ch* und *lab**icu*
Buntton: u^*_d = *v50m* u^*_c = *b45r*
Kontrastreduzierungsfaktor: c_g = 0.9
Dreiecks-Helligkeit *t**

Daten für Maximalfarbe (Ma):
*LAB*LAB**$_{Ma}$: 35 57 −42
*LAB*LCH**$_{Ma}$: 35 71 323
*lab*ovl**$_{Ma}$: 0.5 0.0 1.0
*lab*rgb**$_{Ma}$: 0.92 0.0 1.0
Dreiecks-Helligkeit *t**

%Umfang u^*_{ro} = 88
%Regularität $g^*_{H,rel}$ = 31
$g^*_{C,rel}$ = 39

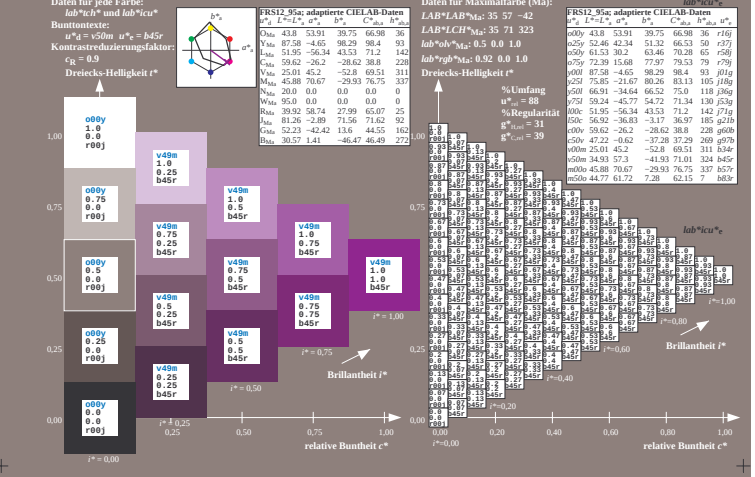

Ein und Ausgabe: Farbmetrisches Drucker-Reflektiv-System FRS12_95a für relativen CIELAB-Buntton h^* = *lab*h*h** = h_{ab}/360 = 0.936 u^*_d = *b50r* *lab**icu*$_c$

Daten für jede Farbe: *lab**ch* und *lab**icu*
Buntton: u^*_d = *m00a* u^*_c = *b57r*
Kontrastreduzierungsfaktor: c_g = 0.9
Dreiecks-Helligkeit *t**

Daten für Maximalfarbe (Ma):
*LAB*LAB**$_{Ma}$: 46 71 −30
*LAB*LCH**$_{Ma}$: 46 77 337
*lab*ovl**$_{Ma}$: 1.0 0.0 1.0
*lab*rgb**$_{Ma}$: 1.0 0.0 0.85
Dreiecks-Helligkeit *t**

%Umfang u^*_{ro} = 88
%Regularität $g^*_{H,rel}$ = 31
$g^*_{C,rel}$ = 39

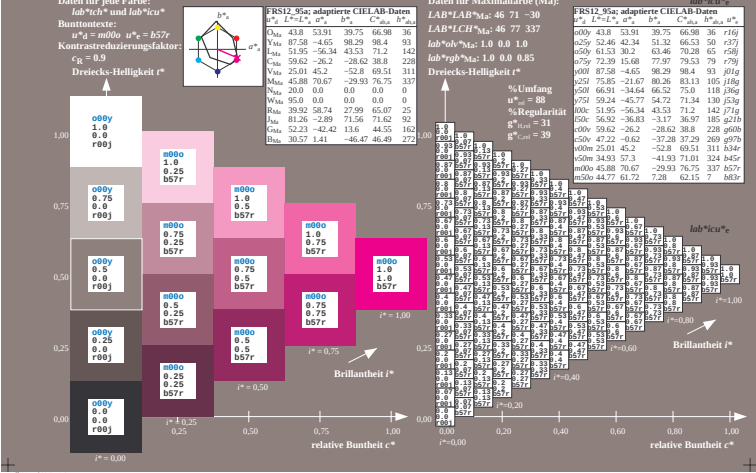

Ein und Ausgabe: Farbmetrisches Drucker-Reflektiv-System FRS12_95a für relativen CIELAB-Buntton h^* = *lab*h*h** = h_{ab}/360 = 0.019 u^*_d = *b75r* *lab**icu*$_c$

Daten für jede Farbe: *lab**ch* und *lab**icu*
Buntton: u^*_d = *m50c* u^*_c = *b83r*
Kontrastreduzierungsfaktor: c_g = 0.9
Dreiecks-Helligkeit *t**

Daten für Maximalfarbe (Ma):
*LAB*LAB**$_{Ma}$: 45 62 7
*LAB*LCH**$_{Ma}$: 45 62 6
*lab*ovl**$_{Ma}$: 1.0 0.0 0.5
*lab*rgb**$_{Ma}$: 1.0 0.0 0.33
Dreiecks-Helligkeit *t**

%Umfang u^*_{ro} = 88
%Regularität $g^*_{H,rel}$ = 31
$g^*_{C,rel}$ = 39

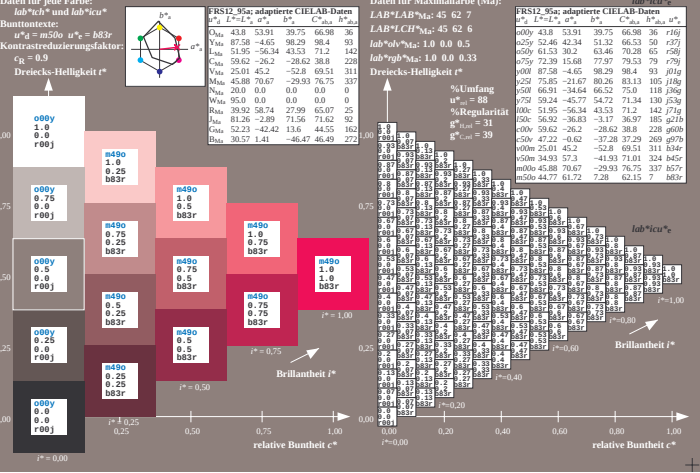

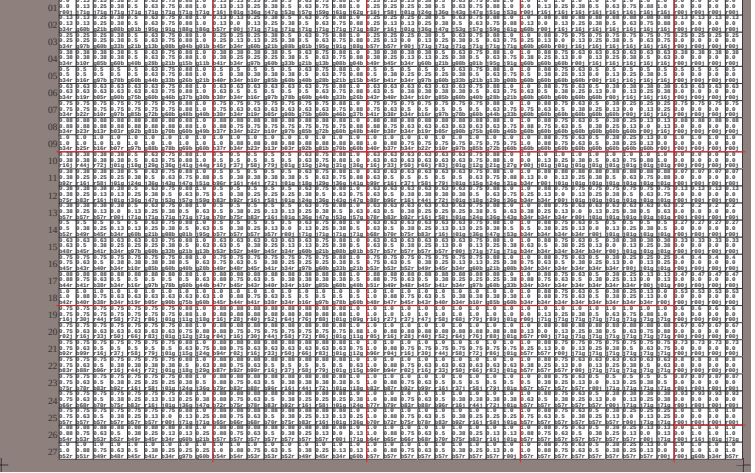

Ein und Ausgabe: Farbmetrisches Drucker-Reflektiv-System FRS12_95a für nativen CIELAB-Buntton h^* = *lab*h** = h_{ab}/360 = 0.395 u^*_d = *g00b*

Daten für jede Farbe: *lab*ch** und *lab*icu**
Buntton: u^*_d = *l00c* u^*_e = *j71g*
Kontrastreduzierungsfaktor: c_g = 0.9
Dreiecks-Helligkeit t^*

Daten für Maximalfarbe (Ma): *LAB*LAB**$_{Ma}$: 52 −56 44 *LAB*LCH*$_{Ma}$: 52 71 142 *lab*ovl*$_{Ma}$: 0.0 1.0 0.0 *lab*rgb*$_{Ma}$: 0.28 1.0 0.0
Dreiecks-Helligkeit t^*

%Umfang u^*_w = 88 %Regularität $g^*_{H,rel}$ = 31 $g^*_{C,rel}$ = 39

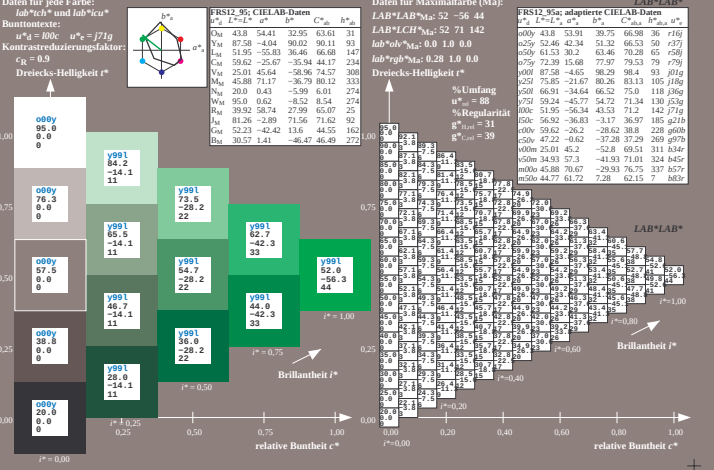

Ein und Ausgabe: Farbmetrisches Drucker-Reflektiv-System FRS12_95a für nativen CIELAB-Buntton h^* = *lab*h** = h_{ab}/360 = 0.514 u^*_d = *g50b*

Daten für jede Farbe: *lab*ch** und *lab*icu**
Buntton: u^*_d = *c00v* u^*_e = *g60b*
Kontrastreduzierungsfaktor: c_g = 0.9
Dreiecks-Helligkeit t^*

Daten für Maximalfarbe (Ma): *LAB*LAB**$_{Ma}$: 60 −26 −29 *LAB*LCH*$_{Ma}$: 60 39 227 *lab*ovl*$_{Ma}$: 0.0 1.0 1.0 *lab*rgb*$_{Ma}$: 0.0 0.81 1.0
Dreiecks-Helligkeit t^*

%Umfang u^*_w = 88 %Regularität $g^*_{H,rel}$ = 31 $g^*_{C,rel}$ = 39

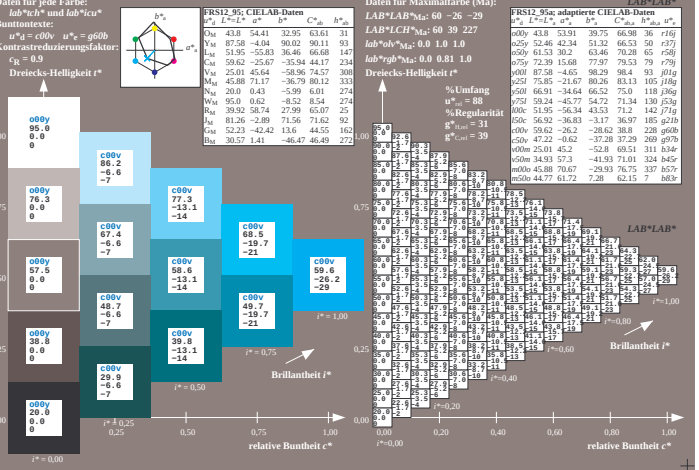

Ein und Ausgabe: Farbmetrisches Drucker-Reflektiv-System FRS12_95a für nativen CIELAB-Buntton h^* = *lab*h** = h_{ab}/360 = 0.747 u^*_d = *g75b*

Daten für jede Farbe: *lab*ch** und *lab*icu**
Buntton: u^*_d = *c50v* u^*_e = *g97b*
Kontrastreduzierungsfaktor: c_g = 0.9
Dreiecks-Helligkeit t^*

Daten für Maximalfarbe (Ma): *LAB*LAB**$_{Ma}$: 47 −1 −37 *LAB*LCH*$_{Ma}$: 47 37 269 *lab*ovl*$_{Ma}$: 0.0 0.5 1.0 *lab*rgb*$_{Ma}$: 0.0 0.05 1.0
Dreiecks-Helligkeit t^*

%Umfang u^*_w = 88 %Regularität $g^*_{H,rel}$ = 31 $g^*_{C,rel}$ = 39

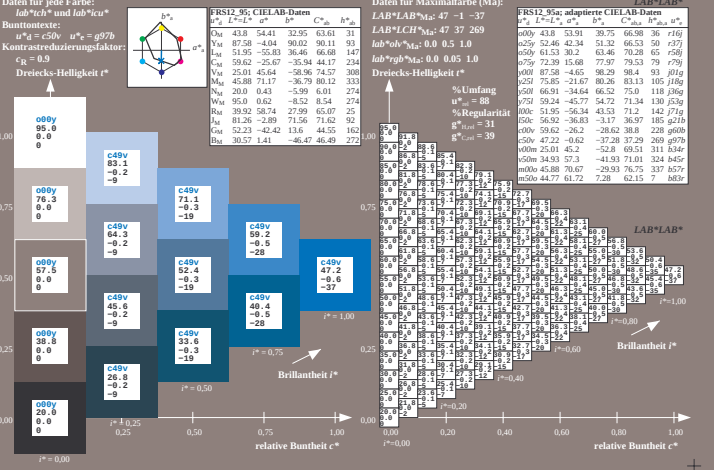

Ein und Ausgabe: Farbmetrisches Drucker-Reflektiv-System FRS12_95a für nativen CIELAB-Buntton h^* = *lab*h** = h_{ab}/360 = 0.863 u^*_d = *b00r*

Daten für jede Farbe: *lab*ch** und *lab*icu**
Buntton: u^*_d = *v00m* u^*_e = *b34r*
Kontrastreduzierungsfaktor: c_g = 0.9
Dreiecks-Helligkeit t^*

Daten für Maximalfarbe (Ma): *LAB*LAB**$_{Ma}$: 25 45 −53 *LAB*LCH*$_{Ma}$: 25 70 310 *lab*ovl*$_{Ma}$: 0.0 0.0 1.0 *lab*rgb*$_{Ma}$: 0.68 0.0 1.0
Dreiecks-Helligkeit t^*

%Umfang u^*_w = 88 %Regularität $g^*_{H,rel}$ = 31 $g^*_{C,rel}$ = 39

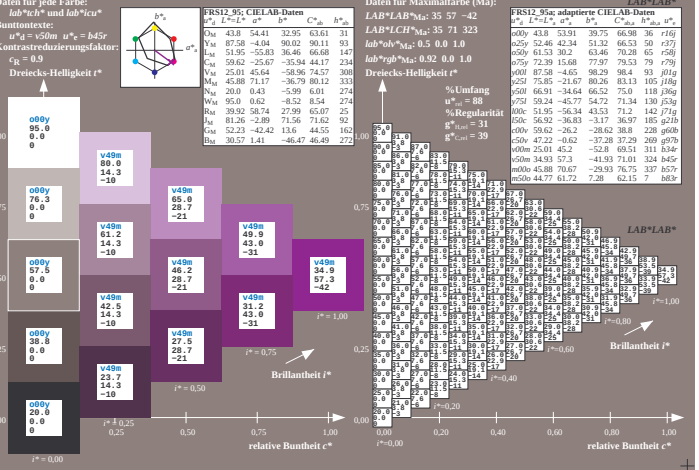

Ein und Ausgabe: Farbmetrisches Drucker-Reflektiv-System FRS12_95a für nativen CIELAB-Buntton h^* = *lab*h** = h_{ab}/360 = 0.936 u^*_d = *b50r*

Daten für jede Farbe: *lab*ch** und *lab*icu**
Buntton: u^*_d = *m00a* u^*_e = *b57r*
Kontrastreduzierungsfaktor: c_g = 0.9
Dreiecks-Helligkeit t^*

Daten für Maximalfarbe (Ma): *LAB*LAB**$_{Ma}$: 46 71 −30 *LAB*LCH*$_{Ma}$: 46 77 337 *lab*ovl*$_{Ma}$: 1.0 0.0 1.0 *lab*rgb*$_{Ma}$: 1.0 0.0 0.85
Dreiecks-Helligkeit t^*

%Umfang u^*_w = 88 %Regularität $g^*_{H,rel}$ = 31 $g^*_{C,rel}$ = 39

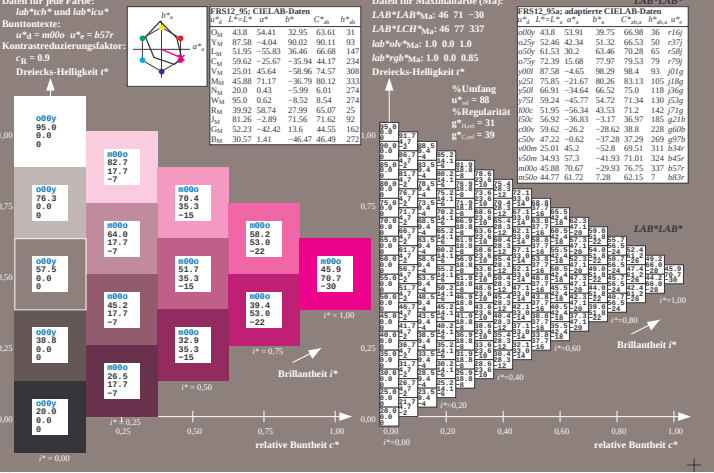

Ein und Ausgabe: Farbmetrisches Drucker-Reflektiv-System FRS12_95a für nativen CIELAB-Buntton h^* = *lab*h** = h_{ab}/360 = 0.019 u^*_d = *b75r*

Daten für jede Farbe: *lab*ch** und *lab*icu**
Buntton: u^*_d = *m50a* u^*_e = *b83r*
Kontrastreduzierungsfaktor: c_g = 0.9
Dreiecks-Helligkeit t^*

Daten für Maximalfarbe (Ma): *LAB*LAB**$_{Ma}$: 45 62 7 *LAB*LCH*$_{Ma}$: 45 62 6 *lab*ovl*$_{Ma}$: 1.0 0.0 0.5 *lab*rgb*$_{Ma}$: 1.0 0.0 0.33
Dreiecks-Helligkeit t^*

%Umfang u^*_w = 88 %Regularität $g^*_{H,rel}$ = 31 $g^*_{C,rel}$ = 39

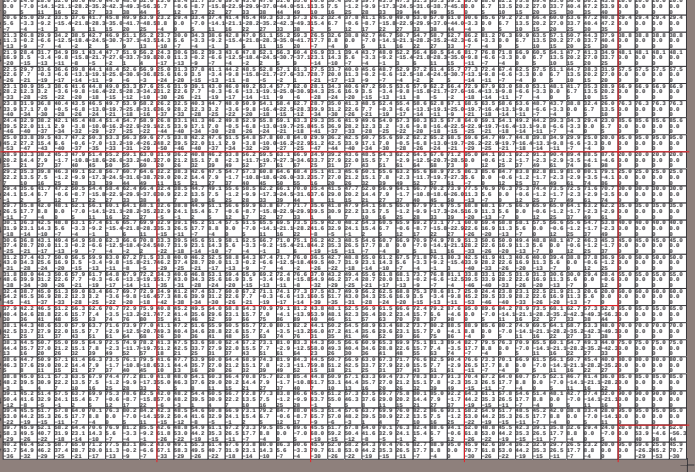

Ein und Ausgabe: Farbmetrisches Drucker-Reflektiv-System FRS12_95a für nativen CIELAB-Buntton $h^* = lab^*h^* = h_{ab}/360 = 0.395$ $u^*_d = g00b$ lab^*olv^{*}

Daten für jede Farbe: *lab*ch** und *lab*icu**
Buntontexte: $u^*_d = l00c$ $u^*_e = j71g$
Kontrastreduzierungsfaktor: $c_R = 0.9$
Dreiecks-Helligkeit t^*

Daten für Maximalfarbe (Ma): $LAB^*LAB^*_{Ma}$: 52 −56 44 $LAB^*LCH^*_{Ma}$: 52 71 142 $lab^*olv^*_{Ma}$: 0.0 1.0 0.0 $lab^*rgb^*_{Ma}$: 0.28 1.0 0.0
Dreiecks-Helligkeit t^*

%Umfang $u^*_{Um} = 88$ %Regularität $g^*_{H,rel} = 31$ $g^*_{C,rel} = 39$

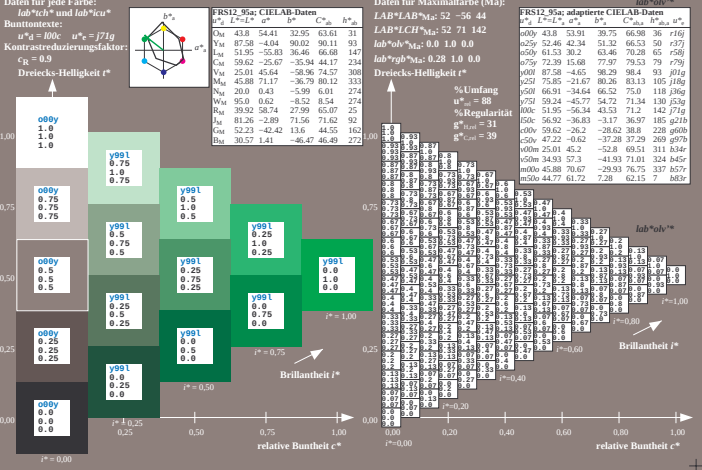

Ein und Ausgabe: Farbmetrisches Drucker-Reflektiv-System FRS12_95a für nativen CIELAB-Buntton $h^* = lab^*h^* = h_{ab}/360 = 0.514$ $u^*_d = g25b$ lab^*olv^{*}

Daten für jede Farbe: *lab*ch** und *lab*icu**
Buntontexte: $u^*_d = l50c$ $u^*_e = g21b$
Kontrastreduzierungsfaktor: $c_R = 0.9$
Dreiecks-Helligkeit t^*

Daten für Maximalfarbe (Ma): $LAB^*LAB^*_{Ma}$: 57 −37 −3 $LAB^*LCH^*_{Ma}$: 57 37 184 $lab^*olv^*_{Ma}$: 0.0 1.0 0.5 $lab^*rgb^*_{Ma}$: 0.0 1.0 0.41
Dreiecks-Helligkeit t^*

%Umfang $u^*_{Um} = 88$ %Regularität $g^*_{H,rel} = 31$ $g^*_{C,rel} = 39$

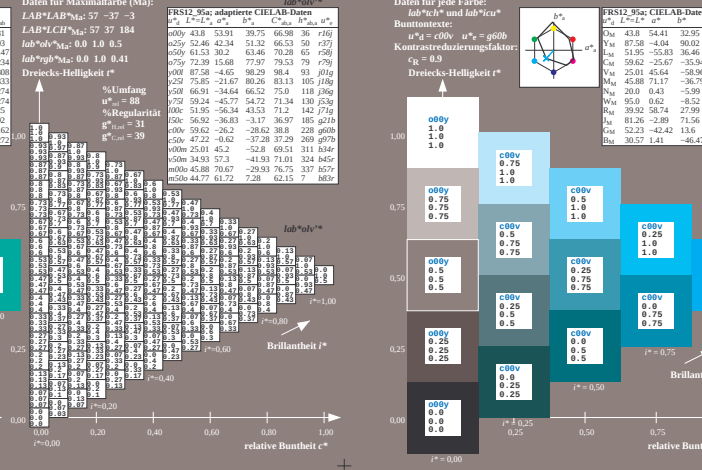

Ein und Ausgabe: Farbmetrisches Drucker-Reflektiv-System FRS12_95a für nativen CIELAB-Buntton $h^* = lab^*h^* = h_{ab}/360 = 0.632$ $u^*_d = g50b$ lab^*olv^{*}

Daten für jede Farbe: *lab*ch** und *lab*icu**
Buntontexte: $u^*_d = c00v$ $u^*_e = g60b$
Kontrastreduzierungsfaktor: $c_R = 0.9$
Dreiecks-Helligkeit t^*

Daten für Maximalfarbe (Ma): $LAB^*LAB^*_{Ma}$: 60 −26 −29 $LAB^*LCH^*_{Ma}$: 60 39 227 $lab^*olv^*_{Ma}$: 0.0 1.0 1.0 $lab^*rgb^*_{Ma}$: 0.0 0.81 1.0
Dreiecks-Helligkeit t^*

%Umfang $u^*_{Um} = 88$ %Regularität $g^*_{H,rel} = 31$ $g^*_{C,rel} = 39$

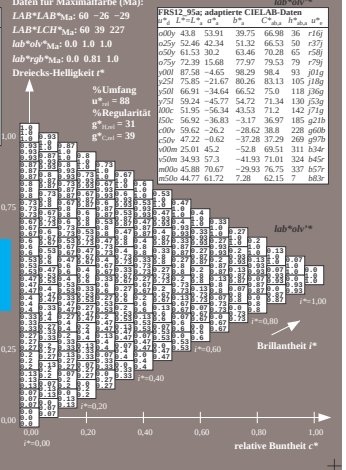

Ein und Ausgabe: Farbmetrisches Drucker-Reflektiv-System FRS12_95a für nativen CIELAB-Buntton $h^* = lab^*h^* = h_{ab}/360 = 0.747$ $u^*_d = g75b$ lab^*olv^{*}

Daten für jede Farbe: *lab*ch** und *lab*icu**
Buntontexte: $u^*_d = c50v$ $u^*_e = g97b$
Kontrastreduzierungsfaktor: $c_R = 0.9$
Dreiecks-Helligkeit t^*

Daten für Maximalfarbe (Ma): $LAB^*LAB^*_{Ma}$: 47 −1 −37 $LAB^*LCH^*_{Ma}$: 47 37 269 $lab^*olv^*_{Ma}$: 0.0 0.05 1.0 $lab^*rgb^*_{Ma}$: 0.0 0.05 1.0
Dreiecks-Helligkeit t^*

%Umfang $u^*_{Um} = 88$ %Regularität $g^*_{H,rel} = 31$ $g^*_{C,rel} = 39$

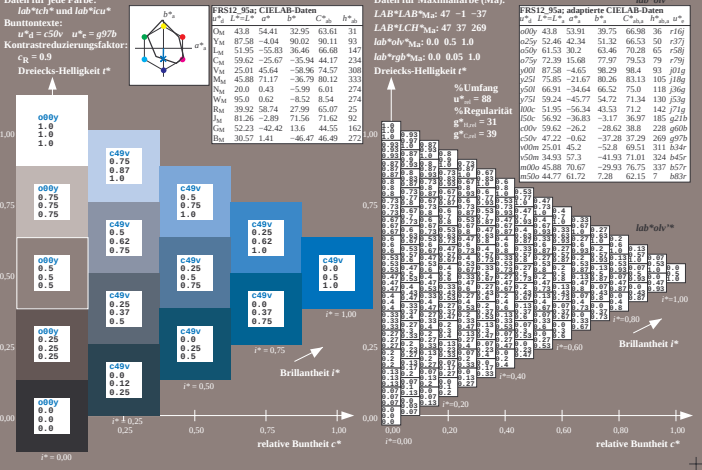

Ein und Ausgabe: Farbmetrisches Drucker-Reflektiv-System FRS12_95a für nativen CIELAB-Buntton $h^* = lab^*h^* = h_{ab}/360 = 0.863$ $u^*_d = b00r$ lab^*olv^{*}

Daten für jede Farbe: *lab*ch** und *lab*icu**
Buntontexte: $u^*_d = v00m$ $u^*_e = b34r$
Kontrastreduzierungsfaktor: $c_R = 0.9$
Dreiecks-Helligkeit t^*

Daten für Maximalfarbe (Ma): $LAB^*LAB^*_{Ma}$: 25 45 −53 $LAB^*LCH^*_{Ma}$: 25 70 310 $lab^*olv^*_{Ma}$: 0.0 0.0 1.0 $lab^*rgb^*_{Ma}$: 0.68 0.0 1.0
Dreiecks-Helligkeit t^*

%Umfang $u^*_{Um} = 88$ %Regularität $g^*_{H,rel} = 31$ $g^*_{C,rel} = 39$

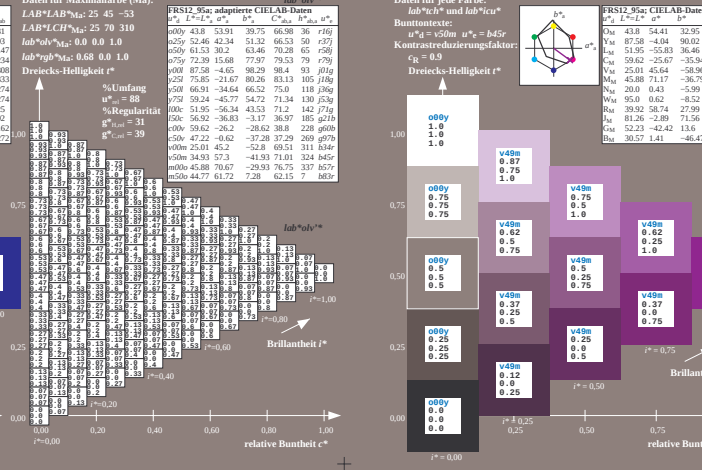

Ein und Ausgabe: Farbmetrisches Drucker-Reflektiv-System FRS12_95a für nativen CIELAB-Buntton $h^* = lab^*h^* = h_{ab}/360 = 0.899$ $u^*_d = b25r$ lab^*olv^{*}

Daten für jede Farbe: *lab*ch** und *lab*icu**
Buntontexte: $u^*_d = v50m$ $u^*_e = b45r$
Kontrastreduzierungsfaktor: $c_R = 0.9$
Dreiecks-Helligkeit t^*

Daten für Maximalfarbe (Ma): $LAB^*LAB^*_{Ma}$: 35 57 −42 $LAB^*LCH^*_{Ma}$: 35 71 323 $lab^*olv^*_{Ma}$: 0.5 0.0 1.0 $lab^*rgb^*_{Ma}$: 0.92 0.0 1.0
Dreiecks-Helligkeit t^*

%Umfang $u^*_{Um} = 88$ %Regularität $g^*_{H,rel} = 31$ $g^*_{C,rel} = 39$

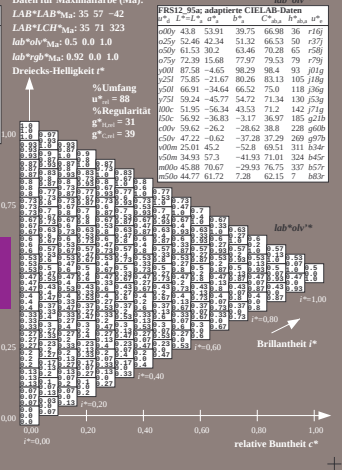

Ein und Ausgabe: Farbmetrisches Drucker-Reflektiv-System FRS12_95a für nativen CIELAB-Buntton $h^* = lab^*h^* = h_{ab}/360 = 0.936$ $u^*_d = b50r$ lab^*olv^{*}

Daten für jede Farbe: *lab*ch** und *lab*icu**
Buntontexte: $u^*_d = m00a$ $u^*_e = b57r$
Kontrastreduzierungsfaktor: $c_R = 0.9$
Dreiecks-Helligkeit t^*

Daten für Maximalfarbe (Ma): $LAB^*LAB^*_{Ma}$: 46 71 −30 $LAB^*LCH^*_{Ma}$: 46 77 337 $lab^*olv^*_{Ma}$: 1.0 0.0 1.0 $lab^*rgb^*_{Ma}$: 1.0 0.0 0.85
Dreiecks-Helligkeit t^*

%Umfang $u^*_{Um} = 88$ %Regularität $g^*_{H,rel} = 31$ $g^*_{C,rel} = 39$

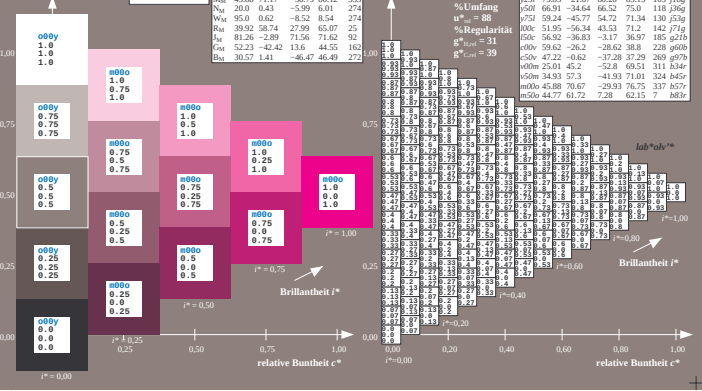

Ein und Ausgabe: Farbmetrisches Drucker-Reflektiv-System FRS12_95a für nativen CIELAB-Buntton $h^* = lab^*h^* = h_{ab}/360 = 0.019$ $u^*_d = b75r$ lab^*olv^{*}

Daten für jede Farbe: *lab*ch** und *lab*icu**
Buntontexte: $u^*_d = m50o$ $u^*_e = b83r$
Kontrastreduzierungsfaktor: $c_R = 0.9$
Dreiecks-Helligkeit t^*

Daten für Maximalfarbe (Ma): $LAB^*LAB^*_{Ma}$: 45 62 7 $LAB^*LCH^*_{Ma}$: 45 62 6 $lab^*olv^*_{Ma}$: 1.0 0.0 0.5 $lab^*rgb^*_{Ma}$: 1.0 0.0 0.33
Dreiecks-Helligkeit t^*

%Umfang $u^*_{Um} = 88$ %Regularität $g^*_{H,rel} = 31$ $g^*_{C,rel} = 39$

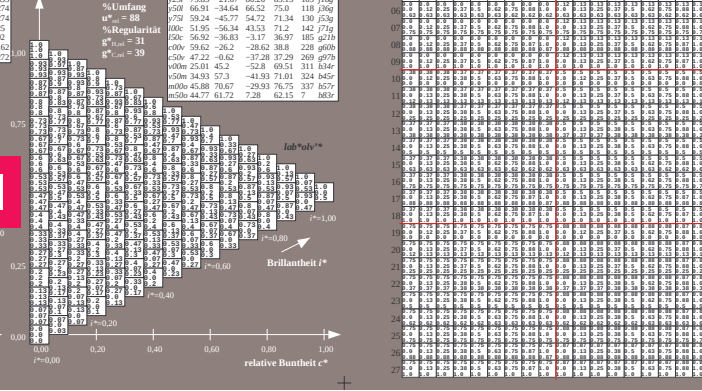

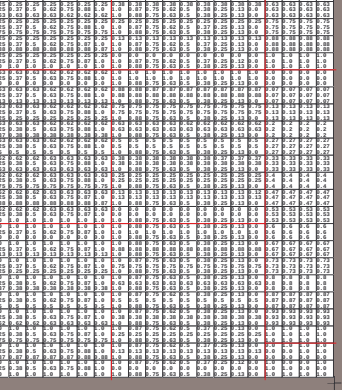

Ein und Ausgabe: Farbmetrisches Drucker-Reflektiv-System FRS12_95a für nativen CIELAB-Buntton $h^* = lab^*h^* = h_{ab}/360 = 0.395$ $u^*_d = g00b$ $LAB^*cmyn'^*$

Daten für jede Farbe: *lab*ch** und *lab*icu**
Benttontexte: $u^*_d = l00c$ $u^*_e = j71g$
Kontrastreduzierungsfaktor: $c_R = 0.9$
Dreiecks-Helligkeit t^*

Daten für Maximalfarbe (Ma):
$LAB^*LAB^*_{Ma}$: 52 −56 44
$LAB^*LCH^*_{Ma}$: 52 71 142
$lab^*olv^*_{Ma}$: 0.0 1.0 0.0
$lab^*rgb^*_{Ma}$: 0.28 1.0 0.0
Dreiecks-Helligkeit t^*

%Umfang $u^*_{Um} = 88$
%Regularität $g^*_{H,rel} = 31$
$g^*_{C,rel} = 39$

FRS12_95a: CIELAB-Daten

	L^*	L^{*-1}	a^*	b^*	C^*_{ab}	h^*_{ab}
O_{Ni}	43.8	54.41	32.95	63.61	31	
Y_{Ni}	87.58	−4.04	90.02	90.11	93	
L_{Ni}	51.95	−55.83	36.46	66.68	147	
C_{Ni}	59.62	−25.67	−35.94	44.17	234	
V_{Ni}	25.01	45.64	−58.96	74.57	308	
M_{Ni}	45.88	71.17	−36.79	80.12	333	
N_{Ni}	20.0	0.43	−5.99	6.01	274	
W_{Ni}	95.0	0.62	−8.52	8.54	274	
R_{Ni}	39.92	58.74	27.99	65.07	25	
I_{Ni}	81.26	−2.89	71.56	71.62	92	
G_{Ni}	52.23	−42.42	13.6	44.55	162	
B_{Ni}	30.57	1.41	−46.47	46.49	272	

FRS12_95a; adaptierte CIELAB-Daten

	a^*	b^*	$C^*_{ab,a}$	$h^*_{ab,a}$	u^*_a	
o00y	43.8	53.91	39.75	66.98	36	r16j
o25y	52.46	42.34	51.32	66.53	50	r37j
o50y	61.53	30.2	63.46	70.28	65	r58j
o75y	72.39	15.68	77.97	79.53	79	r79j
y00f	87.58	−4.65	98.29	98.4	93	j01g
y25f	75.85	−21.67	80.26	83.13	105	j18g
y50f	66.91	−34.64	66.52	75.0	118	j36g
y75f	59.24	−45.77	54.72	71.34	130	j53g
l00c	51.95	−56.34	43.53	71.2	142	j71g
l50c	56.92	−36.83	−3.17	36.97	185	g21b
c00c	59.62	−26.2	−28.62	38.8	228	g60b
c50v	47.22	−0.62	−37.28	37.29	269	g97b
v00m	25.01	45.2	−52.8	69.51	311	b34r
v50m	34.93	57.3	−41.93	71.01	324	b45r
m00u	45.88	70.67	−29.93	76.75	337	b57r
m50u	44.77	61.72	7.28	62.15	7	b83r

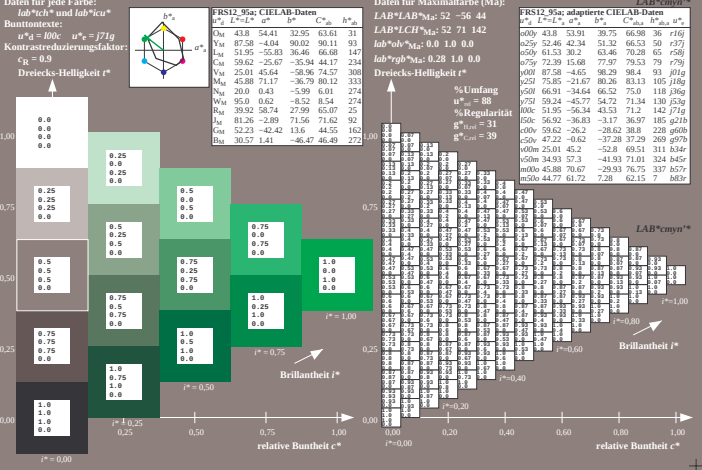

Ein und Ausgabe: Farbmetrisches Drucker-Reflektiv-System FRS12_95a für nativen CIELAB-Buntton $h^* = lab^*h^* = h_{ab}/360 = 0.514$ $u^*_d = g25b$ $LAB^*cmyn'^*$

Daten für jede Farbe: *lab*ch** und *lab*icu**
Benttontexte: $u^*_d = l50c$ $u^*_e = g21b$
Kontrastreduzierungsfaktor: $c_R = 0.9$
Dreiecks-Helligkeit t^*

Daten für Maximalfarbe (Ma):
$LAB^*LAB^*_{Ma}$: 57 −37 −3
$LAB^*LCH^*_{Ma}$: 57 37 184
$lab^*olv^*_{Ma}$: 0.0 1.0 0.5
$lab^*rgb^*_{Ma}$: 0.0 1.0 0.41
Dreiecks-Helligkeit t^*

%Umfang $u^*_{Um} = 88$
%Regularität $g^*_{H,rel} = 31$
$g^*_{C,rel} = 39$

FRS12_95a: CIELAB-Daten

	L^*	L^{*-1}	a^*	b^*	C^*_{ab}	h^*_{ab}
O_{Ni}	43.8	54.41	32.95	63.61	31	
Y_{Ni}	87.58	−4.04	90.02	90.11	93	
L_{Ni}	51.95	−55.83	36.46	66.68	147	
C_{Ni}	59.62	−25.67	−35.94	44.17	234	
V_{Ni}	25.01	45.64	−58.96	74.57	308	
M_{Ni}	45.88	71.17	−36.79	80.12	333	
N_{Ni}	20.0	0.43	−5.99	6.01	274	
W_{Ni}	95.0	0.62	−8.52	8.54	274	
R_{Ni}	39.92	58.74	27.99	65.07	25	
I_{Ni}	81.26	−2.89	71.56	71.62	92	
G_{Ni}	52.23	−42.42	13.6	44.55	162	
B_{Ni}	30.57	1.41	−46.47	46.49	272	

FRS12_95a; adaptierte CIELAB-Daten

	a^*	b^*	$C^*_{ab,a}$	$h^*_{ab,a}$	u^*_a	
o00y	43.8	53.91	39.75	66.98	36	r16j
o25y	52.46	42.34	51.32	66.53	50	r37j
o50y	61.53	30.2	63.46	70.28	65	r58j
o75y	72.39	15.68	77.97	79.53	79	r79j
y00f	87.58	−4.65	98.29	98.4	93	j01g
y25f	75.85	−21.67	80.26	83.13	105	j18g
y50f	66.91	−34.64	66.52	75.0	118	j36g
y75f	59.24	−45.77	54.72	71.34	130	j53g
l00c	51.95	−56.34	43.53	71.2	142	j71g
l50c	56.92	−36.83	−3.17	36.97	185	g21b
c00c	59.62	−26.2	−28.62	38.8	228	g60b
c50v	47.22	−0.62	−37.28	37.29	269	g97b
v00m	25.01	45.2	−52.8	69.51	311	b34r
v50m	34.93	57.3	−41.93	71.01	324	b45r
m00u	45.88	70.67	−29.93	76.75	337	b57r
m50u	44.77	61.72	7.28	62.15	7	b83r

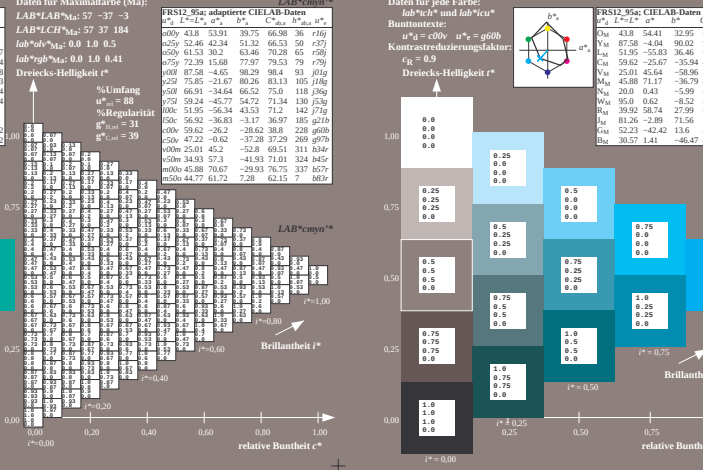

Ein und Ausgabe: Farbmetrisches Drucker-Reflektiv-System FRS12_95a für nativen CIELAB-Buntton $h^* = lab^*h^* = h_{ab}/360 = 0.632$ $u^*_d = g50b$ $LAB^*cmyn'^*$

Daten für jede Farbe: *lab*ch** und *lab*icu**
Benttontexte: $u^*_d = c00v$ $u^*_e = g60b$
Kontrastreduzierungsfaktor: $c_R = 0.9$
Dreiecks-Helligkeit t^*

Daten für Maximalfarbe (Ma):
$LAB^*LAB^*_{Ma}$: 60 −26 −29
$LAB^*LCH^*_{Ma}$: 60 39 227
$lab^*olv^*_{Ma}$: 0.0 1.0 1.0
$lab^*rgb^*_{Ma}$: 0.0 0.81 1.0
Dreiecks-Helligkeit t^*

%Umfang $u^*_{Um} = 88$
%Regularität $g^*_{H,rel} = 31$
$g^*_{C,rel} = 39$

FRS12_95a: CIELAB-Daten

	L^*	L^{*-1}	a^*	b^*	C^*_{ab}	h^*_{ab}
O_{Ni}	43.8	54.41	32.95	63.61	31	
Y_{Ni}	87.58	−4.04	90.02	90.11	93	
L_{Ni}	51.95	−55.83	36.46	66.68	147	
C_{Ni}	59.62	−25.67	−35.94	44.17	234	
V_{Ni}	25.01	45.64	−58.96	74.57	308	
M_{Ni}	45.88	71.17	−36.79	80.12	333	
N_{Ni}	20.0	0.43	−5.99	6.01	274	
W_{Ni}	95.0	0.62	−8.52	8.54	274	
R_{Ni}	39.92	58.74	27.99	65.07	25	
I_{Ni}	81.26	−2.89	71.56	71.62	92	
G_{Ni}	52.23	−42.42	13.6	44.55	162	
B_{Ni}	30.57	1.41	−46.47	46.49	272	

FRS12_95a; adaptierte CIELAB-Daten

	a^*	b^*	$C^*_{ab,a}$	$h^*_{ab,a}$	u^*_a	
o00y	43.8	53.91	39.75	66.98	36	r16j
o25y	52.46	42.34	51.32	66.53	50	r37j
o50y	61.53	30.2	63.46	70.28	65	r58j
o75y	72.39	15.68	77.97	79.53	79	r79j
y00f	87.58	−4.65	98.29	98.4	93	j01g
y25f	75.85	−21.67	80.26	83.13	105	j18g
y50f	66.91	−34.64	66.52	75.0	118	j36g
y75f	59.24	−45.77	54.72	71.34	130	j53g
l00c	51.95	−56.34	43.53	71.2	142	j71g
l50c	56.92	−36.83	−3.17	36.97	185	g21b
c00c	59.62	−26.2	−28.62	38.8	228	g60b
c50v	47.22	−0.62	−37.28	37.29	269	g97b
v00m	25.01	45.2	−52.8	69.51	311	b34r
v50m	34.93	57.3	−41.93	71.01	324	b45r
m00u	45.88	70.67	−29.93	76.75	337	b57r
m50u	44.77	61.72	7.28	62.15	7	b83r

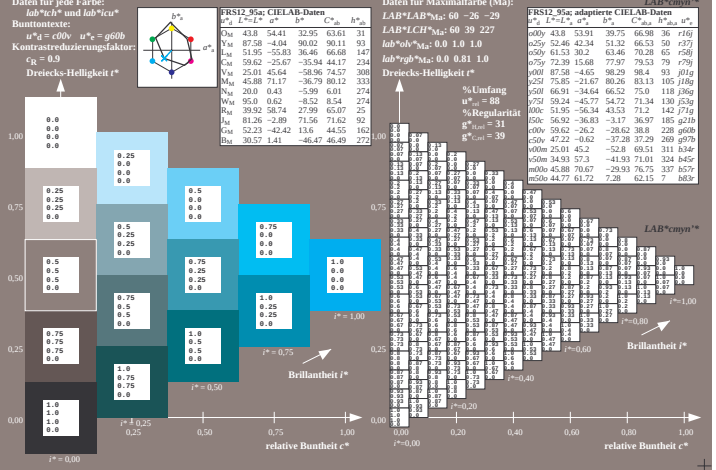

Ein und Ausgabe: Farbmetrisches Drucker-Reflektiv-System FRS12_95a für nativen CIELAB-Buntton $h^* = lab^*h^* = h_{ab}/360 = 0.747$ $u^*_d = g75b$ $LAB^*cmyn'^*$

Daten für jede Farbe: *lab*ch** und *lab*icu**
Benttontexte: $u^*_d = c50v$ $u^*_e = g97b$
Kontrastreduzierungsfaktor: $c_R = 0.9$
Dreiecks-Helligkeit t^*

Daten für Maximalfarbe (Ma):
$LAB^*LAB^*_{Ma}$: 47 −1 −37
$LAB^*LCH^*_{Ma}$: 47 37 269
$lab^*olv^*_{Ma}$: 0.0 0.5 1.0
$lab^*rgb^*_{Ma}$: 0.0 0.05 1.0
Dreiecks-Helligkeit t^*

%Umfang $u^*_{Um} = 88$
%Regularität $g^*_{H,rel} = 31$
$g^*_{C,rel} = 39$

FRS12_95a: CIELAB-Daten

	L^*	L^{*-1}	a^*	b^*	C^*_{ab}	h^*_{ab}
O_{Ni}	43.8	54.41	32.95	63.61	31	
Y_{Ni}	87.58	−4.04	90.02	90.11	93	
L_{Ni}	51.95	−55.83	36.46	66.68	147	
C_{Ni}	59.62	−25.67	−35.94	44.17	234	
V_{Ni}	25.01	45.64	−58.96	74.57	308	
M_{Ni}	45.88	71.17	−36.79	80.12	333	
N_{Ni}	20.0	0.43	−5.99	6.01	274	
W_{Ni}	95.0	0.62	−8.52	8.54	274	
R_{Ni}	39.92	58.74	27.99	65.07	25	
I_{Ni}	81.26	−2.89	71.56	71.62	92	
G_{Ni}	52.23	−42.42	13.6	44.55	162	
B_{Ni}	30.57	1.41	−46.47	46.49	272	

FRS12_95a; adaptierte CIELAB-Daten

	a^*	b^*	$C^*_{ab,a}$	$h^*_{ab,a}$	u^*_a	
o00y	43.8	53.91	39.75	66.98	36	r16j
o25y	52.46	42.34	51.32	66.53	50	r37j
o50y	61.53	30.2	63.46	70.28	65	r58j
o75y	72.39	15.68	77.97	79.53	79	r79j
y00f	87.58	−4.65	98.29	98.4	93	j01g
y25f	75.85	−21.67	80.26	83.13	105	j18g
y50f	66.91	−34.64	66.52	75.0	118	j36g
y75f	59.24	−45.77	54.72	71.34	130	j53g
l00c	51.95	−56.34	43.53	71.2	142	j71g
l50c	56.92	−36.83	−3.17	36.97	185	g21b
c00c	59.62	−26.2	−28.62	38.8	228	g60b
c50v	47.22	−0.62	−37.28	37.29	269	g97b
v00m	25.01	45.2	−52.8	69.51	311	b34r
v50m	34.93	57.3	−41.93	71.01	324	b45r
m00u	45.88	70.67	−29.93	76.75	337	b57r
m50u	44.77	61.72	7.28	62.15	7	b83r

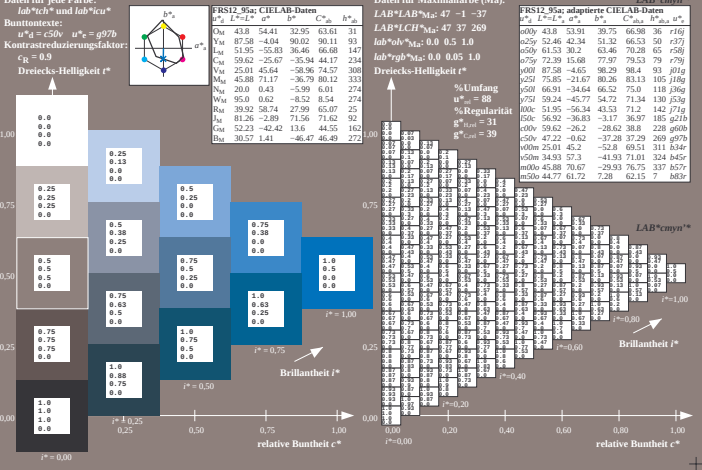

Ein und Ausgabe: Farbmetrisches Drucker-Reflektiv-System FRS12_95a für nativen CIELAB-Buntton $h^* = lab^*h^* = h_{ab}/360 = 0.863$ $u^*_d = b00r$ $LAB^*cmyn'^*$

Daten für jede Farbe: *lab*ch** und *lab*icu**
Benttontexte: $u^*_d = v00m$ $u^*_e = b34r$
Kontrastreduzierungsfaktor: $c_R = 0.9$
Dreiecks-Helligkeit t^*

Daten für Maximalfarbe (Ma):
$LAB^*LAB^*_{Ma}$: 25 45 −53
$LAB^*LCH^*_{Ma}$: 25 70 310
$lab^*olv^*_{Ma}$: 0.0 0.0 1.0
$lab^*rgb^*_{Ma}$: 0.68 0.0 1.0
Dreiecks-Helligkeit t^*

%Umfang $u^*_{Um} = 88$
%Regularität $g^*_{H,rel} = 31$
$g^*_{C,rel} = 39$

FRS12_95a: CIELAB-Daten

	L^*	L^{*-1}	a^*	b^*	C^*_{ab}	h^*_{ab}
O_{Ni}	43.8	54.41	32.95	63.61	31	
Y_{Ni}	87.58	−4.04	90.02	90.11	93	
L_{Ni}	51.95	−55.83	36.46	66.68	147	
C_{Ni}	59.62	−25.67	−35.94	44.17	234	
V_{Ni}	25.01	45.64	−58.96	74.57	308	
M_{Ni}	45.88	71.17	−36.79	80.12	333	
N_{Ni}	20.0	0.43	−5.99	6.01	274	
W_{Ni}	95.0	0.62	−8.52	8.54	274	
R_{Ni}	39.92	58.74	27.99	65.07	25	
I_{Ni}	81.26	−2.89	71.56	71.62	92	
G_{Ni}	52.23	−42.42	13.6	44.55	162	
B_{Ni}	30.57	1.41	−46.47	46.49	272	

FRS12_95a; adaptierte CIELAB-Daten

	a^*	b^*	$C^*_{ab,a}$	$h^*_{ab,a}$	u^*_a	
o00y	43.8	53.91	39.75	66.98	36	r16j
o25y	52.46	42.34	51.32	66.53	50	r37j
o50y	61.53	30.2	63.46	70.28	65	r58j
o75y	72.39	15.68	77.97	79.53	79	r79j
y00f	87.58	−4.65	98.29	98.4	93	j01g
y25f	75.85	−21.67	80.26	83.13	105	j18g
y50f	66.91	−34.64	66.52	75.0	118	j36g
y75f	59.24	−45.77	54.72	71.34	130	j53g
l00c	51.95	−56.34	43.53	71.2	142	j71g
l50c	56.92	−36.83	−3.17	36.97	185	g21b
c00c	59.62	−26.2	−28.62	38.8	228	g60b
c50v	47.22	−0.62	−37.28	37.29	269	g97b
v00m	25.01	45.2	−52.8	69.51	311	b34r
v50m	34.93	57.3	−41.93	71.01	324	b45r
m00u	45.88	70.67	−29.93	76.75	337	b57r
m50u	44.77	61.72	7.28	62.15	7	b83r

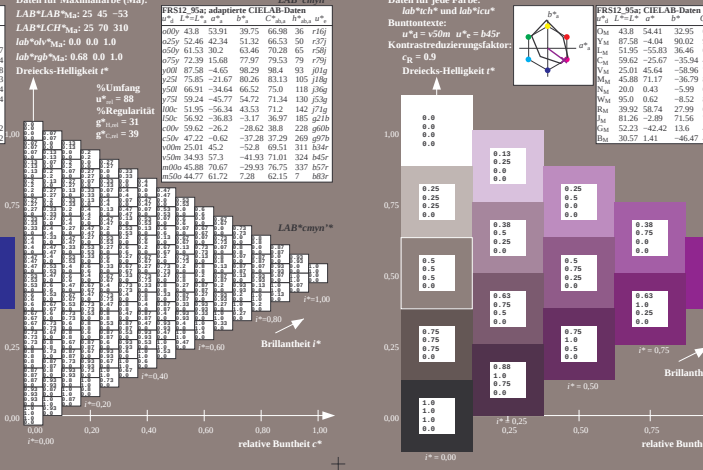

Ein und Ausgabe: Farbmetrisches Drucker-Reflektiv-System FRS12_95a für nativen CIELAB-Buntton $h^* = lab^*h^* = h_{ab}/360 = 0.899$ $u^*_d = b25r$ $LAB^*cmyn'^*$

Daten für jede Farbe: *lab*ch** und *lab*icu**
Benttontexte: $u^*_d = v50m$ $u^*_e = b45r$
Kontrastreduzierungsfaktor: $c_R = 0.9$
Dreiecks-Helligkeit t^*

Daten für Maximalfarbe (Ma):
$LAB^*LAB^*_{Ma}$: 35 57 −42
$LAB^*LCH^*_{Ma}$: 35 71 323
$lab^*olv^*_{Ma}$: 0.5 0.0 1.0
$lab^*rgb^*_{Ma}$: 0.92 0.0 1.0
Dreiecks-Helligkeit t^*

%Umfang $u^*_{Um} = 88$
%Regularität $g^*_{H,rel} = 31$
$g^*_{C,rel} = 39$

FRS12_95a: CIELAB-Daten

	L^*	L^{*-1}	a^*	b^*	C^*_{ab}	h^*_{ab}
O_{Ni}	43.8	54.41	32.95	63.61	31	
Y_{Ni}	87.58	−4.04	90.02	90.11	93	
L_{Ni}	51.95	−55.83	36.46	66.68	147	
C_{Ni}	59.62	−25.67	−35.94	44.17	234	
V_{Ni}	25.01	45.64	−58.96	74.57	308	
M_{Ni}	45.88	71.17	−36.79	80.12	333	
N_{Ni}	20.0	0.43	−5.99	6.01	274	
W_{Ni}	95.0	0.62	−8.52	8.54	274	
R_{Ni}	39.92	58.74	27.99	65.07	25	
I_{Ni}	81.26	−2.89	71.56	71.62	92	
G_{Ni}	52.23	−42.42	13.6	44.55	162	
B_{Ni}	30.57	1.41	−46.47	46.49	272	

FRS12_95a; adaptierte CIELAB-Daten

	a^*	b^*	$C^*_{ab,a}$	$h^*_{ab,a}$	u^*_a	
o00y	43.8	53.91	39.75	66.98	36	r16j
o25y	52.46	42.34	51.32	66.53	50	r37j
o50y	61.53	30.2	63.46	70.28	65	r58j
o75y	72.39	15.68	77.97	79.53	79	r79j
y00f	87.58	−4.65	98.29	98.4	93	j01g
y25f	75.85	−21.67	80.26	83.13	105	j18g
y50f	66.91	−34.64	66.52	75.0	118	j36g
y75f	59.24	−45.77	54.72	71.34	130	j53g
l00c	51.95	−56.34	43.53	71.2	142	j71g
l50c	56.92	−36.83	−3.17	36.97	185	g21b
c00c	59.62	−26.2	−28.62	38.8	228	g60b
c50v	47.22	−0.62	−37.28	37.29	269	g97b
v00m	25.01	45.2	−52.8	69.51	311	b34r
v50m	34.93	57.3	−41.93	71.01	324	b45r
m00u	45.88	70.67	−29.93	76.75	337	b57r
m50u	44.77	61.72	7.28	62.15	7	b83r

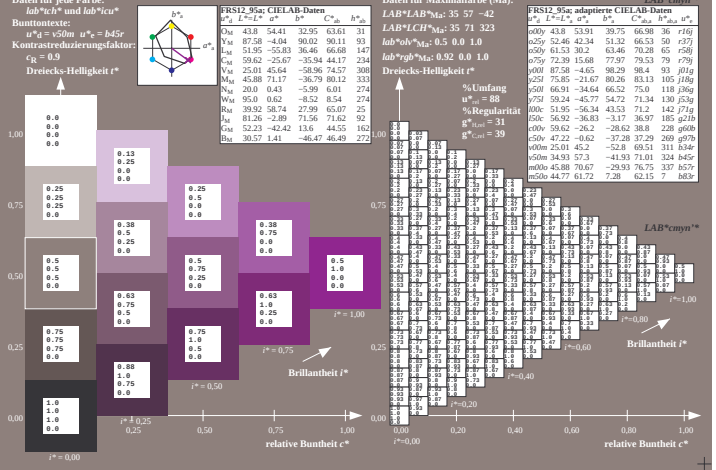

Ein und Ausgabe: Farbmetrisches Drucker-Reflektiv-System FRS12_95a für nativen CIELAB-Buntton $h^* = lab^*h^* = h_{ab}/360 = 0.936$ $u^*_d = b50r$ $LAB^*cmyn'^*$

Daten für jede Farbe: *lab*ch** und *lab*icu**
Benttontexte: $u^*_d = m00u$ $u^*_e = b57r$
Kontrastreduzierungsfaktor: $c_R = 0.9$
Dreiecks-Helligkeit t^*

Daten für Maximalfarbe (Ma):
$LAB^*LAB^*_{Ma}$: 46 71 −30
$LAB^*LCH^*_{Ma}$: 46 77 337
$lab^*olv^*_{Ma}$: 1.0 0.0 1.0
$lab^*rgb^*_{Ma}$: 1.0 0.0 0.85
Dreiecks-Helligkeit t^*

%Umfang $u^*_{Um} = 88$
%Regularität $g^*_{H,rel} = 31$
$g^*_{C,rel} = 39$

FRS12_95a: CIELAB-Daten

	L^*	L^{*-1}	a^*	b^*	C^*_{ab}	h^*_{ab}
O_{Ni}	43.8	54.41	32.95	63.61	31	
Y_{Ni}	87.58	−4.04	90.02	90.11	93	
L_{Ni}	51.95	−55.83	36.46	66.68	147	
C_{Ni}	59.62	−25.67	−35.94	44.17	234	
V_{Ni}	25.01	45.64	−58.96	74.57	308	
M_{Ni}	45.88	71.17	−36.79	80.12	333	
N_{Ni}	20.0	0.43	−5.99	6.01	274	
W_{Ni}	95.0	0.62	−8.52	8.54	274	
R_{Ni}	39.92	58.74	27.99	65.07	25	
I_{Ni}	81.26	−2.89	71.56	71.62	92	
G_{Ni}	52.23	−42.42	13.6	44.55	162	
B_{Ni}	30.57	1.41	−46.47	46.49	272	

FRS12_95a; adaptierte CIELAB-Daten

	a^*	b^*	$C^*_{ab,a}$	$h^*_{ab,a}$	u^*_a	
o00y	43.8	53.91	39.75	66.98	36	r16j
o25y	52.46	42.34	51.32	66.53	50	r37j
o50y	61.53	30.2	63.46	70.28	65	r58j
o75y	72.39	15.68	77.97	79.53	79	r79j
y00f	87.58	−4.65	98.29	98.4	93	j01g
y25f	75.85	−21.67	80.26	83.13	105	j18g
y50f	66.91	−34.64	66.52	75.0	118	j36g
y75f	59.24	−45.77	54.72	71.34	130	j53g
l00c	51.95	−56.34	43.53	71.2	142	j71g
l50c	56.92	−36.83	−3.17	36.97	185	g21b
c00c	59.62	−26.2	−28.62	38.8	228	g60b
c50v	47.22	−0.62	−37.28	37.29	269	g97b
v00m	25.01	45.2	−52.8	69.51	311	b34r
v50m	34.93	57.3	−41.93	71.01	324	b45r
m00u	45.88	70.67	−29.93	76.75	337	b57r
m50u	44.77	61.72	7.28	62.15	7	b83r

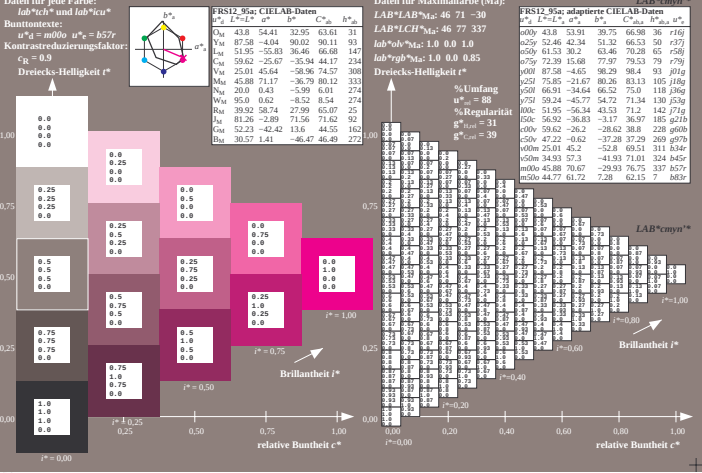

Ein und Ausgabe: Farbmetrisches Drucker-Reflektiv-System FRS12_95a für nativen CIELAB-Buntton $h^* = lab^*h^* = h_{ab}/360 = 0.019$ $u^*_d = b75r$ $LAB^*cmyn'^*$

Daten für jede Farbe: *lab*ch** und *lab*icu**
Benttontexte: $u^*_d = m50u$ $u^*_e = b83r$
Kontrastreduzierungsfaktor: $c_R = 0.9$
Dreiecks-Helligkeit t^*

Daten für Maximalfarbe (Ma):
$LAB^*LAB^*_{Ma}$: 45 62 7
$LAB^*LCH^*_{Ma}$: 45 62 6
$lab^*olv^*_{Ma}$: 1.0 0.0 0.5
$lab^*rgb^*_{Ma}$: 1.0 0.0 0.33
Dreiecks-Helligkeit t^*

%Umfang $u^*_{Um} = 88$
%Regularität $g^*_{H,rel} = 31$
$g^*_{C,rel} = 39$

FRS12_95a: CIELAB-Daten

	L^*	L^{*-1}	a^*	b^*	C^*_{ab}	h^*_{ab}
O_{Ni}	43.8	54.41	32.95	63.61	31	
Y_{Ni}	87.58	−4.04	90.02	90.11	93	
L_{Ni}	51.95	−55.83	36.46	66.68	147	
C_{Ni}	59.62	−25.67	−35.94	44.17	234	
V_{Ni}	25.01	45.64	−58.96	74.57	308	
M_{Ni}	45.88	71.17	−36.79	80.12	333	
N_{Ni}	20.0	0.43	−5.99	6.01	274	
W_{Ni}	95.0	0.62	−8.52	8.54	274	
R_{Ni}	39.92	58.74	27.99	65.07	25	
I_{Ni}	81.26	−2.89	71.56	71.62	92	
G_{Ni}	52.23	−42.42	13.6	44.55	162	
B_{Ni}	30.57	1.41	−46.47	46.49	272	

FRS12_95a; adaptierte CIELAB-Daten
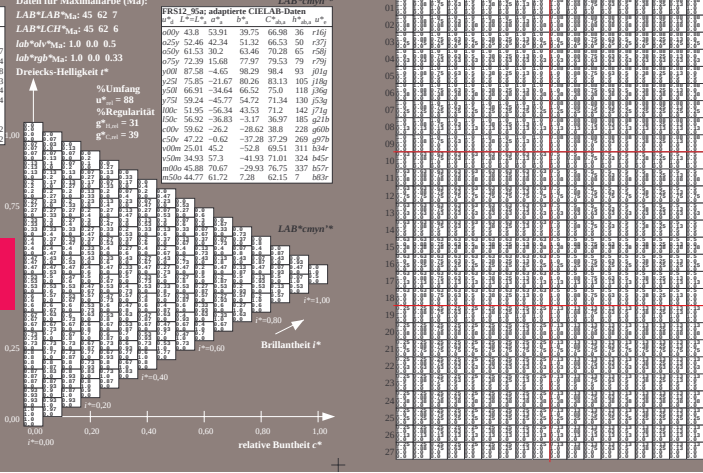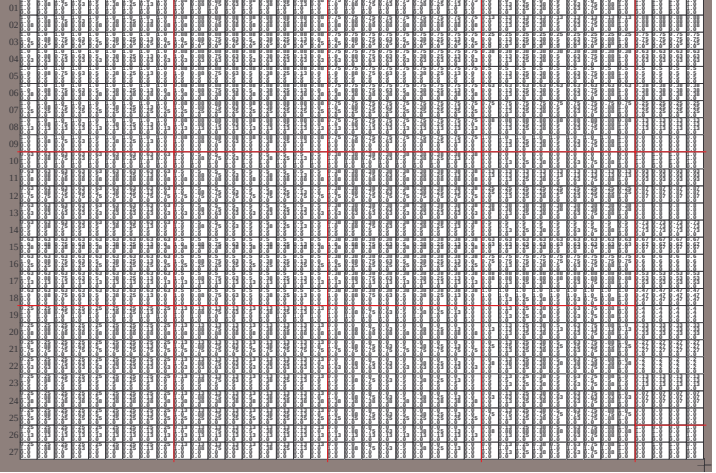
	a^*	b^*	$C^*_{ab,a}$	$h^*_{ab,a}$	u^*_a	
o00y	43.8	53.91	39.75	66.98	36	r16j
o25y	52.46	42.34	51.32	66.53	50	r37j
o50y	61.53	30.2	63.46	70.28	65	r58j
o75y	72.39	15.68	77.97	79.53	79	r79j
y00f	87.58	−4.65	98.29	98.4	93	j01g
y25f	75.85	−21.67	80.26	83.13	105	j18g
y50f	66.91	−34.64	66.52	75.0	118	j36g
y75f	59.24	−45.77	54.72	71.34	130	j53g
l00c	51.95	−56.34	43.53	71.2	142	j71g
l50c	56.92	−36.83	−3.17	36.97	185	g21b
c00c	59.62	−26.2	−28.62	38.8	228	g60b
c50v	47.22	−0.62	−37.28	37.29	269	g97b
v00m	25.01	45.2	−52.8	69.51	311	b34r
v50m	34.93	57.3	−41.93	71.01	324	b45r
m00u	45.88	70.67	−29.93	76.75	337	b57r
m50u	44.77	61.72	7.28	62.15	7	b83r